

JAERI-M  
8017

J T - 60 真空容器の応力解析  
(臨界プラズマ試験装置設計報告・62)

1978年12月

高津英幸・清水正亜・山本正弘・太田 充

日本原子力研究所  
Japan Atomic Energy Research Institute

この報告書は、日本原子力研究所が JAERI-M レポートとして、不定期に刊行している研究報告書です。入手、複製などのお問合せは、日本原子力研究所技術情報部（茨城県那珂郡東海村）あて、お申しこしください。

JAERI-M reports, issued irregularly, describe the results of research works carried out in JAERI. Inquiries about the availability of reports and their reproduction should be addressed to Division of Technical Information, Japan Atomic Energy Research Institute, Tokai-mura, Naka-gun, Ibaraki-ken, Japan.

J T - 6 0 真空容器の応力解析  
(臨界プラズマ試験装置設計報告・62)

日本原子力研究所東海研究所大型トカマク開発部  
高津 英幸・清水 正亜・山本 正弘・太田 充

(1978年11月28日受理)

本報告書は、現在原研が進めている J T - 6 0 の真空容器の設計のうち、著者が行なった応力解析についてまとめたものである。解析は詳細設計における真空容器を基本構造に考え、更に実機の設計へのフィード・バックを考慮して厚肉リング及びベローズの板厚をパラメトリックに変えて行った(厚肉リング 4.0 ~ 7.0 mm, ベローズ 2.0 ~ 2.5 mm)。また、補強リブ及び鞍型電磁力用ダッシュ・ポットの除去の可能性、更にプラズマ消滅時定数が 5.0 msec より短い場合の検討も行った。

解析結果によれば、検討した構造パラメータ範囲内では、補強リブがない構造でも最大応力強さは許容応力強さを下回り、二次応力に比較的余裕がある事を考慮するとベローズの板厚は厚い方が安全率を高くとれ、厚肉リングの板厚はそれ程影響を与えない事、更に鞍型電磁力用ダッシュ・ポットは取り除いても強度的に影響ない事がわかった。また、プラズマ消滅時定数が 1 msec 以下になると最大応力強さは許容応力強さを上回る事がわかった。

Stress Analysis of the JT-60 Vacuum Vessel

Hideyuki TAKATSU, Masatsugu SHIMIZU,  
Masahiro YAMAMOTO, Mitsuru OHTA

Division of Large Tokamak Development  
Tokai Research Establishment, JAERI

( Received November 28, 1978 )

Stress analysis of the JT-60 vacuum vessel is reported in the parameter ranges of rigid ring thickness 40-70 mm and bellows thickness 2.0-2.5 mm for the structure in detailed design. The needs of stiffening ribs and dash-pots against the electromagnetic forces are discussed and also integrity of the vacuum vessel in plasma disruptions with time constant shorter than 50 msec.

Calculations show that the maximum stress intensity produced in the vacuum vessel is below the allowable one even without the stiffening ribs and dash-pots. And, the larger the bellows thickness the higher becomes the safety margin; thickness of the rigid ring little influences the stress intensity.

In plasma disruptions with time constant shorter than 1 msec, the stress intensity exceeds the allowable one.

Keywords: Stress Analysis, Vacuum Vessel, JT-60 Tokamak, Bellows, Electromagnetic Force, Plasma Disruption

## 目 次

1. はじめに .....	1
2. 解析手法 .....	3
2.1 解析手法 .....	3
(1) 解析手法及びモデル .....	3
(2) ベローズ・サポートのモデル化 .....	5
2.2 解析手順及び使用プログラム .....	6
3. 解析結果及び検討 .....	12
3.1 真空力 .....	12
(1) 解析モデル .....	12
(2) 解析結果及び検討 .....	12
3.2 駆型電磁力 .....	15
(1) 解析モデル .....	15
(2) 荷重条件 .....	15
(3) 解析結果及び検討 .....	16
3.3 応力評価 .....	17
(1) プラズマ電流が 50 msec 以下で消滅した場合の真空容器への電磁力 .....	17
(2) 応力評価 .....	18
4. おわりに .....	34
参考文献 .....	35
付録 I 三次元自動メッシュ分割プログラムのインプット・マニュアル .....	36
付録 II MARS-MES 入出力支援プログラム I/G 及び SUPERPOSE の インプット・マニュアル .....	44
付録 III THREED I 及び I/G のソース・リスト .....	47

## Contents

1. Introduction .....	1
2. Analysis procedures .....	3
2.1 Analysis procedures and model .....	3
2.2 Model of bellows support .....	6
3. Analysis results and discussions .....	12
3.1 Vacuum pressure .....	12
(1) Analysis model.....	12
(2) Results and discussions .....	12
3.2 Electromagnetic force due to saddle-like eddy current..	15
(1) Analysis model .....	15
(2) Load conditions .....	15
(3) Results and discussions .....	16
3.3 Stress evaluation .....	17
(1) Case of plasma disruption with time constant shorter than 50 msec .....	17
(2) Stress evaluation .....	18
4. Conclusion .....	34
Acknowledgement.....	34
References .....	35
Appendix I User's manual for THREEDI .....	36
Appendix II User's manuals for I/G and SUPERPOSE .....	44
Appendix III Source lists of THREEDI and I/G .....	47

## 1. はじめに

現在、原研では臨界プラズマ試験装置（JT-60，第1.1図に鳥瞰図を示す）の建設を進めており、一部のコンポーネントは既に製作段階に入っている。プラズマ閉じ込め用の真空容器に関する（1）、各種R&D及び詳細設計に基づいた最終的な設計段階にあり、プラズマ挙動や装置全体の取り合い等の検討も含めた総合的な設計を進めている。

JT-60の真空容器の構造は、既に多くの報告があるが、ベローズと厚肉リングという剛性の非常に異なる構造物が交互に配列されてドーナツ状の真空容器を形成しており、また非円形断面を有し、外荷重として超高真空による大気圧（真空力）、各種電磁力が作用するうえに、高温（400°C）運転による熱膨脹も考慮せねばならず、その設計には特に慎重さが要求される。

有限要素法によるJT-60真空容器の応力解析手法は既に報告されているが、そこではベローズ構造を直交異方性板に置換する事で節点数の増加を抑え、実用的な時間で計算が可能となる様計られている。本報告書は、現在進めているJT-60真空容器の設計検討のうち、この手法を用いて著者が行った応力解析の結果についてまとめたものであり、特に一次応力のほとんどを占める真空力と鞍型電磁力による応力に着目した検討を行っている。尚、著者が行った検討は、これとは別に製作担当メーカーで行っている応力解析の結果のクロスチェックに資すると共に、プラズマ・パラメータやプラズマ計測への近接性の向上を目的とする設計変更を積極的に行え得る様、そのバック・データを得る事を目的としている。

以下、第2章では本応力解析に用いた手法の実際の適用について述べ、更にモデル化及び使用プログラムについても触れる。第3章では、真空力及び鞍型電磁力に対する応力解析結果を述べ、真空容器に作用する真空力及び鞍型電磁力以外の各種荷重も考慮してASME Sec.Ⅲに基いた応力評価を行う。ここでは実機の設計へのフィードバックを考慮して、厚肉リング及びベローズの板厚をパラメトリックに変えて解析を行い、また補強リブ及び鞍型電磁力用ダッシュ・ポットを取り除く可能性も検討した。更に、プラズマ消滅時定数が50 msecより短い場合の検討も行っている。そして第4章で全体をまとめる。更に、付録に本解析で使用した三次元自動要素分割プログラム（THREEDI）等のインプットマニュアル及びソースリストを添付する。

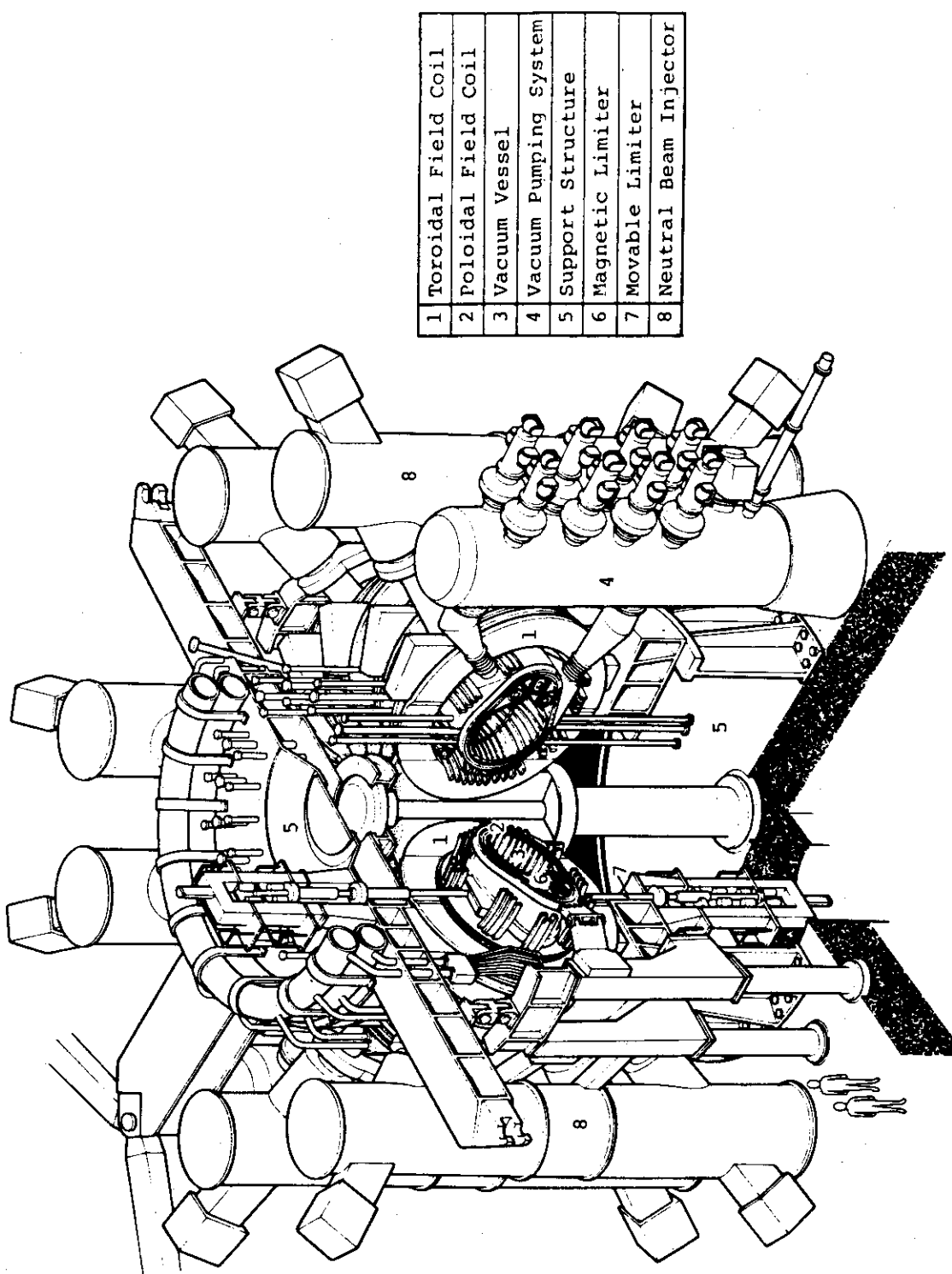


Fig. 1.1 JT-60 本体の鳥瞰図

## 2. 解析手法

### 2.1 解析手法

#### (1) 解析手法及びモデル

真空容器の応力解析は、既に報告を行っているベローズを直交異方性板に置換する手法に依った。ここでは、先ず真空容器のベローズ部をそれと等価な剛性を有する直交異方性板に置換し、これと真空容器厚内部の等方性シェルとを組合わせて“全体解析”を行い、厚肉リングと直交異方性板の変位及び応力を求める。更にベローズの局部的な応力を求める“局部解析”には“応力変換式”による方法と“ズーミング”による方法があるが、本解析では前者を用いた。前者は異方性板のモーメント及び応力とベローズの応力とを物理的に対応づけた応力変換式によって、全体解析で得られた異方性板のモーメント及び応力を求める手法であり、実用的にはベローズの山、中腹及び谷部の応力値しか求まらず、ベローズの山に沿った詳細な応力分布は求まらないが、応力の最大値は山の頂部に生じる事を考えれば、その手法の簡便さから非常に実用的な解析手法であると云える。一方、後者はベローズの局部を取り出し、全体解析で得られた異方性板の変位を局部ベローズ解析に際しての境界条件とする手法であり、ベローズの局所的な応力分布が詳細にわかるという長所はあるが、計算機容量の制限から数少い節点数で得られた全体解析の結果（異方性板の変位）から局部解析の境界条件を設定するのは、特にベローズの様に曲率の変化が大きい構造物において難しく、更に一回の解析では本解析対象の様な複雑な構造物における全体の応力分布が把握できず、実際の設計等への適用面に関しては問題がある。

ここで用いた応力変換式は以下の通りである。

#### (i) ベローズの山では

$$t \sigma_1^{\pm} = \left( 1 \mp \frac{6h}{t} \right) \sigma_x \pm \frac{6}{t^2} M_x \pm \left\{ \frac{3}{b_w t^2} \left( h^2 b_w - \frac{I}{t} \right) \mp \frac{h}{t} \right\} \cdot p \quad (1)$$

$$t \sigma_2^{\pm} = \frac{b}{b_w} \sigma_y + \frac{bh}{I} M_y$$

$$t \tau^{\pm} = \tau_{xy} + \frac{3}{t^2} M_{xy}$$

(ii) ベローズの中腹では

$$\begin{aligned}
 m\sigma_1^{\pm} &= \pm \frac{6}{t^2} M_x \mp \frac{3I}{b_w t^3} p \\
 m\sigma_2^{\pm} &= \frac{b}{b_w} \sigma_y \\
 m\tau^{\pm} &= \tau_{xy} + \frac{3}{t^2} M_{xy}
 \end{aligned} \tag{2}$$

(iii) ベローズの谷では

$$\begin{aligned}
 b\sigma_1^{\pm} &= \left( 1 \pm \frac{6h}{t} \right) \sigma_x \pm \frac{6}{t^2} M_x \pm \left\{ \frac{3}{b_w t^2} \left( h^2 b_w - \frac{I}{t} \right) \right. \\
 &\quad \left. \pm \frac{h}{t} \right\} p \\
 b\sigma_2^{\pm} &= \frac{b}{b_w} \sigma_y - \frac{bh}{I} M_y \\
 b\tau^{\pm} &= \tau_{xy} + \frac{3}{t^2} M_{xy}
 \end{aligned} \tag{3}$$

但し、ここで左辺の添字は各々以下を意味する。

- 1 ; 波の進行方向
- 2 ; 波の進行方向と板の法線方向に直交する方向
- x ; 異方性板のトロイダル方向
- y ; 異方性板のポロイダル方向
- t ; ベローズ山の頂上の位置
- m ; ベローズ中腹の位置
- b ; ベローズ谷の位置
- + ; ベローズ外表面
- ; ベローズ内表面

また、右辺の記号は次の諸量を表わす。

- h ; ベローズ山高さの半分
- t ; ベローズ板厚
- $b_w$  ; ベローズガース長（ベローズ1ピッチの実長）

b ; ベローズピッチ

I ; ベローズ断面二次モーメント

但し、ここで外圧  $p$  の項は第 2.1 図に示す様に、真空力やループ電流電磁力の様にベローズ面の法線方向に作用する外力に対する補正項であり、鞍型電流電磁力の様に直交異方性板の法線方向に作用する外力は既に全体解析で反映されているから、局部応力を求める変換式においては  $p = 0$  である。

J T - 60 の真空容器はセクタ型の厚肉リングと U 字形平行ベローズが各々 8 ケ交互に配列されてトーラスを形成している。厚肉リングは  $60^\circ$  セクタ 2 ケと  $40^\circ$  セクタ 6 ケから成るが、本解析では強度的により厳しい  $60^\circ$  セクタを対象とした。解析モデルを第 2.2 図に示す。モデルは構造の対称性からトロイダル方向には厚肉リング  $60^\circ$  セクタの半分及びベローズ部の半分から成り、ポロイダル断面は、真空力の場合上(或は下)半分の  $180^\circ$ 、鞍型電磁力の場合一周  $360^\circ$  である。

真空容器にはこれ以外に、補強リブ、ベローズサポート、真空容器支持アーム、鞍型電磁力用ダッシュ・ポットが強度メンバーとして設置され、更に計測、排気、中性粒子入射等の為の各種ポート用の開孔部がある。各種ポートは真空容器に約 150 本つき、最大で内径  $600\text{mm}$  であるが、詳細設計での検討の結果、内径  $500\text{mm}$  のポートが厚肉リングについていた場合でも、真空容器の強度に与える影響は殆んどなく、各種ポート用の開孔部の効果は無視し得ると考えられるので、本解析モデルからは除外した。

厚肉リングは現設計では板厚  $40\text{mm}$  であり、T 字形補強リブによって補強されている。T 字形補強リブは真空容器の補強として有効な役割を果たしているが、主半径最内周で  $100\text{mm}$ 、最外周で  $160\text{mm}$  の高さを有するため、第 1.1 図にみられる様に真空容器とトロイダル磁場コイルとの間の空間の多くを占有し、ポロイダル磁場コイル、温度制御層等の設置スペースを制約している。そこで本解析では、第 2.2 図に示す現設計に加えて、この補強リブを取り除いて厚肉リング及びベローズの板厚をパラメトリックに変えた場合についての計算を行い、補強リブの除去の可能性の検討を行う。更に、鞍型電磁力用ダッシュ・ポットの除去の可能性も検討した。

解析した構造モデルは第 2.1 表にまとめられる。ここで補強リブは Case 1 のみに構造に含まれる。

## (2) ベローズ・サポートのモデル化

第 2.2 図のモデル図に示されている様に、ベローズはそのポロイダル断面の直線部において厚肉リング内面から張り出したビームによって支持されている。これは、J T - 60 の真空容器が非円形なポロイダル断面を有しているため、荷重が増すに従って剛性値の小さいベローズ直線部(第 2.2 図中の D - F 部。以後ポロイダル断面の位置を示す A - G の記号は第 2.2 図に示す位置を示す。)において大きな変形が生じ得る事から、その変形を抑えるために設置されるものである。しかしこの支持ビームは、単にベローズと接触してベローズの内側への変形を抑える役割しか有しなく、ベローズの外側への変形に対しては全く拘束力を有しない。

一方、真空容器に作用する外力としては、主なものとして、真空力、ループ電流電磁力、鞍型電流電磁力があるが、前二者の荷重が全て真空容器に対して外圧方向に作用するのに対し、

後者は第2.3図に模式的に示す様に、1つの厚肉リングセクタに着目した場合、トロイダル方向には厚肉リング中央面を対称面にして左右対称（但し符号は逆）な分布を持ち、全体として厚肉リングを厚肉リング中央の主半径を中心として回転させる力として作用する。いずれの荷重においても、ベローズとベローズ・サポートは単に接触しているだけであり、解析においてもこれを接触問題として解く必要があり、また、鞍型電磁力の場合の様に、ベローズとベローズ・サポートが全く接触しない事も考えられる。

これらの問題点を解決するため、ベローズとベローズ・サポートを第2.4図に示す様にモデル化した。即ち、

- (i) ベローズ・サポートの厚肉リング側は、厚肉リングからのオフセット量と部材定数とでメンバーを定義し、その節点は厚肉リングのシェルと共有する。（第2.4図中の節点7～12）
- (ii) ベローズ・サポートのベローズ側は、ベローズの等価異方性板と平行に新しいビームを定義し、（第2.4図中の要素⑫～⑯）シェルとビームの対応節点間に接触要素を設ける。（第2.4図中の要素⑰～⑲）
- (iii) 接触要素は、始めに剛体（軸剛性のきわめて大きいトラス部材）として入力し解析を行う。
- (iv) (iii)の結果より、剛体接触要素の軸力が引張である場合、そのトラス材を柔要素（軸剛性のきわめて小さいトラス部材）に変更し、更に解析を行う。
- (v) 更に(iv)の作業を行うが、同時に柔の接触要素の軸力が圧縮となったものについては再び剛体に戻す。

これを要素変更の必要が無くなる迄繰り返す。

以上の(i)～(v)を踏まえた解析手順を2.2に示す。

## 2.2 解析手順及び使用プログラム

JT-60の真空容器の応力解析に対しては、構造解析汎用プログラムMARS-MES、及びそれに対する入力生成用として三次元自動メッシュプログラムTHREEDI<sup>(5)</sup>が既に用いられており設計に反映されているが、設計検討を進めるにつれ更に幾つかの機能が要求されてきたため、プログラムの修正或は新しいプログラムの作成を行った。

前記プログラムに含まれず新たに要求される主な機能としては下記のものがある。

- (1) 分布荷重（鞍型電磁力、磁気リミタコイル反力）の入力
- (2) ビーム要素の入力
- (3) トラス要素の入力
- (4) 平行ベローズの要素分割
- (5) 異方性板の応力値からベローズ局部応力への変換

この中で(1)(2)(4)の機能に関してはTHREEDIの機能に付加し、(3)は汎用性が少いため接触要素入力用のプログラムI/Gを作成した。又、(5)の機能は原研既存のプログラムMARS-SUPERPOSE(MARS-MESの出力である応力・変位の線形結合演算を行うプログラム)

の中に付加した。なお、分布荷重のうち、鞍型電磁力は渦電流解析プログラム EDDYTORUS<sup>(6)</sup>で計算される鞍型電流の値を基にして入力している。

解析のフロー・チャートを第2.5図に示す。各ステップに従って解析手順を概説する。

(i) ステップ1(使用プログラム THREEDI)

MARS-MESへの入力データ生成の第1段階であり厚肉リングとベローズの節点、要素及び荷重データの生成を行う。この際、荷重条件が真空力であれば、各要素に  $1 \text{ kg/cm}^2$  の圧力が作用し、磁気リミタコイル反力であれば、磁気リミタコイル支持点相当の要素に反力を与え、鞍型電磁力であれば、EDDYTORUSで計算された鞍型電流のポロイダル方向電流密度を電磁力に変換して各要素に圧力として作用させる。

(ii) ステップ2(使用プログラム THREEDI)

MARS-MESへの入力データ生成の第2段階であり、ステップ1で生成されたデータにビーム要素データ及びバネ支持データを付け加える。

(iii) ステップ3(使用プログラム I/G)

MARS-MESへの入力データ生成の第3段階であり、ステップ2で生成されたデータに接触要素となるトラス要素とそれに付随するビーム要素と節点データの入力を行う。

(iv) ステップ4(CPU使用)

ステップ3で生成されたビーム要素データの端末結合状態の一部修正。

(v) ステップ5(使用プログラム MARS-MES)

生成されたデータを入力して応力解析を行う。ベローズは直交異方性板として取り扱われる。

(vi) ステップ6(CPU使用)

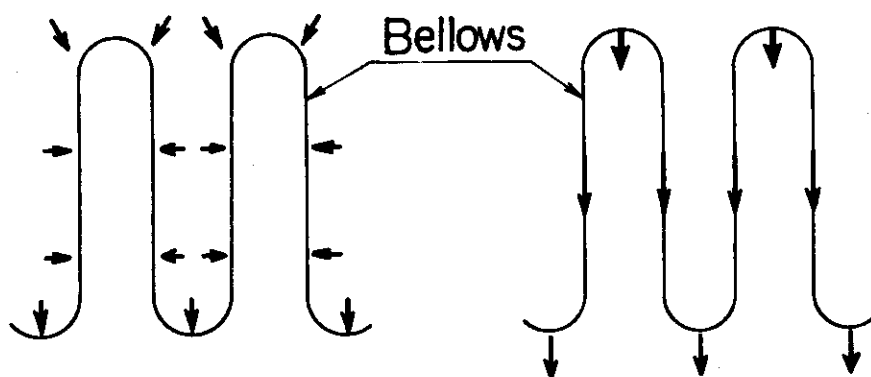
MARS-MESによる応力解析の結果、ベローズ支持ビームのトラス要素の軸力が張力であるものがあれば、そのトラス要素の軸剛性を～0として再びMARS-MESによる応力解析を行う。解析の結果、柔のトラス要素に圧縮力が作用した場合は再びそのトラス要素を剛体に戻して再び応力計算を行う。こうして(v)(vi)のステップを要素変更の必要がなくなる迄繰り返す。

(vii) ステップ7(使用プログラム MARS-SUPERPOSE)

MARS-MESによる応力解析の最終結果を入力として、異方性板の応力値をベローズの局部的な応力値に変換する。

Table 2.1 解析ケース一覧

Case	Thickness (mm)		Rib
	Rigid ring	Bellows	
1	40	2.0	Yes
2	70	2.0	No
3	50	2.0	No
4	70	2.5	No
5	50	2.5	No



- (a) Vacuum pressure (b) Electromagnetic force  
 Electromagnetic force (Saddle-like current)  
 (Loop current)

Fig. 2.1 ベローズに作用する外力

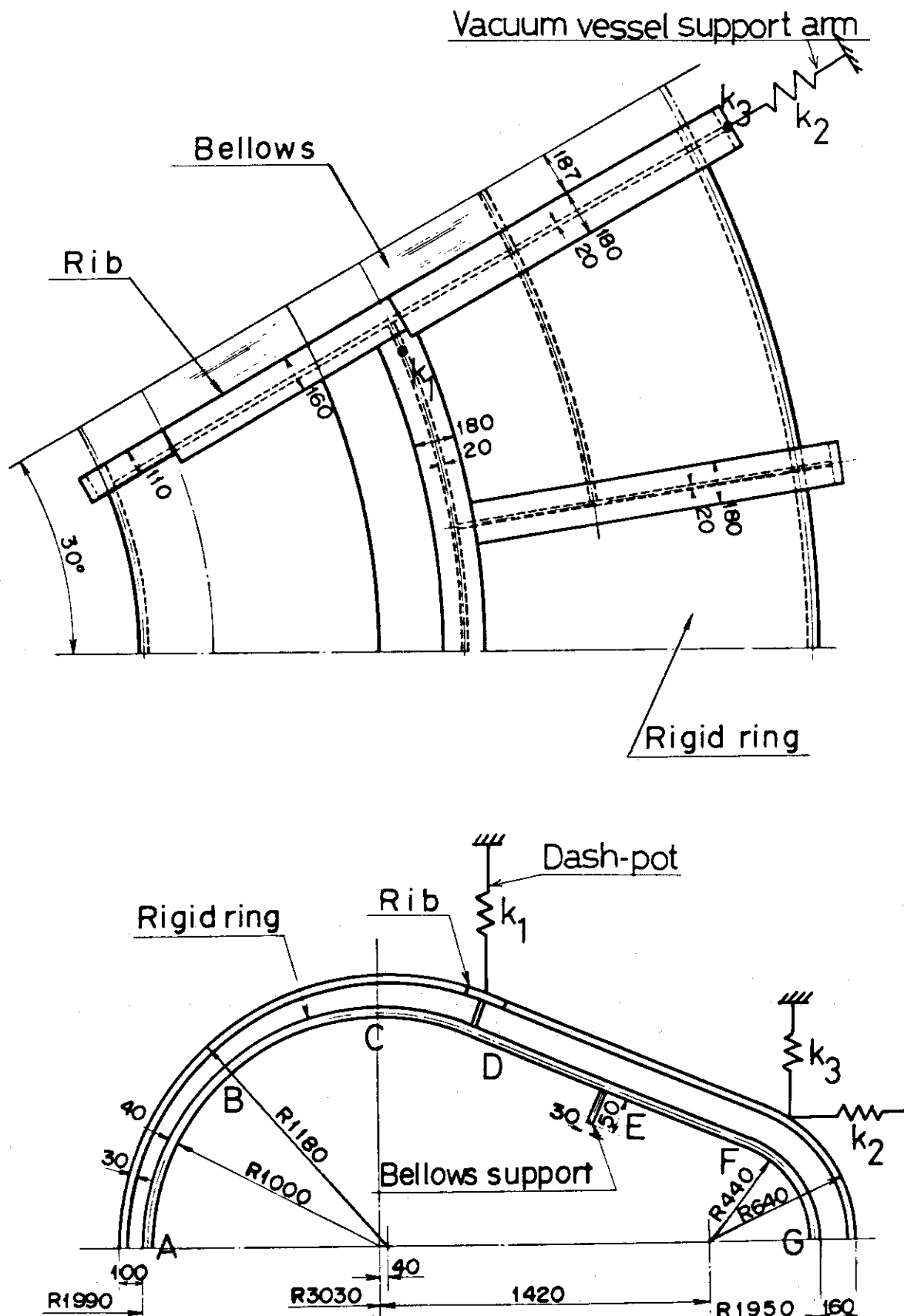


Fig. 2.2 解析モデル

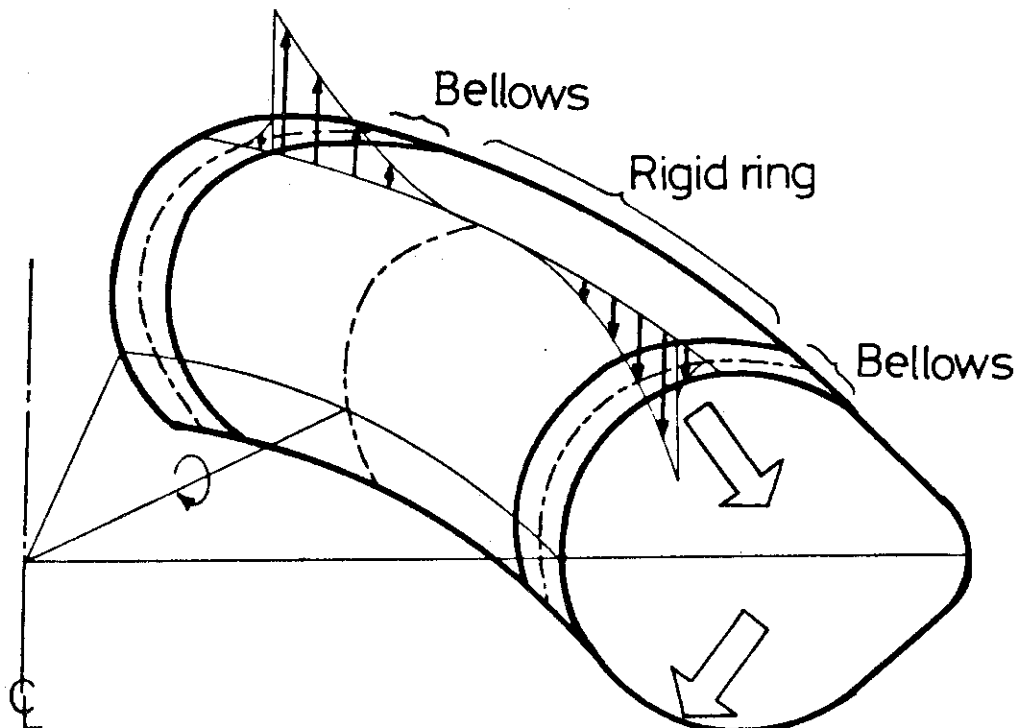


Fig. 2.3 真空容器に作用する鞍型電磁力の模式図

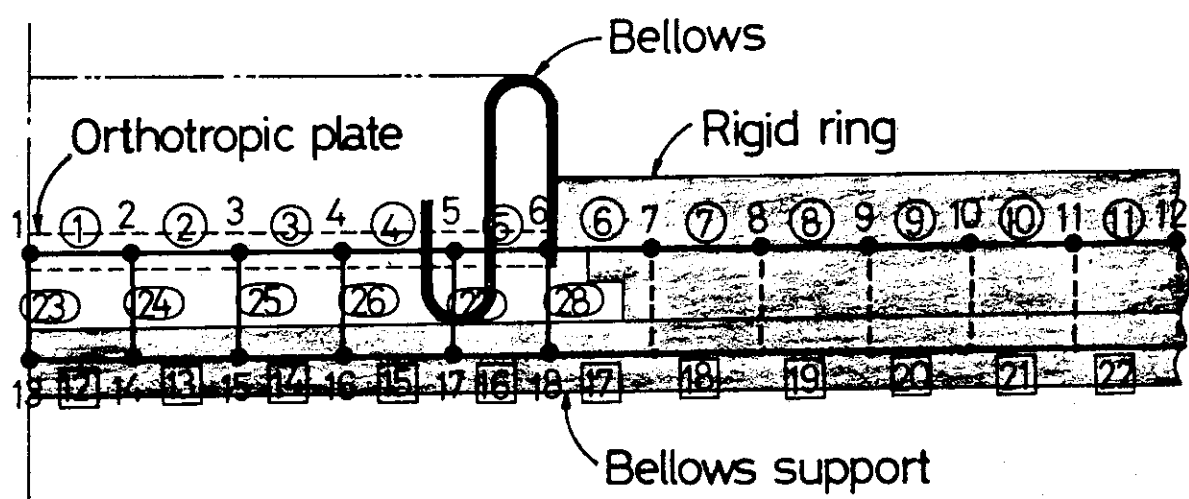


Fig. 2.4 ベローズ・サポートのモデル化

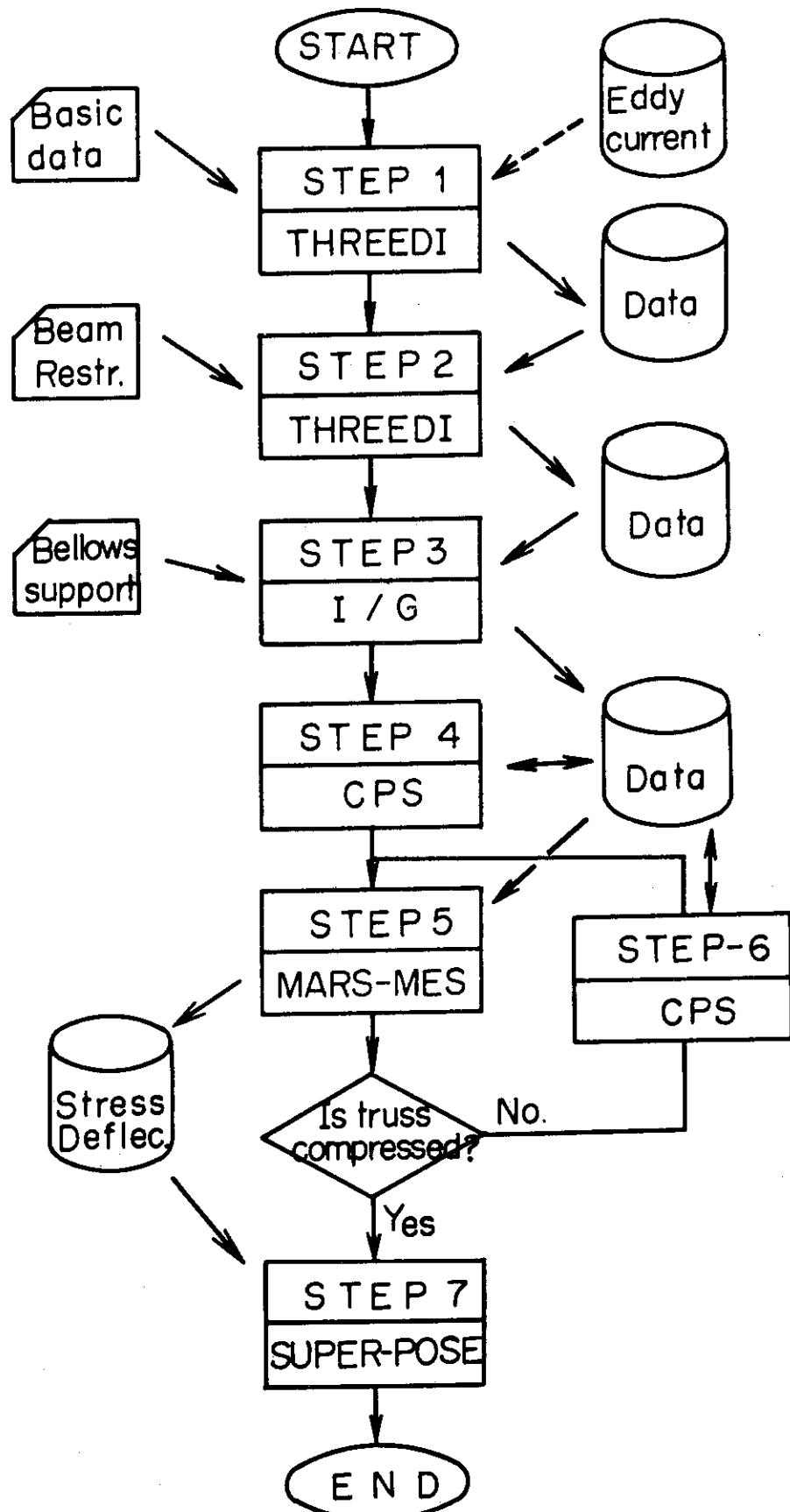


Fig. 2.5 J T - 6 0 真空容器の応力解析手順

### 3. 解析結果及び検討

#### 3.1 真空力

##### (1) 解析モデル

解析モデルは第2.2図に示されている様にトロイダル方向に $60^\circ$ セクタ厚内リングの1/2, ベローズ1スパンの1/2からなる。ポロイダル断面はその対称性から上半分のみを解析モデルとした。要素分割は、トロイダル方向にベローズを5分割、厚肉リングを10分割の15分割、ポロイダル方向には30分割行っている。

境界条件を第3.1表に示す。対称構造、対称荷重であるから、境界条件は対称条件を与えた。また、真空容器の支持は、厚肉リング端部に設置されている真空容器支持アームのみにより行い、鉛直方向に2本設けられている鞍型電磁力用ダッシュ・ポットは作用しない。従って第2.2図中のバネ定数は $k_1 = 0$ ,  $k_2 = 40 \text{ ton/mm}$ ,  $k_3 = 20 \text{ ton/mm}$ と与える。但し、ここで座標系は第A.1図に示すオブリーク(局所)座標系で与えている。

荷重条件は、全ての要素に $1 \text{ kg/cm}^2$ を外圧として与えた。

##### (2) 解析結果及び検討

Case 1の変位分布を第3.1図から第3.3図に示す。ここで太実線は元の真空容器の形状を表わし、細実線が変形後の形状を表わす。第3.1図は厚肉リング中央でのy-z方向変位分布を示す。真空容器のトーラス効果により厚肉リングには求心力が働き、また真空容器支持アームは厚肉リング端部に設置されている為厚肉リング中央部に対する拘束効果は小さいから、全体としてトーラス主半径方向内側に変位する。従ってポロイダル断面A部では最大の変位2.7mmを示し、G部でも求心力のためややトーラス主半径方向内側へ変位する。第3.2図は、厚肉リング端(最もベローズ寄り)のy-z方向変位分布を示す。ポロイダル断面A部のトーラス主半径方向内側への変位は真空容器支持アーム及び補強リブの効果でやや小さくなっている。また、G部ではトーラス主半径方向外側へ変形しているが、これは厚肉リングに作用する求心力による厚肉リング中央部のトーラス主半径方向内側への変形と、厚肉リング端の真空容器支持アームの支持効果によるものである。第3.3図に示すベローズ中央のy-z方向変位分布も厚肉リング端と同様の傾向を示しており卵形断面の自然なつぶれを表わしている。ポロイダル断面E部には、ベローズ・サポートが厚肉リングから張り出しておりその変形をある程度抑えており、2.5mm程度の垂れ下がりとなっている事がわかる。

Case 1における応力分布の一例を第3.4図に示す。これはベローズ第1山の応力強さ分布であり、トーラス主半径方向最内周のA部で最大値 $12.6 \text{ kg/mm}^2$ を示し、ポロイダル断面のほぼ全域で $10 \text{ kg/mm}^2$ 前後の応力強さである。

Case 1~5の解析結果を第3.2表にまとめる。変位に関しては、全体的にポロイダル断面A部及びE部の値が大きい。Case 1では、補強リブにより厚肉リング端のE部の垂れ下がりが抑えられる為、ベローズの変形もある程度抑えられ、結局求心力によるA部のトーラス主半

径方向内側への変位が最大となる。Case 2～5では、補強リブがない為、厚肉リング内では端部のE部垂れ下がり変形が大きくなる。更に、ポロイダル方向の曲げに着目した場合、ベローズと等価な剛性を有する平板の板厚  $t^*$  は次式で求められ、

$$t^* = \left( \frac{12 I_b}{b} \right)^{1/3} \quad (4)$$

ベローズの板厚 2.0 (山高さ 80 mm), 2.5 mm (山高さ 70 mm) に対し各々、4.9, 4.6 mm である。但し、 $I_b$  はベローズ 1 ピッチの断面二次モーメントである。従って Case 2, 4 では厚肉リング板厚が 70 mm でそのポロイダル方向の曲げ剛性がベローズのそれより大きいため、ベローズ中央部の変位が最大となる (第 3.5 図に示す Case 2 の変位分布参照)。一方、Case 3, 5 では、厚肉リング板厚が 50 mm でそのポロイダル方向の曲げ剛性はベローズのそれとはほぼ等しくなりベローズ・サポートの支持効果により厚肉リング端で変位が最大となる (第 3.6 図に示す Case 3 の変位分布参照)。

Case 1～5において応力強さの最大値は全てベローズ第 1 山のトーラス主半径方向最内周 A 部に生じる。真空力によりベローズに生じる応力は、その発生原因を次の 4 つに分けられる。

- (i) 求心力による厚肉リングのトーラス主半径内側への変位によるもの。しかもこれは真空容器支持アーム廻りの回転成分を持つ。
- (ii) ベローズ (直交異方性板) と厚肉リングのポロイダル方向の剛性差から生じるポロイダル断面の変形差から生じる相対変位。
- (iii) ベローズの腹に働く真空力によるベローズの山の押しつぶしにより生ずるもの。
- (iv) ポロイダル断面での変形によるもの。

上記(i)～(iv)のうち(i)～(iii)は主にトロイダル方向の応力に、(iv)はポロイダル方向の応力に寄与する。本有限要素法解析によればベローズ第 1 山に生じる応力はほとんどがトロイダル方向の応力であるので、(i)～(iii)によって生じる応力の概算値を求めてその応力の発生原因を検討する。検討は最大の応力強さを生じるベローズ第 1 山の A 部に着目して行った。

(i) による応力は厚肉リングによるベローズの強制圧縮によって生じるものであるから、厚肉リングの熱伸びによりベローズに発生する応力に類似している。<sup>(2)</sup> 従って厚肉リングの熱伸び量  $\delta_0$ 、熱伸びによりベローズに生ずる応力  $\sigma_0$ 、真空力による厚肉リングの x 方向変位量を  $\delta_1$  とすると(i)による応力  $\sigma_1$  は次式で求められる。

$$\sigma_1 = \sigma_0 \cdot \delta_1 / \delta_0 \quad (5)$$

本有限要素法解析による結果  $\delta_1$  と、詳細設計における計算結果  $\sigma_0$ ,  $\delta_0$  より第 3.3 表の結果を得る。

(ii) による応力は弾性床上モデルで良い近似を得る事ができる。<sup>(3)</sup> ベローズの曲げ剛性 D と等価な剛性を有する板が分布ばね定数 k の床上で分布荷重 p を受ける場合、板に生じる最大応力は次式で示される。

$$\sigma_2 = \frac{6}{t_b^2} M \quad (6)$$

但し  $M = -D \alpha^2 A \sinh \beta \sin \beta + D \alpha^2 B \cosh \beta \cos \beta$

$$\alpha = \left( \frac{k}{D} \right)^{1/4} \quad \beta = \frac{\alpha \ell}{2\sqrt{2}}$$

$$D = \frac{b t_b^3 E}{12 b_w (1 - \nu^2)}$$

$$A = - \frac{p}{k} \frac{\sinh \beta \cos \beta + \cosh \beta \sin \beta}{\sinh \beta \cosh \beta + \sin \beta \cos \beta}$$

$$B = - \frac{p}{k} \frac{\cosh \beta \sin \beta - \sinh \beta \cos \beta}{\sinh \beta \cosh \beta + \sin \beta \cos \beta}$$

である。数値計算の結果を第3.3表に示す。

(ii)による応力はまさしく(1)～(3)式に示す応力変換式中の外圧  $p$  による補正項に相当する。即ち発生応力は次式で示される。

$$\sigma_3 = \left\{ \frac{3}{b_w t^2} \left( h^2 b_w - \frac{I}{t} \right) \mp \frac{h}{t} \right\} p \quad (7)$$

数値計算の結果を第3.3表に示す。

第3.3表には本有限要素法解析で求められた結果も併せて記してあるが、両者は比較的良好一致を示している。板厚2.0mmのベローズでは(Case 1～3)，ベローズの腹にかかる真空によるベローズの押しつぶしによって生じる局部的な応力が主であり、次いで厚肉リングとの相対変位により生じる応力が大きい。一方板厚2.5mmのベローズでは(Case 4, 5)，その曲げ剛性の増加からベローズの腹にかかる真空による局部的な応力は約1/4に軽減されるが、逆にその剛性値の増加により、A部の様に厚肉リングのトロイダル方向変位の大きい部分では、それによるベローズの圧縮に起因する応力が主となる。

この様にベローズの板厚を薄くすると(ii)による応力が急激に増加し、逆に板厚を厚くすれば(i)による応力が増加する。しかも、(ii)による応力はベローズである限り避け得ず、(i)による応力も現在の構造及び支持条件では避け得ない為、厚肉リングとベローズの剛性値を合わせて(ii)による応力を理想的に0とし得ても応力値はある値以下には下げ得ない。しかし(ii)による応力が1/4になる事からポロイダル断面全体に渡って応力が軽減されるため真空力に関する限り板厚2.5mmのベローズの方が当然の事乍ら有利である。

### 3.2 鞍型電磁力

#### (1) 解析モデル

鞍型電磁力に対する応力解析に用いたモデルも第2.2図に示すものである。但し、ポロイダル断面対称面の境界条件の設定が難しい為、これを避ける為ポロイダル方向に $360^\circ$ の全周モデルとした。要素分割も真空力の場合と同じであるが、やはりポロイダル方向は倍の60分割としている。

境界条件を第3.4表に示す。鞍型電磁力は第2.3図に模式的に示す様に、対称構造物に対して逆対称荷重が作用することから、境界条件としては逆対称条件を与える。更に真空容器は、真空容器支持アーム以外に、動荷重に対して支持効果のある鞍型電磁力用ダッシュ・ポットによって支持される。従って第2.2図中のバネ定数は $k_1 = k_2 = 40 \text{ ton/mm}$ ,  $k_3 = 20 \text{ ton/mm}$ と与える。

#### (2) 荷重条件

真空容器を流れる渦電流は、その誘起原因となるプラズマの挙動に従って第3.5表の通り6つの場合に分類される。<sup>[2]</sup> 渦電流は各場合について詳細に検討されており、<sup>(7)(8)</sup> ループ電流と鞍型電流とにわけて、その最大値を第3.6表の様にまとめられる。

鞍型電流に着目した場合、電流値が最大となるのはCase Bのプラズマ立ち上げ不着火時であり(55 kA), 次いでCase Aのプラズマ立ち上げ着火時(45 kA), Case Dのプラズマ内側消滅時(24 kA)<sup>(7)</sup>である。なお、ここでプラズマ消滅時にはポロイダル磁場コイルの遮蔽効果があるものとして計算されている。以後の解析でもプラズマ消滅時はポロイダル磁場コイルの遮蔽効果を考慮する。

一方、真空容器の応力解析においては、その荷重の絶対値とともに分布も重要な意味を持つからここで鞍型電流、鞍型電磁力の絶対値及び分布の検討を行う。なお、ここで取り扱う鞍型電流値は有限要素回路法により、その値が最大となる時刻のものを取り扱う。

第3.7図から第3.9図に、Case A, B, Dにおける鞍型電流のポロイダル方向分布を示す。値は鞍型電流値がトロイダル方向で最大となる厚肉リング端における鞍型電流(電流密度で表示)のポロイダル成分であり、その最大値は、Case A, B, Dで各々、62, 78, 32 kA/mである。Case Aでは、その最大値はポロイダル断面E部に生じ、全体的に可成り均一に流れるが、特にD～E部の電流密度が高い。Case Bでは、電流分布のピークはトーラス主半径内側に寄り、E部の電流密度は小さくなる。これに対しCase Dでは、更にトーラス主半径内側に寄った分布になると同時に、ポロイダル断面E～G部では逆方向の電流の流れがある事がわかる。

第3.7図から第3.9図に示した鞍型電流のポロイダル成分とトロイダル磁場との相互作用により生じる鞍型電磁力は、トロイダル磁場の強さがトーラス主半径方向長さに逆比例する事から電流分布とは多少異ったものとなる。第3.10図から第3.12図に、第3.7図から第3.9図の鞍型電流に対応する鞍型電磁力のポロイダル分布を示す。第3.10図はCase Aの荷重分布であり最大約 $2.7 \text{ kg/cm}^2$ の圧力が真空容器に作用する。この場合、鞍型電流の電流値に比べて荷重が小さい事、荷重分布がポロイダル断面の広い領域ではほぼ均一である事、特にポロイダ

ル断面D～E部でも $2.5 \text{ kg/cm}^2$ 程度の荷重がある事等が特徴である。なお、既に述べた様に鞍型電磁力はポロイダル断面上半分と下半分で逆方向の力として作用するので図中上半分が外圧とすると下半分には内圧が作用することになる。第3.1.1図はCase Bの荷重分布であり最大約 $4.7 \text{ kg/cm}^2$ 相当の圧力が作用する。Case Bは全ての場合の中で最大の荷重を与える、その荷重分布はトーラス主半径内側に偏ったものである。第3.1.2図に示すCase Dの荷重分布は、最大約 $2.0 \text{ kg/cm}^2$ であり更にトーラス主半径内側に寄った分布となるとともに、第3.9図に示した電流分布に従い、ポロイダル断面上（或は下）半分内でも荷重の方向が逆転するという特徴を有する。

鞍型電磁力のトロイダル方向の分布の一例を第3.1.3図に示す。これは鞍型電磁力がポロイダル断面内で最大となる点（第3.1.0図から第3.1.2図参照）のトロイダル方向分布であり、厚肉リング部、ベローズ部内ではほぼ直線的に変化する。ベローズ部には、厚肉リング部に対し

$$\frac{\text{ベローズ等価板厚}}{\text{厚肉リング板厚}} = \frac{t_b \cdot b_w}{t_r \cdot p} \quad (8)$$

の割合で鞍型電流が流れ、それに相当する電磁力が作用する。但しここで

$t_b$ ：ベローズ板厚

$t_r$ ：厚肉リング板厚

$b_w$ ：ベローズガース長

$p$ ：ベローズピッチ

である。

以上Case 1に関して、Case A, B, Dに真空容器に作用する鞍型電磁力の検討を行ったが、Case 2～5に関してはCase Dの計算を行う。第3.1.4図にケース1～5においてプラズマ内側消滅時に真空容器に作用する鞍型電磁力のトロイダル方向分布を示す。これはポロイダル断面で最大となる点におけるトロイダル方向の分布であり、ポロイダル断面の分布形は第3.1.2図と同様の傾向を示す。厚肉リング、ベローズともにその板厚にはほぼ比例した電磁力が作用する。

### (3) 解析結果及び検討

Case 1におけるCase A, B及びDの解析結果を第3.1.5図から第3.1.7図に示す。第3.1.5図は、Case Aにおける変位分布の一例であり、厚肉リング端部のy-z方向変位を示す。荷重が第3.1.0図に示す様にポロイダル断面D～F部でも可成り大きい事及び内圧に対してはベローズ・サポートの支持効果がない事から最大変位はポロイダル断面直線部で生じ約 $0.8 \text{ mm}$ である。第3.1.6図は同じくCase Bにおける厚肉リング端部のy-z方向変位分布を示す。Case Bでは第3.1.1図に示す如く荷重分布がトーラス主半径中心側に偏っているため、最大変位もポロイダル断面B～C部に生じる。最大値は約 $0.8 \text{ mm}$ である。第3.1.7図に示すCase Dでは第3.1.2図でみた様に荷重分布がポロイダル断面上（或は下）半分内でも逆転するため、変位も同様の傾向を示す。最大変位はポロイダル断面B部で生じ約 $0.4 \text{ mm}$ であるが、真空容器として好ましくない変形モードである。

次に、Case 1におけるCase A, B及びDの応力分布の一例を第3.1.8図から第3.2.0図

に示す。値はベローズ第1山の山部の応力強さを示している。Case Aではポロイダル断面B部からD部にかけて大きな応力を生じるが、特に第3.15図で示した最大変位の生じるポロイダル断面直線部（第3.15図で下半分）で応力も最も大きく約 $6.4 \text{ kg/mm}^2$ である。これからわかる様に、鞍型電磁力が外圧として作用する場合ベローズ・サポートの支持効果は大きく応力の緩和に有効であるが、内圧として作用する場合、ベローズ・サポートは全く支持の役割を果たさないため、ポロイダル断面直線部に大きな応力が発生する可能性がある。第3.19図にはCase Bの例を示す。応力強さはB～C部で最大となり約 $10.9 \text{ kg/mm}^2$ であるが、Case A同様、ベローズ・サポートの支持効果のないポロイダル断面下半分では全般的に大きな応力値を示す。第3.20図にはCase Dの応力強さ分布を示す。最大はCase B同様、ポロイダル断面B～C部に生じ、約 $4.7 \text{ kg/mm}^2$ である。

以上のCase 1に関する解析結果を第3.7表にまとめる。なお、ここにはCase Cの解析結果も併せて示してあるが、その荷重、変位及び応力の分布はCase Dとほぼ同様である。

次にCase 1～5の解析結果を第3.8表にまとめる。これはCase Dにおける最大変位及び応力をまとめたものである。真空容器の板厚 $t$ に対し、電磁力は $t$ に比例して増加するが、剛性値もほぼ $t^3$ に比例して増加するため、板厚の増加により強度的には向上するが、ベローズと厚肉リングの様に剛性の大きく異なる構造物の複合体では、その相対的なポロイダル断面変形差が発生応力の支配的な要因であるため、一概に板厚の増加が強度的に好ましいとは云えない。本パラメータの範囲では、ケース1に次いでケース3が、発生応力が小さい。

次に鞍型電磁力用ダッシュ・ポットの検討を行う。第3.9表に、第3.7表にまとめた各解析ケースにおける鞍型電磁力用ダッシュ・ポット及び真空容器支持アームの支持反力を示す。ここで反力 $F_1$ 、 $F_2$ 、 $F_3$ は各々第2.2図のばね $k_1$ 、 $k_2$ 、 $k_3$ に対応している。これからわかる様に、反力のほとんどは真空容器支持アームで受け持ち、その割合は、Case A、B、C、Dで各々69、77、92、94%である。特にプラズマ消滅時（Case C、D）は、その荷重分布の影響により変位分布はダッシュ・ポット部で変曲点を有する為、ダッシュ・ポットの支持効果は殆んどない。また、プラズマ立ち上げ時（Case A、B）でも70～80%は真空容器支持アームで支えている事がわかる。この様にダッシュ・ポットを取り除いても強度的に殆んど影響ないと考えられる。第3.10表、第3.21、3.22図に、Case B、Dについてのダッシュ・ポットがある場合とない場合の解析結果を示す。第3.10表は発生する最大応力強さを比較したもので殆んど変化がない事がわかる。又、ベローズ第1山の応力強さ分布を示した第3.21、3.22図からも、多少第3.19、3.20図とは分布がずれるが、殆んど変化がない事がわかる。従って、計測用ポート等の設置空間が非常に限られている事を考慮すると装置の総合性能としてはダッシュ・ポットは取り除いた方が有利と思われる。

### 3.3 応力評価

#### (1) プラズマ電流が $50 \text{ msec}$ 以下で消滅した場合の真空容器への電磁力<sup>(9)</sup>

JT-60では、プラズマ消滅時定数 $\tau_p$ は、 $50 \text{ msec}$ として全ての設計を行っているが、 $\tau_p$ には物理的に不確定な要素が強い。プラズマ電流が $50 \text{ msec}$ より短い時定数で消滅する

場合 (Case C 及び D)，現仕様から求まる値を上まわる電磁力が真空容器に作用するため，装置の健全性を損ねる可能性がある。そこで， $\tau_p < 5.0 \text{ msec}$  の場合，即ち  $\tau_p = 1.0 \text{ msec}$ ， $1 \text{ msec}$ ， $100 \mu\text{sec}$ ， $10 \mu\text{sec}$  の 4 ケースについて解析を行った。

第 3.2.3 図に，Case Cにおいてプラズマ電流が  $5.0 \text{ msec}$  以下で消滅した場合に真空容器に流れる鞍型電流及びループ電流の最大値を示す。ここでプラズマ電流  $I_p = 2.7 \text{ MA}$ ，プラズマ主半径  $R = 3.03 \text{ m}$ ，副半径  $a = 0.95 \text{ m}$  であり，ポロイダル磁場コイルの遮蔽効果も含めてある。前者は有限要素回路法で，後者はトカマク回路論で解析を行った。

鞍型電流に関しては， $\tau_p = 5.0 \text{ msec}$  で  $11 \text{ kA}$  であり， $\tau_p = 1 \text{ msec}$  以下ではほぼ一定であり  $4.5 \text{ kA}$  である。またループ電流は， $\tau_p = 5.0 \text{ msec}$   $7.9 \text{ kA}$  であるのに対し， $\tau_p$  が小さいと急激に上昇し， $\tau_p = 1.0 \mu\text{sec}$  で  $2.65 \text{ MA}$  で，ほぼプラズマ電流相当の電流が真空容器に流れる。

第 3.2.4 図には，第 3.2.3 図に示した鞍型電流，ループ電流と各々トロイダル磁場，ポロイダル磁場との相互作用により真空容器に働く電磁力の最大値を示す。鞍型電磁力のトロイダル方向，ポロイダル方向の分布は，各々第 3.1.2 図及び第 3.1.3 図とほぼ同様である。

また，これらの電磁力によって真空容器に発生する最大応力を第 3.2.5 図に示す。鞍型電流電磁力により発生する最大応力は， $\tau_p = 1 \text{ msec}$  までは  $\tau_p$  の減少とともに増加するが， $\tau_p = 1 \text{ msec}$  以下ではほぼ一定であり，約  $13 \text{ kg/mm}^2$  である。一方，ループ電流電磁力により発生する応力は  $\tau_p$  の減少に伴い増加し， $\tau_p = 1.0 \mu\text{sec}$  で約  $8 \text{ kg/mm}^2$  である。

## (2) 応力評価

3.1，3.2 及び 3.3(1)の解析結果に基き，JT-60 の真空容器の応力評価を ASME Sec. III に準じて行う。作用荷重としては，真空力，鞍型電流電磁力，ループ電流電磁力及び厚肉リングのトロイダル方向の熱膨張によるベローズの圧縮を考える。ここで前二者は一次応力に，後者は二次応力に分類する。Code Case 1331-8によれば，インコネル 625 の  $S_m$  値は

$$S_m = 18.3 \text{ kg/mm}^2 \quad (\text{at } 400^\circ\text{C})$$

であるから，一次及び二次応力に対する許容応力強さは，

$$P_m + P_b \leq 1.5 S_m = 27.4 \text{ kg/mm}^2$$

$$P_m + P_b + Q \leq 3 S_m = 54.9 \text{ kg/mm}^2$$

である。ここで

$P_m$ ：膜応力強さ

$P_b$ ：曲げ応力強さ

$Q$ ：二次応力強さ

である。

第 3.1.1 表に，各ケースにおける最大応力強さを生じる要素に対する応力評価をまとめた。ここで最大応力強さを生じる要素は，第 3.1.1 表中に図示してある様にポロイダル断面 B 部のベローズ第 1 山である。

プラズマ消滅時定数  $\tau_p$  が 5.0 msec であるならば、電磁力としては Case B が最大であり、Case 1, 4 及び 5 が ASME の許容応力強さを下回る。ペローズの板厚が 2.5 mm の場合、一次応力を比較的低く抑えられるが二次応力が大きくなるのに対し、ペローズの板厚が 2.0 mm の場合は、二次応力は小さいが一次応力が比較的高くなるという傾向を示す。許容応力強さからは二次応力に対して比較的余裕がある事を考えると、今回のパラメータ範囲内では、ペローズの板厚が大きい方が強度的に有利である事がわかる。一方、厚肉リングの板厚は、今回のパラメータ範囲内ではそれ程最大応力強さに影響を与えない事がわかる。

厚肉リング補強リブは、鞍型電流の電流値に効く実際の板厚を増す事なく等価剛性を上げられるから、強度的には非常に有利であるが、反面、厚肉リング外表面から 100 ~ 160 mm の高さを有し、厚肉リングとトロイダル磁場コイルの間の空間の多くを占有するため、ポロイダル磁場コイル、温度制御層等の設置スペースを制約してしまう。第 3.9 表の結果からわかる様に、補強リブを取り除いた場合でも許容応力を下回るため、装置全体の設計を考えた場合、補強リブは取り除いた方が有利と考えられる。

また、鞍型電磁力用のダッシュ・ポットは、それを取り除いても発生する最大応力強さ及び応力強さの分布にほとんど影響を与えない為、計測用ポート等への空間利用を考慮すると取り除いた方が有利である。

$\tau_p$  が 5.0 msec より短い場合は、代表例として Case 1 及び 5 について  $\tau_p = 1 \text{ msec}$ 、 $10 \mu\text{sec}$  の場合の応力評価を行った。 $\tau_p$  が  $1 \text{ msec}$  以下であると、電磁力としては Case C が最大となる。<sup>(7)</sup> ここで電流値はトカマク回路論の値を用いた。結果は第 3.11 表にまとめられているが、これからわかる様に、 $\tau_p = 1 \text{ msec}$  であれば、Case 1 では許容応力強さを僅かに下回るが、Case 5 ではこれを上回る。しかし  $\tau_p$  が  $1 \text{ msec}$  程度以下になると、真空容器に誘起されるループ電流が MA のオーダーとなるため、第 3.9 表に分類した鞍型電流電磁力、ループ電流電磁力以外にも無視し得ない大きさの電磁力が様々な形で真空容器に作用する事や、計算及びモデルに含まれる誤差を考慮すると、Case 1 においても  $\tau_p = 1 \text{ msec}$  でも発生する最大応力強さは許容応力強さを上回る可能性があると思われる。<sup>(10)</sup>

Table 3.1 境界条件（真空力）

Boundary	x	y	z	$\theta_x$	$\theta_y$	$\theta_z$
O-P-Q	1	0	0	0	1	1
O-R	0	1	0	1	0	1
Q-T	0	1	0	1	0	1
R-S-T	1	0	0	0	1	1

O-T are shown in Fig.A-1.  
0;Free 1;Fixed

Table 3.2 真空力による応力解析結果

Case	$\delta_{\max}$ (mm)			$\sigma_{\max}$ (kg/mm <sup>2</sup> )
	x	y	z	
1	1.3	-1.7	2.7	12.6
2	-1.4	-1.9	-3.6	13.0
3	-2.7	-3.5	-6.3	17.2
4	-1.4	-1.9	-3.5	8.4
5	-2.7	-3.5	-6.3	12.9

Table 3.3 真空力による応力一有限要素法による結果と解析解の比較

Case	$\sigma_1$	$\sigma_2$	$\sigma_3$	$\sigma_1 + \sigma_2 + \sigma_3$	$\sigma_t$
1	0.8	1.6	7.9	10.3	11.2
2	0.9	1.4	7.9	10.2	12.5
3	1.8	3.3	7.9	13.0	16.5
4	2.5	1.3	2.2	6.0	7.9
5	4.8	3.8	2.2	10.8	12.3

$\sigma_t$ ; Stress in toroidal direction  
computed by FEM.

Table 3.4 境界条件(鞍型電磁力)

Boundary	x	y	z	$\theta_x$	$\theta_y$	$\theta_z$
O-P-Q	0	1	1	1	0	0
R-S-T	0	1	1	1	0	0

O-T are shown in Fig.A-1.  
0;Free 1;Fixed

Table 3.5 真空容器に電流が流れる場合の定義

Case	Plasma Behavior
A	Current build-up phase (plasma current is generated)
B	Current build-up phase (plasma current is not generated)
C	Current shut-down phase (without displacement)
D	Current shut-down phase (with inward displacement)
E	Negative spike
F	Positive spike

Table 3.6 真空容器に流れるループ電流、鞍型電流の最大値

Case	A	B	C			D			E	
$\tau_p$ (msec)	-	-	50	1	0.01	50	1	0.01	-	-
Max. loop current (kA)	242	340	71	1190	2660	79	1220	2620	607*	1471**
Max. saddle-like current (kA)	45	55	11	62	65	24	42	46	25*	51**

\*  $v_n = -3 \text{ kV}$ 

\*\* By "Tokamak Circuit" theory

Table 3.7 鞍型電磁力による応力解析結果 (Case 1)

Case	$\delta_{\max}$ (mm)			$\sigma_{\max}$ (kg/mm <sup>2</sup> )
	x	y	z	
A	2.5	0.32	0.83	6.4
B	4.6	-0.60	-0.84	10.9
C	1.3	-0.19	-0.30	3.1
D	2.1	-0.30	-0.46	4.7

Table 3.8 鞍型電磁力による応力解析結果 (Case D)

Case	$\delta_{\max}$ (mm)			$\sigma_{\max}$ (kg/mm <sup>2</sup> )
	x	y	z	
1	2.1	-0.30	-0.46	4.7
2	2.2	-0.32	-0.49	5.4
3	2.1	-0.31	-0.47	5.0
4	1.9	-0.30	-0.46	6.0
5	1.8	-0.29	-0.44	5.6

Table 3.9 軸型電磁力用ダッシュ・ポット及び真空容器支持アームの支持反力  
( ton )

Case	Dash-pot		Vacuum vessel support arm			
	Upper	Lower	Upper		Lower	
			$F_1$	$F_1'$	$F_2$	$F_3$
A	11.1	-11.9	-19.7	5.6	-20.3	6.2
B	9.6	-10.2	-30.2	2.0	-30.7	-2.7
C	-0.7	0.7	-6.2	-2.0	-6.1	1.8
D	-0.9	0.8	-9.8	-2.7	-9.8	2.5
B	*	*	-32.5	3.7	-33.3	-4.8
D	*	*	-9.6	-2.9	-9.6	2.6

\* without dash-pot

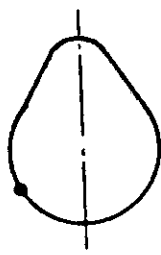
Table 3.10 ダッシュ・ポットのない場合の解析結果

Case	$\sigma_{\max}$ (kg/mm <sup>2</sup> )	
	With dash-pot	Without dash-pot
B	10.9	10.8
D	4.7	4.9

Table 3.1.1 応力評価

 $(\text{kg/mm}^2)$ 

Case	$\sigma_v$	$\sigma_s$ I sad (kA)	$\sigma_1$ I loop (kA)	$\sigma_t$	$(\text{kg/mm}^2)$	
					$P_m + P_b$	$P_m + P_b + Q$
1	9.4	55	10.7	420	1.3	9.0
		62	12.1	1190	3.7	25.2
		65	12.6	2660	8.3	30.3
2	10.4	75	14.3	420	4.4	9.0
		62	11.8	420	5.3	9.0
		73	13.9	2660	20.7	42.4
3	12.6	75	14.3	420	2.4	26.7
		62	11.8	420	3.3	26.7
		73	13.9	2660	20.7	42.4
4	5.6	75	14.3	420	2.4	26.7
		62	11.8	420	3.3	26.7
		70	13.3	1190	9.3	30.4
5	7.8	75	14.3	420	2.4	26.7
		62	11.8	420	3.3	26.7
		73	13.9	2660	20.7	42.4

 $\sigma_v$ ; Stress by vacuum pressure $\sigma_s$ ; Stress by saddle-like eddy current $\sigma_1$ ; Stress by loop current $\sigma_t$ ; Stress by thermal expansion of rigid ring

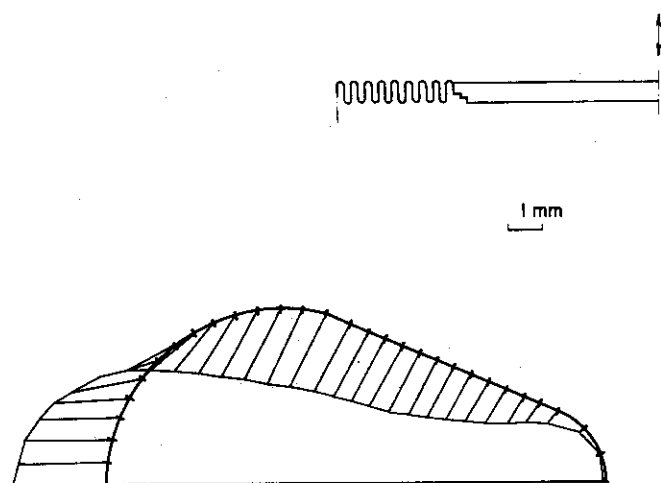


Fig. 3.1 真空力によるポロイダル断面変位分布  
(Case 1, 厚肉リング中央)

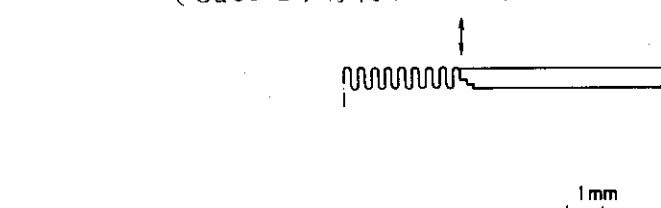


Fig. 3.2 真空力によるポロイダル断面変位分布  
(Case 1, 厚肉リング端)

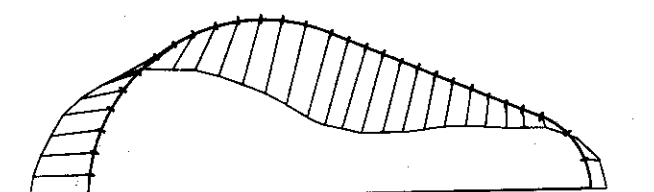
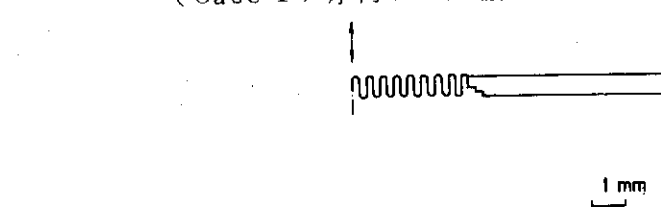


Fig. 3.3 真空力によるポロイダル断面変位分布  
(Case 1, ベローズ中央)

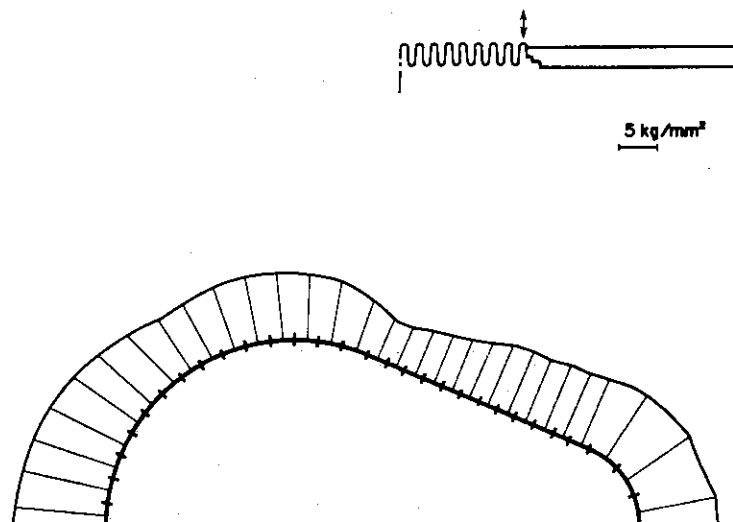


Fig.3.4 真空力による応力の強さ分布  
(Case 1, ベローズ第1山)

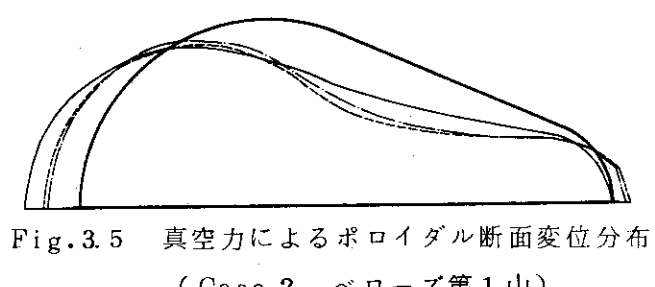
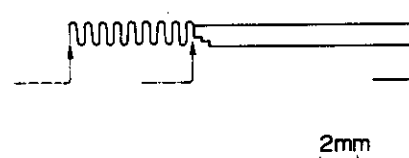


Fig.3.5 真空力によるポロイダル断面変位分布  
(Case 2, ベローズ第1山)

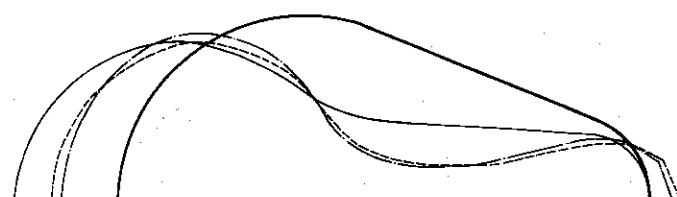
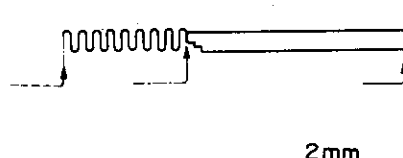


Fig.3.6 真空力によるポロイダル断面変位分布  
(Case 3, ベローズ第1山)

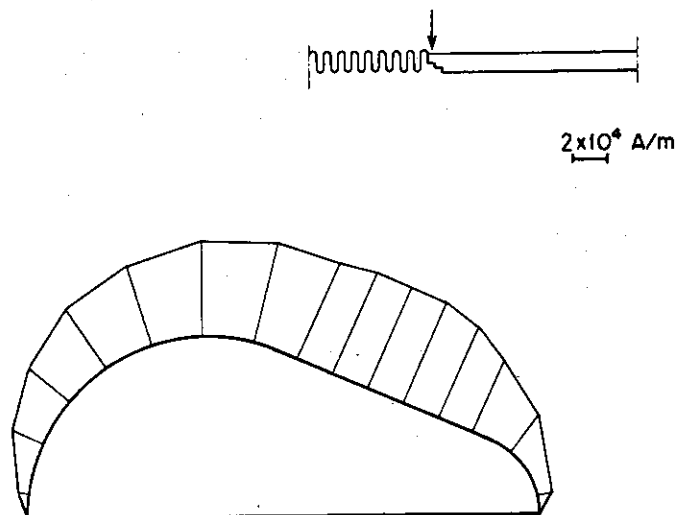


Fig. 3.7 鞍型電流ポロイダル成分の分布 (Case A)

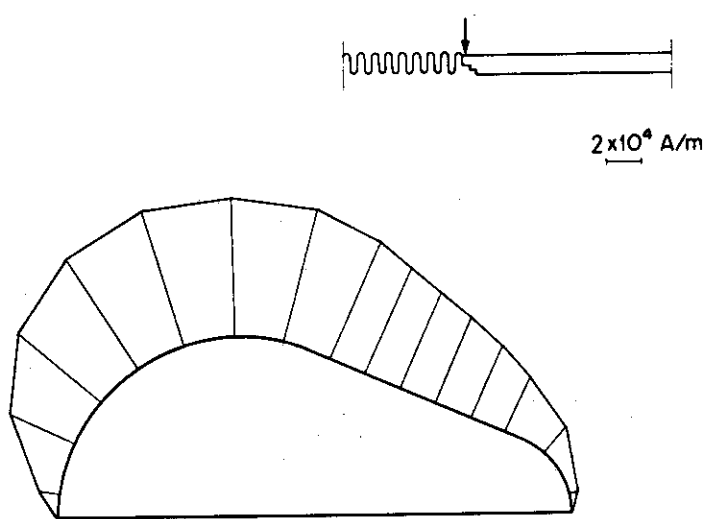


Fig. 3.8 鞍型電流ポロイダル成分の分布 (Case B)

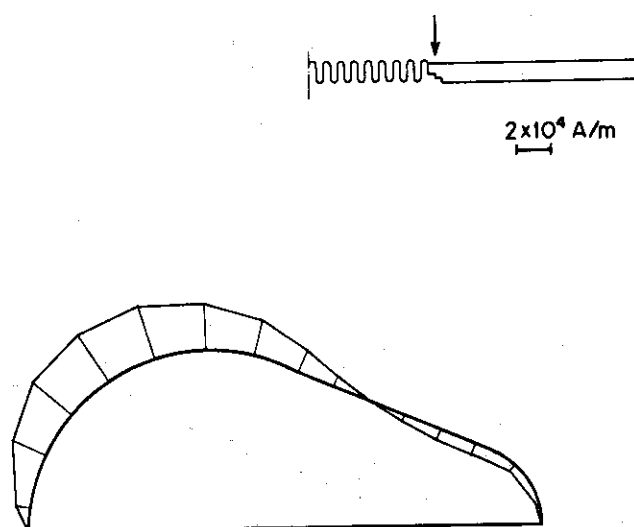


Fig. 3.9 鞍型電流ポロイダル成分の分布 (Case D)

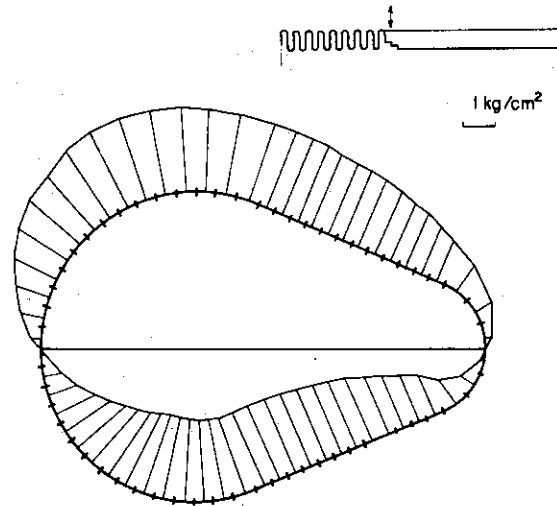


Fig. 3.10 鞍型電磁力のポロイダル方向分布 (Case A)

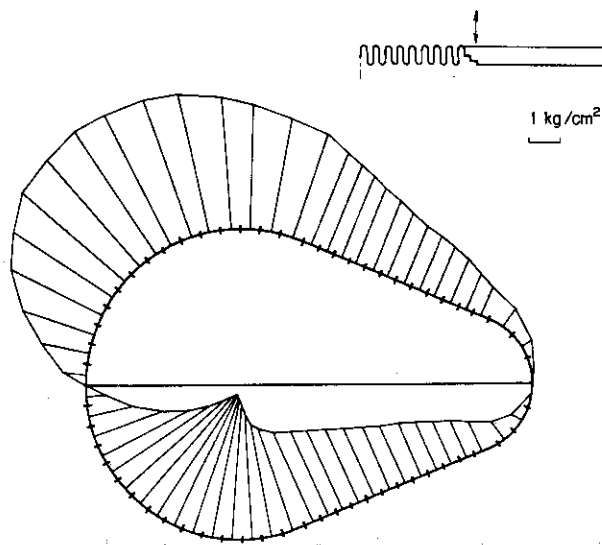


Fig. 3.11 鞍型電磁力のポロイダル方向分布 (Case B)

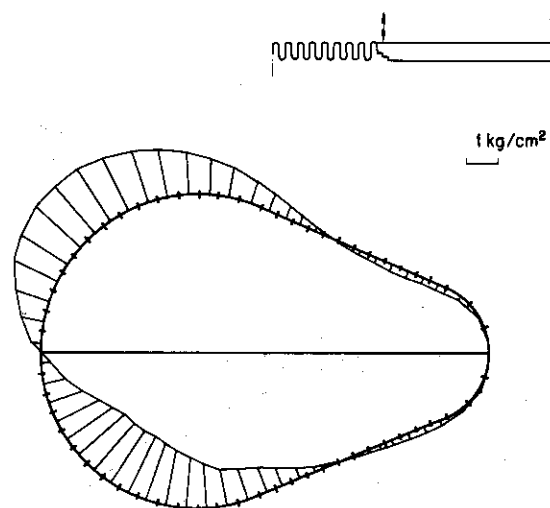


Fig. 3.12 鞍型電磁力のポロイダル方向の分布 (Case D)

Case	1	2	3	4	5
I (kA)	18	26	21	26	21

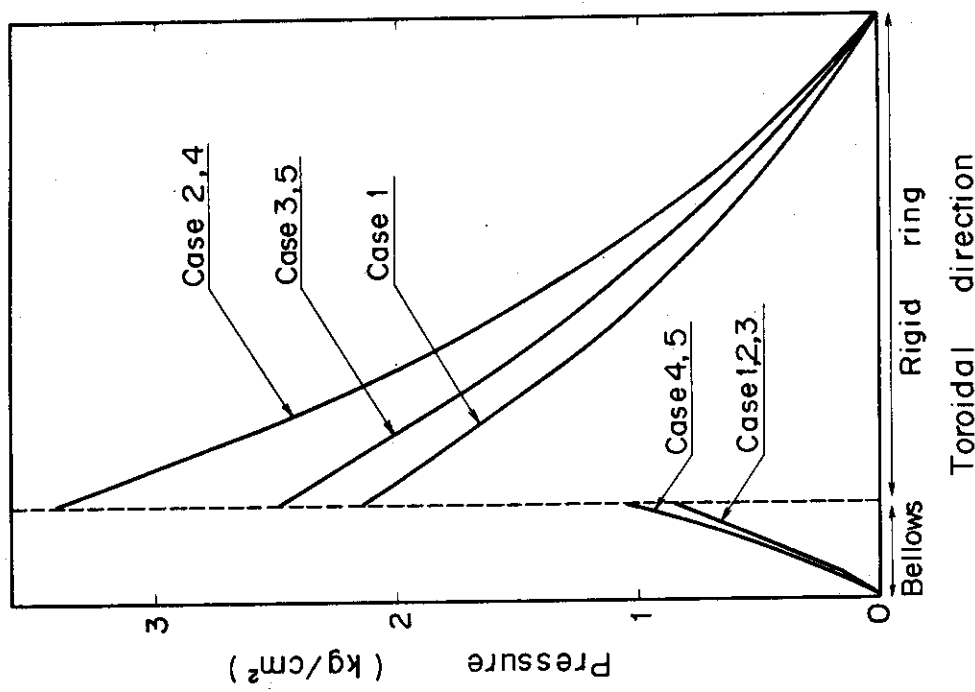


Fig. 3.14 鞍型電磁力のトロイダル方向分布 (Case 1~5)

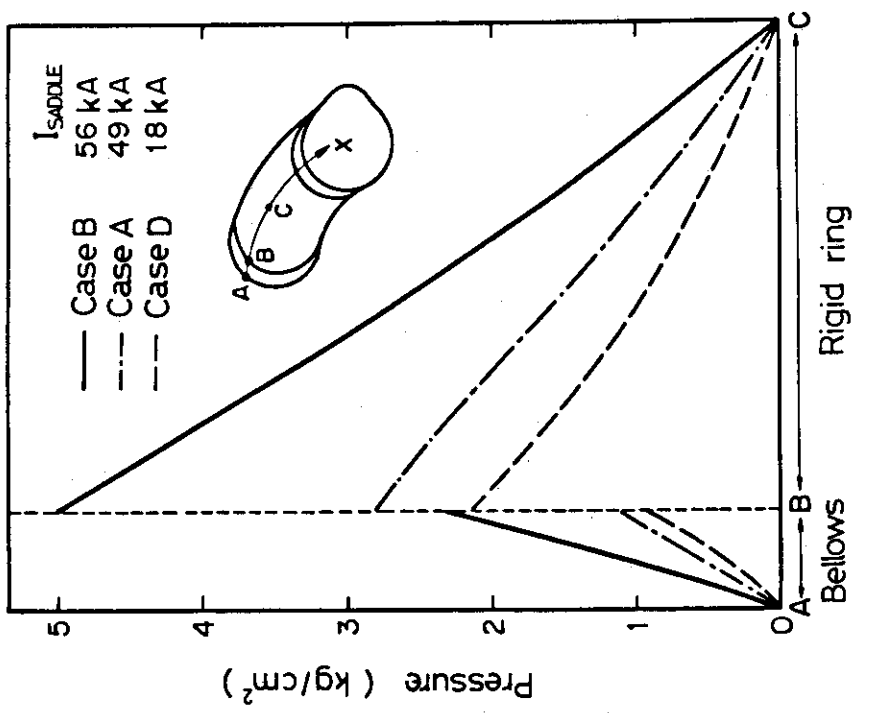


Fig. 3.13 鞍型電磁力のトロイダル方向分布 (Case A, B, D)

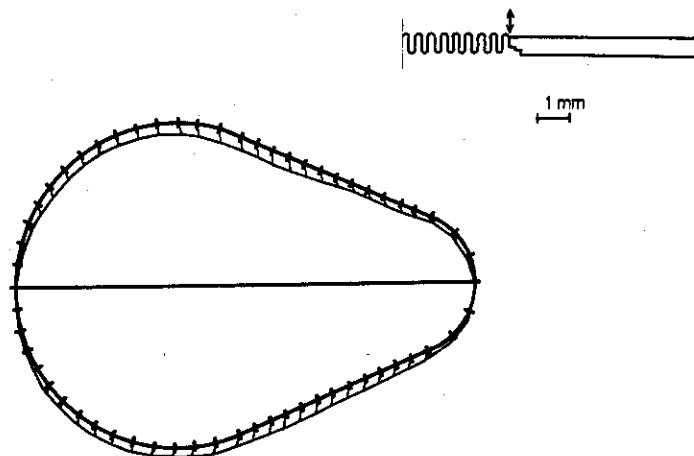


Fig. 3.15 鞍型電磁力によるポロイダル断面変位分布  
(Case A, 厚肉リング端)

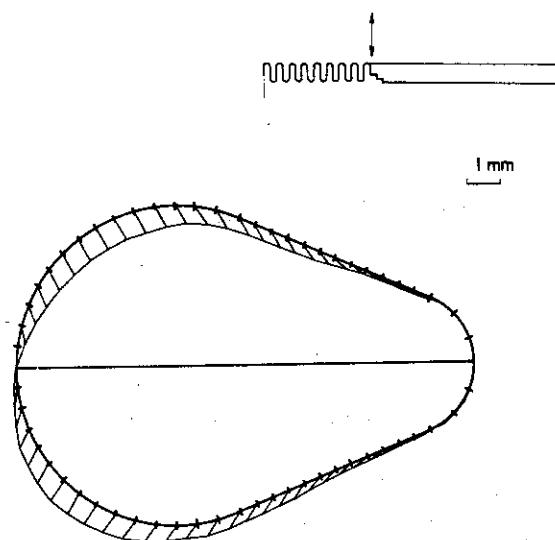


Fig. 3.16 鞍型電磁力によるポロイダル断面変位分布  
(Case B, 厚肉リング端)

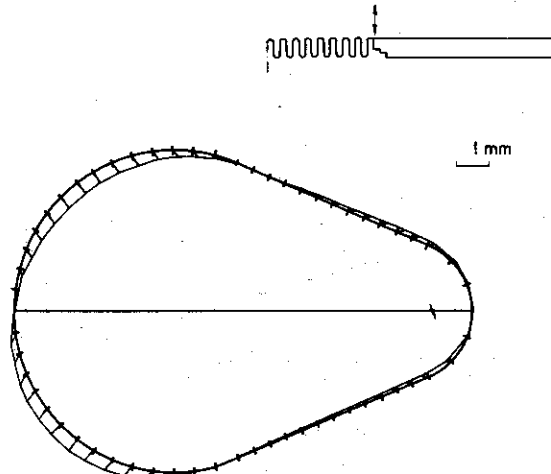


Fig. 3.17 鞍型電磁力によるポロイダル断面変位分布  
(Case D, 厚肉リング端)

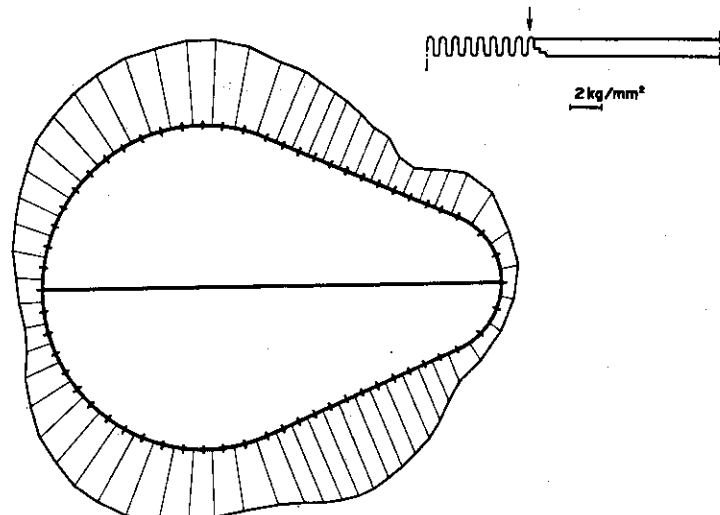


Fig. 3.18 鞍型電磁力による応力強さ分布  
(Case A, ベローズ第1山)

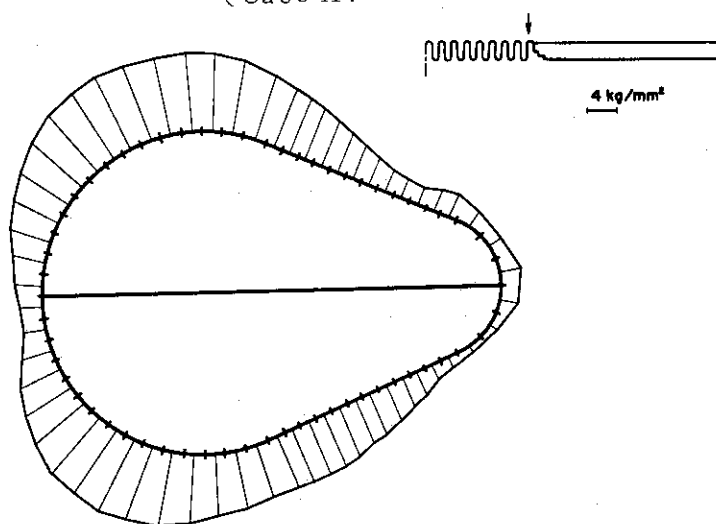


Fig. 3.19 鞍型電磁力による応力強さ分布  
(Case B, 厚肉リング端)

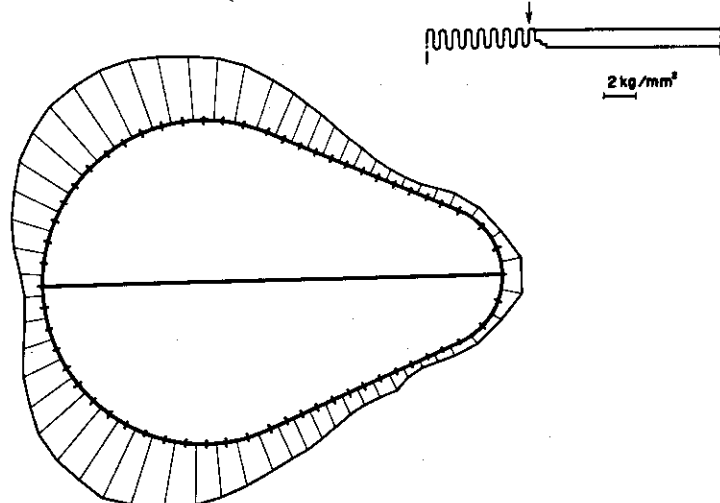


Fig. 3.20 鞍型電磁力による応力強さ分布  
(Case D, ベローズ第1山)

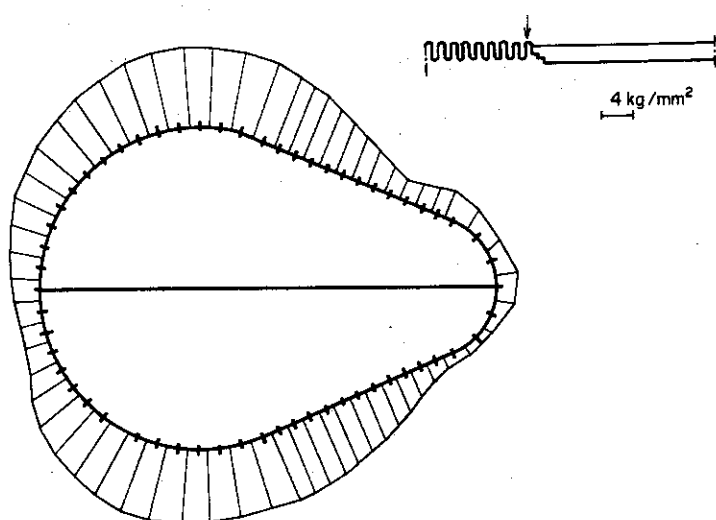


Fig. 3.21 鞍型電磁力による応力強さ分布  
(Case B, ダッシュ・ポットなし,  
ベローズ第1山)

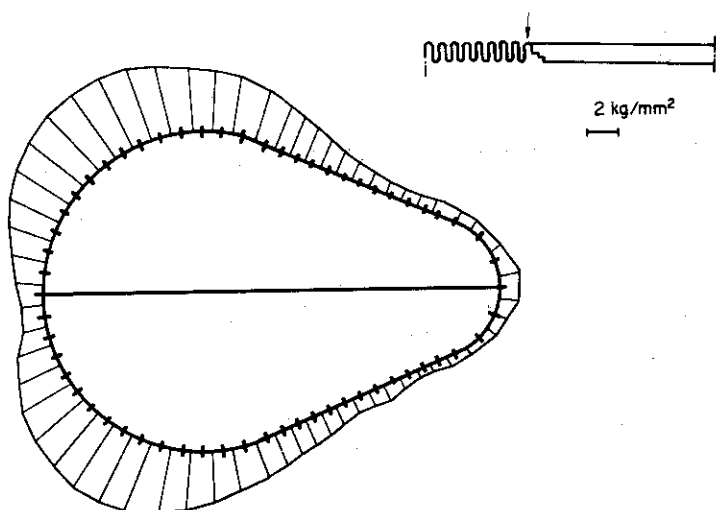


Fig. 3.22 鞍型電磁力による応力強さ分布

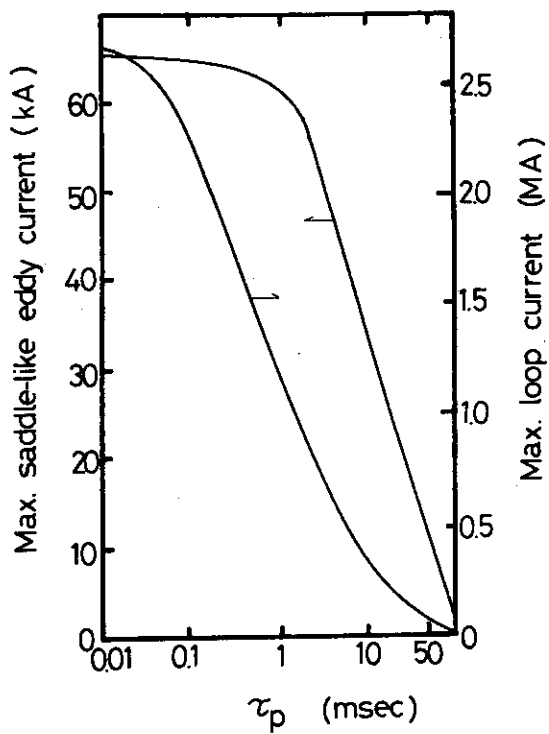


Fig. 3.23 プラズマ消滅時に真空容器に誘致される鞍型電流  
及びループ電流の最大値

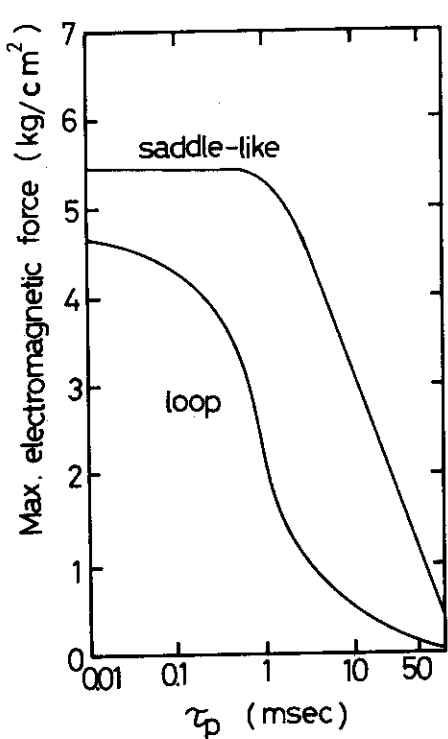


Fig. 3.24 プラズマ消滅時に真空容器に  
働く鞍型電流電磁力 及びルー  
プ電流電磁力

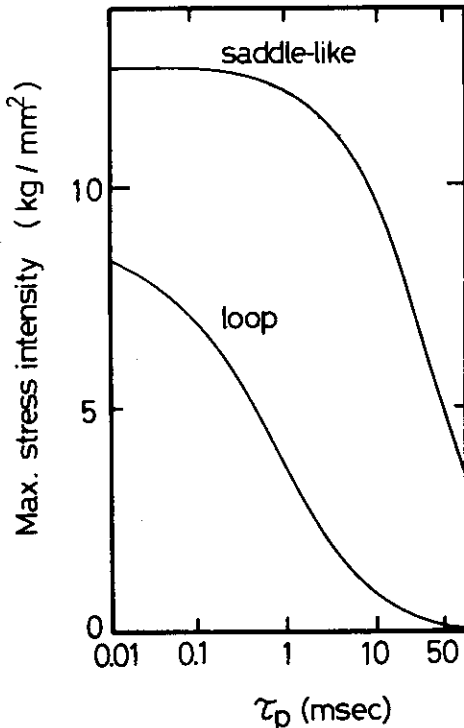


Fig. 3.25 プラズマ消滅時に真空容器に発  
生する最大応力強さ

#### 4. おわりに

本報告書は、現在原研が進めている JT-60 の真空容器の設計のうち、応力解析についてまとめたものである。解析手法は既に報告されており、小型モデルを用いた実験結果との比較において確認されているが、実機の解析への適用に当っては、モデル化及び使用プログラムに多少の修正を加えた。

解析は詳細設計における真空容器を基本構造に考え、更に実機の設計へのフィードバックを考慮して厚肉リング及びベローズの板厚をバラメトリックに変えて行い、また、補強リブ及び鞍型電磁力用ダッシュ・ポットを取り除く可能性も検討した。荷重条件としては、一次応力を生じる主な荷重として真空力及び鞍型電磁力に主点を置き、最終的には他の荷重（ループ電流電磁力、厚肉リングのトロイダル方向の熱膨張によるベローズの圧縮）も考慮して、ASME Sec. III に準じて応力評価を行った。

解析結果によれば、検討したパラメータ範囲（厚肉リング厚さ 4.0 ~ 7.0 mm、ベローズ厚さ 2.0 ~ 2.5 mm）内では補強リブがない構造でも最大応力強さは許容応力強さを下回る可能性のある事がわかる。また、二次応力に比較的余裕がある事を考慮すると、ベローズの板厚は 2.5 mm とした方が安全率を高くとれ、また厚肉リングの板厚は今回のパラメータ範囲では最大応力強さにそれ程影響を与えない事がわかった。また、鞍型電磁力用ダッシュ・ポットは、これを取り除いても強度的にほとんど影響がない為、計測用ポート等への空間利用を考慮すると設置しない方が有利である事がわかった。

現在 JT-60 では、プラズマ消滅時定数  $\tau_p$  は 5.0 msec として全ての設計を行っているが、この場合は真空容器に作用する電磁力は消滅時より立ち上げ時の方が大きい。しかし、 $\tau_p$  には物理的に不確定な要素が強いため 5.0 msec より小さい場合についても検討を行った。 $\tau_p$  が 1 msec 以下では、電磁力は消滅時の方が大きい。応力評価によれば、 $\tau_p = 1 \text{ msec}$  では許容応力強さを僅かに下回るケースもあるが、 $\tau_p$  が 1 msec 程度以下になると  $\tau_p = 5.0 \text{ msec}$  では無視し得た電磁力の中でもその値が可成り大きくなるものがあり、更に計算やモデルに含まれる誤差を考慮すると、 $\tau_p = 1 \text{ msec}$  でも発生する最大応力強さは許容応力強さを上回る可能性があると思われる。

#### 謝 辞

本報告書を作成するに当り、終始有益な御意見、御指導を戴いた吉川允二 JT-60 計画室室長、飯島勉 JT-60 第 2 開発室室長及び JT-60 第 2 開発室諸氏に謝意を表します。渦電流問題解析プログラム EDDYTORUS の使用に当っては、JT-60 第 1 開発室二宮博正氏に多くの助言を戴き、またプログラム THREEEDI 及び SUPERPOSE の修正作業には（株）数値解析研究所西山禎郎氏に負うところが大きかった。ここに両氏に深く感謝致します。

## 参 考 文 献

- (1) Shimizu, M., Yamamoto, M., Takatsu, H., Saigo, T., Ito, Y., Miyata, H., Saito, R., Takizawa, T.: To be published in Proc. 10th Symposium on Fusion Technology.  
清水正亜，山本正弘，西郷奉素，中村博雄，高津英幸，太田 充；臨界プラズマ試験装置試作開発報告・1～15(1977)内部資料。
- 山本正弘，清水正亜，中村博雄，高津英幸，西郷奉素，太田 充，吉川允二，伊藤吉保，佐藤 弘，唐津義憲，相沢剛志；J.At.Energy Soc.Japan. 20(1978)258.
- (2) 大型トカマク開発部 JT-60開発室：臨界プラズマ試験装置詳細設計(1977)内部資料。
- (3) 森下 宗，高津英幸，高嶋哲夫，山本正弘，太田 充，吉井明彦，鈴木 充；JAERI-M 6822(1976).
- (4) Takatsu, H., Yamamoto, M., Shimizu, M., Ohta, M., Saigo, T., Miyata, H., Sato, H., Itoh, Y.: Proc. 7th Symposium on Engineering problems of Fusion Research, 1376-1380, (1977).
- (5) 森下 宗，高津英幸，高嶋哲夫，山本正弘，太田 充，鈴木 充，吉井明彦；私信。
- (6) Ninomiya, H., Kameari, A., Suzuki, Y.; 私信
- (7) 二宮博正，鈴木康夫；JAERI-M 7710(1978).
- (8) 亀有昭久，鈴木康夫；JAERI-M 7120(1976).
- (9) 安東俊郎，太田 充，川崎幸三，栗山正明，西郷奉素，高津英幸，中村博雄，三木信晴，山本正弘；私信。
- (10) 栗山正明，高津英幸，清水正亜，太田 充；私信。

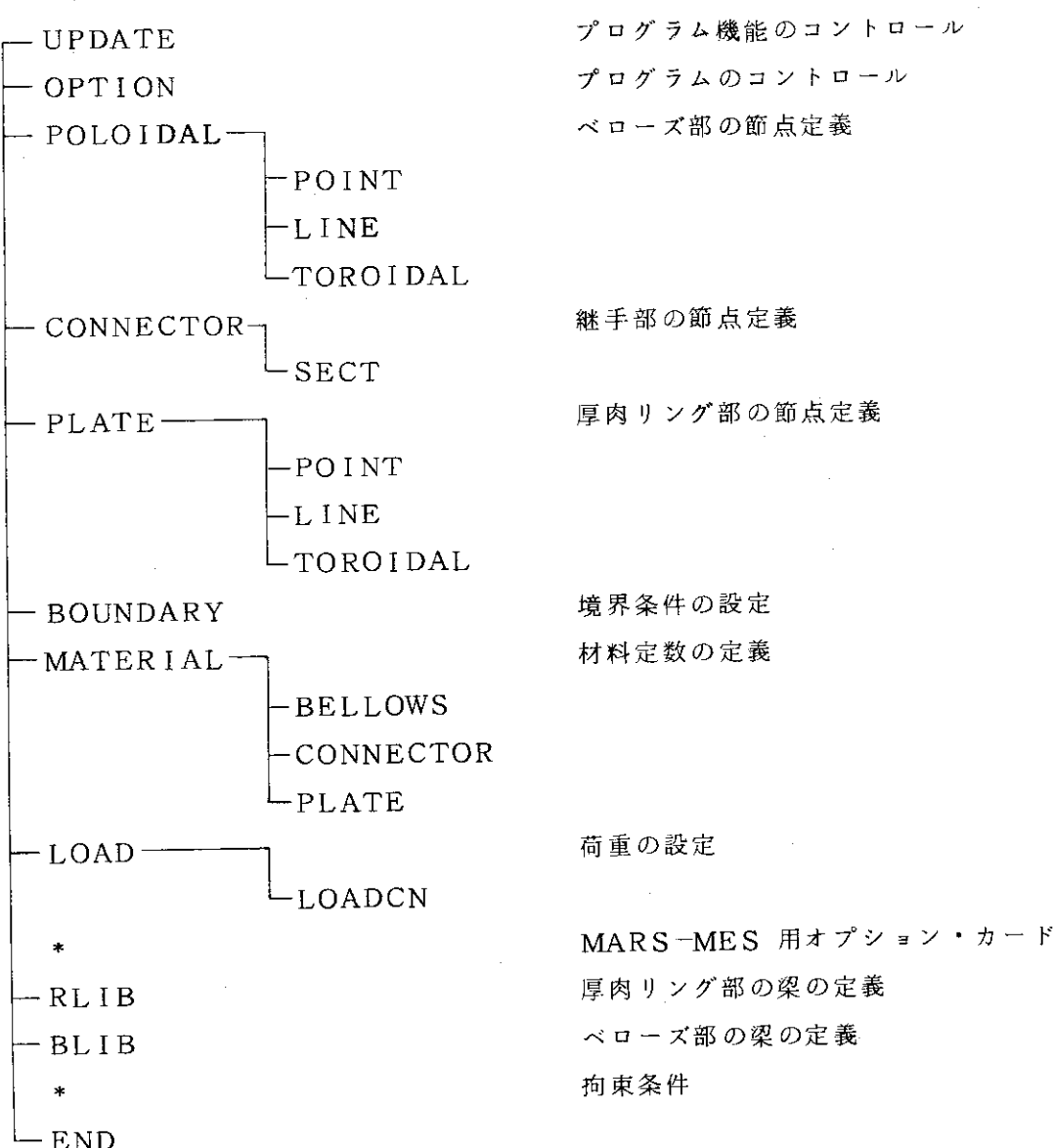
## 付録 I 三次元自動メッシュ分割プログラムのインプット・マニュアル

本プログラムは、既に報告を行っているベローズと厚肉リングの三次元自動メッシュ分割プログラム<sup>(5)</sup>に、次に記す4つの機能を追加したものであり、入力データも一部を変更したのみであるが、便宜上全ての入力データのマニュアルを示す。

追加機能としては

- (1) 分布荷重（鞍型電磁力、磁気リミタコイル反力）の入力
- (2) ビーム要素の入力
- (3) トラス要素の入力
- (4) 平行ベローズの要素分割

である。各種入力データには各々個有のキー・ワードがつけられていて、それに従って以下の順にセット・アップする。



次に、インプット・マニュアルをカード順に従って示す。

・カード1 (A 4, 5 X, I 1)

THREEDI のUPDATE機能を指定する。

KEY 「UPDT」と記入する。

IUP = 0 で梁要素、拘束条件の追加を行う。

= 0 の場合は行わない。

・カード2 (8 0 I 1)

THREEDI のデータ生成機能を指定するものであり、各カラムが 0 でない場合、以下の機能を有する。

KK(2)	いずれかが = 0 なら出力はリストのみ、両方が = 0 なら出力はリスト、カード、テープ、ファイル。
KK(3)	
KK(4)	節点の分割計算を行わない。
KK(5)	要素の分割計算を行わない。
KK(6)	荷重計算を行わない。
KK(7)	座標変換、オブリーク座標の計算、節点座標の出力を行わない。
KK(8)	ポロイダル断面の一一周について計算出力する。= 0 の場合、ポロイダル断面上半分について計算出力する。
KK(15)	厚肉リング部なし
KK(26)	継手部がトーラス方向に直線にて接続される。 継手部はベローズのトーラス半径と同半径にて接続される。
KK(27)	オブリーク座標計算せず
KK(28)	オブリークデータのカード出力なし。
KK(31)	ベローズのポロイダル分割 (SUBROUTINE DIVPOL) の DEBUG 出力を行う。
KK(32)	継手部の分割 (SUBROUTINE DIVCON) の DEBUG 出力を行う。
KK(33)	厚肉リング部の分割 (SUBROUTINE DIVPLT) の DEBUG 出力を行う。
KK(34)	座標変換 (SUBROUTINE TRNSFR) の DEBUG 出力を行う。
KK(35)	オブリーク座標 (SUBROUTINE OBLIQU) の DEBUG 出力を行う。
KK(40)	Dマトリックス (SUBROUTINE DMTX) の DEBUG 出力を行う。
KK(41)	厚肉リング部のみの計算を行う。ベローズ及びコネクタ部は含まない。
KK(42)	荷重の一部に磁気リミタコイルの反力が入力される。
KK(43)	鞍型電磁力の補間 (SUBROUTINE KAME) の DEBUG 出力を行う。
KK(45)	鞍型電磁力が荷重となる。但しこの場合、一様外圧は入力できない。
KK(46)	鞍型電磁力の補間 (SUBROUTINE KAME) の DEBUG 出力を行う。
KK(48)	単位が $\text{kg}/\text{mm}^2$ となる。= 0 の場合、 $\text{kg}/\text{cm}^2$ である。
KK(49)	厚肉リングの大半径 (XXX0) の入力を行う。

## ・カード3 (A 4 , 6 X , 1 5 , 5 X , F 1 0 . 0 )

ベローズ部, ポロイダル方向の代表分割数とオブリーク座標原点を指定する。

KEY 「POLOIDAL」と記入する。

NPO ベローズ部, ポロイダル方向代表分割点数。(直線部と円弧部に別けて適当な点に区分する)

RPOR 全体座標中心(装置中心)よりポロイダル断面中心(大半径の中心)までの距離(局所座標の原点となる。)

## ・カード4 (A 4 , 1 6 X , 2 F 1 0 . 0 )

ベローズ部, ポロイダル方向の代表分割点の局所座標値を指定する。NPO枚数必要である。

KEY 「POINT(X, Y) NPO」と記入する。(NPO=1, NPO)

XYRB(1, 1) NPO=1 の点の x 軸の局所座標値

XYRB(2, 1) NPO=1 の点の y 軸の局所座標値

以下同じ様に NPO 枚, 代表分割点の座標値を記入する。

## ・カード5 (A 4 , 1 6 X , F 1 0 . 0 , 1 0 X , 1 5 )

ベローズ部, ポロイダル方向の代表分割点間の自動分割数を指定する。NPO-1枚必要である。

KEY 「LINE NPO-(NPO+1)」と記入する。(NPO=1, NPO-1)

XYRB(3, 1) ポロイダル断面の代表分割点間の曲率半径(=0 の時直線を表わす)  
(図 2-2, の r である)

NPOR(I) 代表分割点間(NPO-(NPO+1))の自動分割数

以下同様に曲率半径と自動分割数を NPO-1 枚記入する。

## ・カード6 (A 4 , 6 X , 1 5 )

ベローズ部, トロイダル方向の分割数を指定する。

KEY

NTORB

## ・カード7 (2 0 X , 2 F 1 0 . 0 )

ベローズ部, トロイダル方向分割区間の幅, およびベローズ 1 ピッチの断面 2 次モーメントを記入する。

BB 分割区間の幅

RI 1 ピッチの断面 2 次モーメント

NTORB の枚数必要である。

RI(I)=0, (I=2, n) の時, RI(I)=RI(1) と見なされる。

## ・カード8 (A 4 , 6 X , 1 5 )

継手部, トロイダル方向の分割数を指定する。

KEY 「CONNECTOR」と記入する。

NCON 継手部のトロイダル方向のオブリーク座標(U, V)上での分割数(最大 5 )

NCON=0 の時，以下のカード 9，10 は不要である。

・カード 9 ( A 4 , 6 X , 6 F 1 0 . 0 )

継手部のポロイダル方向の代表分割数は 3 節点 (Ⓐ, Ⓡ, Ⓢ 部) となっている。

カード 9 では，この 3 節点のオブリーク座標 (U, V) 値の内 U 座標を指定する。

KEY 「SECT, A-U」と記入する。

(A=A, B, C)

RC(I) ポロイダル断面の各代表分割節点の全体座標からの距離 (I=A, B, C)。

UV(I, 1, J) ポロイダル断面の代表分割節点Ⓐのオブリーク座標値（最大 5）の U 座標

・カード 10 ( A 4 , 1 6 X , 5 F 1 0 . 0 )

カード 9 にて述べたオブリーク座標の V 座標を指定する。

IDM 「A-V」と記入する。

(A=A, B, C)

UV(I, 2, J) ポロイダル断面の代表分割節点Ⓑのオブリーク座標値（最大 5）の V 座標

カード 9 とカード 10 は 1 組となり，代表分割節点数Ⓐ, Ⓡ, Ⓢ の 3 組必要である。

・カード 11 ( A 4 , 1 6 X , F 1 0 . 0 )

厚肉リング部のデータを指定する。

KEY 「PLATE」と記入する。

RATIO 厚肉リングのポロイダル形状／ベローズのポロイダル形状の相似比  
= 0. 厚肉リング部の XYRB が以下の様に計算される。

$$XYRB = XYRB \times RATIO$$

= 0. カード 4, 5 の XYRB があらたに XYRP として次頁以下入力される。  
NPO 枚数必要である。

厚肉リング部の NPO, RPOR, NPOR はベローズ部と同じである。

KK(15) = 0 の場合，カード 11 からカード 14 までは不要である。また RATIO = 0 の場合，カード 12 からカード 13 までが不要となる。

・カード 12 ( A 4 , 1 6 X , 2 F 1 0 . 0 )

厚肉リング部，ポロイダル方向の代表分割点の局所座標値を指定する，NPO 枚数必要である。記入方法は，カード 4 と同じである。

・カード 13 ( A 4 , 1 6 X , F 1 0 . 0 )

厚肉リング部，ポロイダル断面の代表分割点間の曲率半径を指定する。NPO - 1 枚必要である。

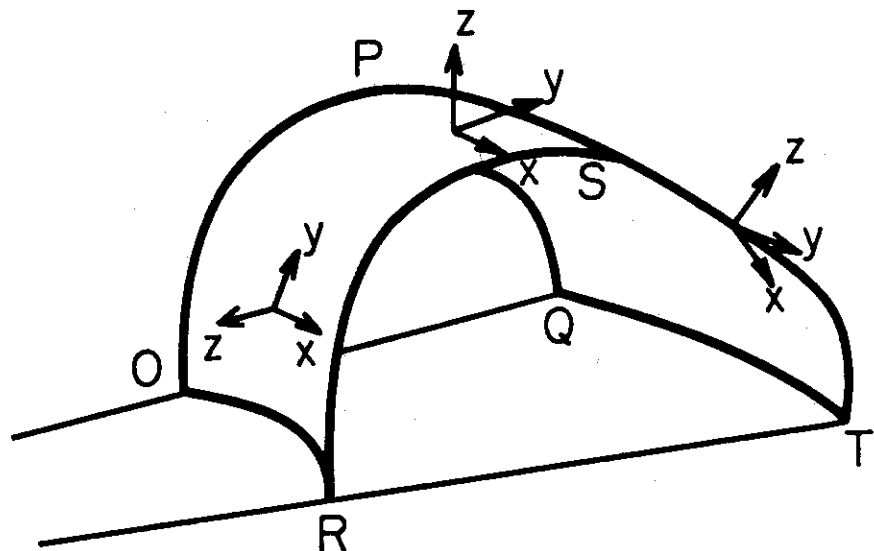
記入方法は，カード 5 の XYRB と同じである。

・カード 14 ( A 4 , 6 X , I 5 , 1 3 F 5 . 0 )

厚肉リング部，トロイダル方向の分割数を指定する。

KEY 「NTORP」と記入する。

- NTORP 厚肉 リン部のトロイダル方向の分割数。(最大 13)
- BP(I) トロイダル方向分割区間の幅  
(I = 1, NTORP)
- ・カード 15 (A 4, 16 X, F 1 0.0)
- KEY 「XXX0」と記入する。
- RPOR 厚肉 リング主半径を記入
- ・カード 16 (A 4, 12 X, 4(4 X, 16))
- 境界条件を指定する。本プログラムの指定の方法は第A・1図の様に、ペローズ部、継手部、厚肉 リング部全体の外側の境界を指定する。また、各LINE内の節点はすべて同一の境界条件となる。
- 以下の記号は、第A・1図参照。
- KEY 「BOUNDARY」と記入する。
- IB(1) O-P-Q LINE の境界条件
- IB(2) O-R LINE の境界条件
- IB(3) Q-T LINE の境界条件
- IB(4) R-S-T LINE の境界条件
- 境界条件は6桁の整数でオブリーク座標(x, y, z)を原点として表わす。



第A・1図 THREED 1における境界条件の設定

x	y	z	$\theta_x$	$\theta_y$	$\theta_z$
---	---	---	------------	------------	------------

0は自由，1は固定を表わす。

x x軸方向支持条件

y y軸方向支持条件

z z軸方向支持条件

$\theta_x$  x 軸まわりの支持条件

$\theta_y$  y 軸まわりの支持条件

$\theta_z$  z 軸まわりの支持条件

オブリーク座標は、ある節点の接線方向を y 軸、法線方向を z 軸、トロイダル方向を x 軸とする。

・カード 17 (A 4, 2 6 X, 2 F 1 0.0)

ベローズの寸法仕様を指定する。

KEY 「PROPERTY」と記入する。

BW ベローズのガース長(1ピッチの波板の長さ)

BO ベローズの1ピッチ長さ

・カード 18 (A 4, 1 6 X, 5 F 1 0.0)

物理定数を記入する。

KEY 「BELLows」と記入する。

RM (1, I) ヤング率  $\times 10^{-6}$

RM (2, I) ポアソン比

RM (3, I) 板厚

RM (4, I) 単位体積重量  $\times 10^6$

RM (5, I) 線膨張係数  $\times 10^6$

本カードは、ベローズ部、継手部、厚肉リング部と3枚のカードが必要である。厚肉リングなしの場合(KK(15=0))でもブランクカード1枚が必要である。KEYのカラムには、継手部は「CONNECTOR」、厚肉リング部は「PLATE」と記入する。

・カード 19 (A 4, 6 X, I 5)

荷重条件数を指定する。

KEY 「LOAD」と記入する。

NLD 荷重条件数(最大 20)

・カード 20 (A 4, 1 6 X, 2 F 1 0.0)

荷重条件を指定する。荷重条件数(NLD)枚必要である。

KEY 「LOAD CON」と記入する。

PTE(1, J) 圧力

PTE(1, J) 温度(J=1, NLD)

なお、鞍型電磁力の場合はPTEはブランクとする。

・カード 21 (8 0 I 1)

本カードは、MARS-MES用のOPTION INDICATOR CARDである。各カラムが0でない場合、以下のオプションが与えられる。

COL.2 この構造を構成する全メンバー要素に剪断剛性が考慮される。このとき各要素に剪断面積が与えられていなければ剪断面積は実面積に等しくとられる。このときCOL.が0であっても要素に剪断面積が与えられていればこの要素には剪断面積が考慮される。

COL. 4	WAVE-FRONT法を指定する。
COL. 6	JOINT指定のインプットフォームである。
COL. 9	面内応力、面外応力を計算出力する。
COL. 10	変位、応力等のプロッター図作成のためのデータテープを作成する。
COL. 11	平面歪問題として解析を行う。
COL. 13	計算後反力について重ね合せを行う。
COL. 22	要素の剛性マトリックスおよび応力ひずみマトリックスをプリントする。
COL. 23	ユニットごとに剛性マトリックス、荷重マトリックスをプリントする。
COL. 33	balance checkの出力をしない。
COL. 45	WAVE-FRONT数を表示する。

## • カード 2 2 ( 8 0 A 1 )

本カードは計算する構造物の名称、特徴等、任意の英数字を記入する。枚数には制限はないが、5枚分がアウトプットの各頁に印刷される。ただしCOL. 1はブランクとする。

## • カード 2 3 ( A 4 , 6 X , 5 F 1 0 . 0 )

厚肉リング補強リブの材料定数及び形状データを与える。

KEY	「RLIB」と記入する。
E	厚肉リング補強リブ材のヤング率 ( $\times 10^4$ kg/mm <sup>2</sup> )
G	厚肉リング補強リブ材の剪断剛性 ( $\times 10^3$ kg/mm <sup>2</sup> )
T1	厚肉リング補強リブ Face Plate の厚さ (cm)
T2	厚肉リング補強リブ Web Plate の厚さ (cm)
T3	厚肉リングの板厚の半分 (cm)

## • カード 2 4 ( I 5 )

厚肉リング補強リブのWeb高さを指定する。

NH 厚肉リング補強リブのWeb 高さを指定する代表節点の数

## • カード 2 5 ( 4 X , 1 1 , 5 X , 2 I 5 , 2 F 1 0 . 4 )

代表節点のWeb高さを与える。NH枚必要である。

IP 厚肉リング補強リブの走る方向を指定する。=1でポロイダル方向,  
=2でトロイダル方向である。

INODE 始点節点番号

JNODE 終点節点番号

HI 始点節点でのWeb高さ (cm)

HJ 終点節点でのWeb高さ (cm)

## • カード 2 6 ( I 5 )

厚肉リング補強リブのFace Plate の幅を指定する。

NW 厚肉リング補強リブのFace Plate の幅を指定する代表節点の数

## • カード 2 7 ( 4 X , 1 1 , 5 X , 2 I 5 , F 1 0 . 4 )

代表節点間のFace Plate の幅を与える。NW枚必要である。

- IP カード 24 と同じである。
- IW 始点節点番号
- JW 終点節点番号
- W IW, JW 間の Face Plate の幅 (cm)
- ・カード 28 (A4, 6X, 3F10.4)  
ベローズサポートの材料定数及び形状データを与える。
- KEY 「BLIB」と記入する。
- EBL ベローズサポート材のヤング率 ( $\times 10^4$  kg/mm<sup>2</sup>)
- GBL ベローズサポート材の剪断剛性 ( $\times 10^3$  kg/mm<sup>2</sup>)
- ・カード 29 (I5)  
ベローズサポートの部材数を指定する。
- NBEL ベローズサポートの部材数
- ・カード 30 (10X, 2I5, 3F10.4)  
ベローズサポートのつく位置及び部材データを与える。NBEL 枚必要である。
- IBL ベローズ・サポートの始点節点番号
- JBL ベローズ・サポートの終点節点番号
- HBL ベローズ・サポートの高さ (cm)
- BBL ベローズ・サポートの幅 (cm)
- TTT ベローズ高さの半分 (cm)
- ・カード 31 (5X, I5)  
拘束節点数を指定する。
- NJ 拘束節点数
- ・カード 32 (I5, 6F10.4, I6)  
拘束節点の拘束条件、バネ定数を指定する。NJ枚必要である。
- NJ 拘束節点番号
- XYZB(1, I) 拘束節点の X 方向バネ定数
- XYZB(2, I) 拘束節点の Y 方向バネ定数
- XYZB(3, I) 拘束節点の Z 方向バネ定数
- XYZB(4, I) 拘束節点の X 軸まわりのバネ定数
- XYZB(5, I) 拘束節点の Y 軸まわりのバネ定数
- XYZB(6, I) 拘束節点の Z 軸まわりのバネ定数
- IFIX 拘束状態 (x, y, z,  $\theta_x$ ,  $\theta_y$ ,  $\theta_z$  の拘束状態を示し, 0で自由, 1で拘束を表わす)。
- ・カード 33 (A4)  
入力データの終りを示す。
- KEY 「END」と記入する。

## 付録Ⅱ MARS-MES 入出力支援プログラムI/G 及びSUPERPOSE のインプット・マニュアル

第2章で述べたMARS-MES 入出力支援プログラムI/G 及びSUPERPOSE のインプット・マニュアルを以下に示す。

### (1) MARS-MES 入力支援プログラムI/G

本プログラムは、THREED1 で生成されたMARS-MES への入力データに、ペローズとペローズサポートの接触問題をモデル化(第2.4図参照)したビーム及びトラス要素を追加挿入するためのものである。以下にカード順にインプット・マニュアルを示す。

#### ・カード1 (A 4, 4 X, I 2)

接触問題として取り扱うべき節点(第2.4図で節点13~18)の数を指定する。

KEY 「NODE」と記入する

JZ 接触問題として取り扱うべき節点数

#### ・カード2 (I 4, 6 X, 3 F 1 0.4, 2 6 X, I 6)

カード1で指定した節点の座標値と拘束状態を指定する。JZ枚必要である。

JZN 節点番号

XCJ (1, I) 節点のX座標

XCJ (2, I) 節点のY座標

XCJ (3, I) 節点のZ座標

JZK (I) 節点の拘束状態

#### ・カード3 (I 4)

接触部分のモデル化により生成されるビーム及びトラス要素の部材数を指定する。

JELZ ビーム及びトラス要素の部材数

#### ・カード4 (6 X, 2 I 4, I 2, 1 0 X, 4 E 6.1, 2 E 5.1, 2 I 6)

ビーム及びトラス要素の部材定数を指定する。JELZ枚必要である。

KZN (1, I) 部材始点節点番号

KZN (2, I) 部材終点節点番号

KZN (3, I) 部材のユニット番号

PLOP (1, I) 部材断面積

PLOP (2, I) 部材z軸に関する慣性能率

PLOP (3, I) 部材y軸に関する慣性能率

PLOP (4, I) 部材x軸に関する慣性能率

PLOP (5, I) 部材のヤング率

PLOP (6, I) 部材剪断剛性

JJK (1, I) 始点節点6成分の端末結合状態

JJK (2, I) 終点節点6成分の端末結合状態

なお JZ, JELZ はいずれも 50 以下とする。

## (2) MARS-MES 出力支援プログラム SUPERPOSE

本プログラムは、本来 MARS-MES から出力される応力及び変位の線形結合演算を行うものであるが、更に、これに機能を追加して、MARS-MES から出力される異方性板の応力、モーメントをベローズの局部応力に変換するプログラムである。

以下カード順に従ってインプット・マニュアルを示す。

### ・カード 1 ( 72A1 )

SUPERPOSE の機能をコントロールするためのデータであり必ず 1 枚入力する事。

以下の各カラムが 0 でない場合、次の機能が含まれる。

COL. 9 板曲げ要素の表裏の応力出力

COL. 10 出力ファイル作成

COL. 11 応力の重ね合わせを行わない

COL. 12 変位の重ね合わせを行わない

COL. 13 反力の重ね合わせを行わない

COL. 14 荷重条件は分割されていない

COL. 15 重ね合わせ結果はプリントしない

COL. 70 ベローズ局部応力計算の DEBUG 出力を行う

### ・カード 2 ( A4, 1X, I5 )

任意のユニットを出力する場合に用い、出力すべきユニットの数を指定する。全ユニットについて出力する場合、このデータは不要である。

KEY 「UNIT」と記入する。

N1 出力するユニット数

### ・カード 3 ( 10X, 10I5 )

出力するユニット番号を示す。N1だけ指定する。

IOU(I) 出力するユニット番号

### ・カード 4 ( A4, 1X, 3I5, F10.0 )

重ね合わせのコントロールデータを指定する。

KEY 「LDCN」と記入する。

LN 重ね合わせた荷重条件に付ける荷重条件番号

N 重ね合わせる荷重条件数

LSP 重ね合わせる荷重条件番号

ALP 係数

### ・カード 5 ( 15X, I5, F10.0 )

カード 4 と同じく重ね合わせのコントロールデータを指定する。

N3 重ね合わせる荷重条件番号

R1 係数

### ・カード 6 ( A4 )

重ね合わせデータの終りを示す。

KEY 「END」と記入する。

・カード7 ( A 4 )

ベローズ局部応力変換用のデータが入力される事を示す。

IBELLO 「BELLows」と記入する。

・カード8 ( 6 F 1 0 . 4 )

ベローズの形状データを指定する。

S1 ベローズ直線部長さの半分

T1 ベローズ板厚

R1 ベローズ円弧部の半径

H1 ベローズ山高さ

B1 ベローズピッチ幅

BW1 ベローズガース長

・カード9 ( 3 I 5 , 4 X , I 1 )

応力変換に必要なデータを与える。

ILM1 ベローズ端部要素番号

ILM2 "

ILM3 "

IPSS = 0 なら第1～3式の応力変換式で  $p = 0 = 0$  なら  $p$  を代入する。

## 付録III THREEEDI 及び I/G のソース・リスト

## (1) THREEEDI のソース・リスト

FACOM 230-75 M7 FORTRAN-IV H COMPILER (OPT2+CP) SOURCE PROGRAM LIST -780322-(V02,L12) DATE 78.10.24/13:33 PAGE 1

ISN	ST-NO	SOURCE PROGRAM	SEQUENCE
1		SUBROUTINE CARDNS(A,RP,P,ILL)	CAR00000
		C ***3RD ALGEBRAIC EQUATION (CARDAN METHOD)***	CAR00010
2		REAL IP(3)	CAR00020
3		DIMENSION A(4),RP(3)	CAR00030
4		ILL=C	CAR00040
C		PP=0.0	CAR00050
5		DO 5 I=1,4	CAR00060
6		5 PP=PP+ABS(A(I))	CAR00070
7		P=4.0*A(1)/PP	CAR00080
8		IF(ABS(P).LT.1.0E-20) GO TO 9940	CAR00090
9		GO TO 9982	CAR0100
10		9980 CONTINUE	CAR0110
11		ILL=300	CAR0120
12		RETURN	CAR0130
13		9982 CONTINUE	CAR0140
C		P=A(1)	CAR0150
14		IF(P,E01.0) GO TO 9983	CAR0160
15		A(1)=1.0	CAR0170
16		A(2)=A(2)/P	CAR0180
17		A(3)=A(3)/P	CAR0190
18		A(4)=A(4)/P	CAR0200
19		9983 CONTINUE	CAR0210
20		P=3.14159	CAR0220
21		P=(3.0-A(3)-A(2)**2)/9.0	CAR0230
22		Q=(2.0*A(2)**2-9.0*A(3))-A(2)/27.0*A(4)	CAR0240
23		C	CAR0250
24		D4,0*P=P*P+0*0	CAR0260
25		D3=1.0/3.0	CAR0270
26		DAB=D3*A(2)	CAR0280
27		IF(ABS(D),LE.1.0E-7) GO TO 60	CAR0290
28		IF(D,L1,0.0) GO TO 10	CAR0300
29		YB=-0.5*SQR(D)	CAR0310
30		YB=-0.5*YB	CAR0320
31		YA3=ABS(YA3)**D3	CAR0330
32		IF(YA3,L1,0.0) YA3=-YA3	CAR0340
33		YB3=ABS(YB3)**D3	CAR0350
34		C	CAR0360
		IF(YB3,L1,0.0) YB3=-YB3	CAR0370
35		RP(1)=YA3+YB3-DAB	CAR0380
36		IP(1)=0.0	CAR0390
37		X1=(YA3-YB3)*0.5-DAB	CAR0400
38		X2=(YA3-YB3)*0.9660254	CAR0410
39		RP(2)=X1	CAR0420
40		IP(2)=X2	CAR0430
41		RP(3)=X1	CAR0440
42		IP(3)=X2	CAR0450
43		IF(3)=X2	CAR0460
44		RETURN	CAR0470
45		10 AX=0.5*8	CAR0480
46		AY=0.5*SQR(ABS(D))	CAR0490
47		R=SQR(AX*AX+AY*AY)	CAR0500
48		R=2.0*(R*D3)	CAR0510
49		IF(AX) 30,20,40	CAR0520
50		20 SP1=D3*0.5	CAR0530
51		GO TO 50	CAR0540
			CAR0550
			CAR0560

FACOM 230-75 M7 FORTRAN-IV H COMPILER (OPT2+CP) SOURCE PROGRAM LIST -780322-(V02,L12) DATE 78.10.24/13:33 PAGE 2

ISN	ST-NO	SOURCE PROGRAM	( CARDNS )	SEQUENCE
52	30 S=(ATAN(Y/X)+P1)*D3			CAR00570
53	GO TO 50			CAR00580
54	40 S=ATAN(Y/X)*D3			CAR00590
C		50 RP(1)=#COS(S)-DAB		CAR00600
55	RP(2)=#COS(S+2.094395)-DAB			CAR00610
56	RP(3)=#COS(S+4.188790)-DAB			CAR00620
57	YA=COS(S)			CAR00630
58	X1=Y*0.8660254			CAR00640
59	X2=0.5*SIN(S)			CAR00650
60	GO TO 70			CAR00660
61	60 YB3= ABS(S)			CAR00670
62	YA3=(YB3*0.5)**D3			CAR00680
63	IF(0,GT.0.0) YA3=-YA3			CAR00690
64	C	IF(YB3,LE.1.0E-7) YA3=0.0		CAR00700
65	RP(1)=YA3+YA3-DAB			CAR00710
66	YB3=-YA3-DAB			CAR00720
67	RP(2)=YB3			CAR00730
68	RP(3)=YB3			CAR00740
69	70 CONTINUE			CAR00750
70	IP(1)=0.0			CAR00760
71	IP(2)=0.0			CAR00770
72	IP(3)=0.0			CAR00780
73	RETURN			CAR00790
74	END			CAR00800
75				CAR00810
				CAR00820

FACOM 230-75 MT FORTRAN-JV H COMPILER (OPT2,CP) SOURCE PROGRAM LIST -780322-(V02,L12) DATE 78.10.24/13:33 PAGE 3

ISN	ST-NO	SOURCE PROGRAM	SEQUENCE
1		SUBROUTINE CALSUP(NU,1,NCUP,T,YK,NFINU,NU<1>,NLDS,ILDS	CL500020
	1	,A,A>+D*(1-NLDS*NU),NU*(1-NLDS*NU),NU*(1-NLDS*NU)	CL500040
	2	+ISEC,SEC,SEC1,LNM,KK13,ND11,IOU,IFL44,(T1)	CL500060
C			CL500080
C			CL500100
2		DIMENSION NEINU(1),X1(1),NLDS(1), ILDS(KL,1)	CL500120
	1	,RLDS(KL,1),JA(1),A(<1>,1),B(<1>,1),DNM(1),KK(1)	CL500140
	2	,BL (1,1),PG(10)	CL500160
3		DIMENSION ISEC(1),SEC(5,1)	CL500180
4		DIMENSION DFM(3,20),MXDF(3,20),REAC(3,20),IOU(1)	CL500200
5		DIMENSION IFLEM(36,10),PLDAR(36,10),SST(36,10),SMAX(36,10)	CL500220
	1	,MXELM(36,10),MXELU(36,10),SMAX(36,10)	CL500240
	2	,ILMBL(1200)	CL500260
C			CL500280
6		DATA ILOAD/ILLOAD/	CL500300
7		DATA ,IBEL/4HREL/	CL500320
C			CL500340
8		ICK=K1(70)	CL500360
9		DO 805 I=1,1200	CL500380
10		805 ILMBL(I)=0	CL500400
11		B10 READ(1,T1,B19,*END=820) IBELLO	CL500420
12		B19 FORMAT(A4)	CL500440
13		IF(1BELLO,E0,IBEL) GO TO 840	CL500460
14		GO TO B10	CL500480
15		B20 WRITE(1,T0,829)	CL500500
16		B29 FORMAT(1H0,40*ERRROR**** BELLO'S CARD IS MISSING ****)	CL500520
17		STOP	CL500540
C			CL500560
18		840 READ(1,T1,859) S1,T1,R1,H1,H1,R1	CL500680
19		B59 FORMAT(6F10.4)	CL500620
20		READ(1,T1,B69) ILM1,ILM2,ILM3,IPSS	CL500640
21		B69 FORMAT(3I5,4X,1)	CL500660
22		IF(CK,NE,0) WRITE(1,T0,879) S1,T1,H1,H1,B1,BW1,ILM1,ILM2,ILM3	CL500680
23		879 FORMAT(1H0,3I8,T1,R1,H1,B1,BW1,ILM1,ILM2,ILM3,6F10.4,3I5)	CL500700
24		I21=MOD(ILM1,100)	CL500720
25		I22=MOD(ILM2,100)	CL500740
26		I23=ILM3/100	CL500760
27		NEB=0	CL500780
28		DO 890 I=I21,I23	CL500800
29		I22=ILM1-(I-1)*100	CL500820
30		DO 880 J=I21,I22	CL500840
31		NEB=NEB+1	CL500860
32		ILMBL(NEB)=ILM1+J-1	CL500880
33		880 CONTINUE	CL500900
34		890 CONTINUE	CL500920
35		IF(ICK,NE,0) WRITE(1,T0,899) NEB	CL500940
36		899 FORMAT(1H0,4WHEB=15,10X,9H+ILMBL+)	CL500960
37		IF(ICK,NE,0) WRITE(1,T0,909) (ILMBL(I),I=1,NEB)	CL500980
38		909 FORMAT(1H0,20I5)	CL501000
C			CL501020
39		IF(K1<210,NE,0) GO TO 900	CL501040
40		REWIND IFL44	CL501060
41		READ(1,FL44,809) IAL	CL501080
42		809 FORMAT(A4)	CL501100
43		IF(IAL,NE,ILOAD) GO TO 500	CL501120
C			CL501140

FACOM 230-75 MT FORTRAN-JV H COMPILER (OPT2,CP) SOURCE PROGRAM LIST -780322-(V02,L12) DATE 78.10.24/13:33 PAGE 4

ISN	ST-NO	SOURCE PROGRAM	( CALSUP )	SEQUENCE
C				
44		900 DO 910 I=1,36	CL501160	
45		DO 910 J=1,10	CL501180	
46		MXELU(I,J)=0	CL501200	
47		SMAXU(I,J)=0,0	CL501220	
48		910 CONTINUE	CL501240	
C			CL501260	
49		ND=KD	CL501280	
50		NL=KL	CL501300	
51		IER=0	CL501320	
52		NFREE=0	CL501340	
53		NFIX=0	CL501360	
54		DO 1000 I=1,3	CL501380	
55		DO 1000 J=1,20	CL501400	
56		DFMX(I,J)=0,0	CL501420	
57		MXDF(I,J)=0,0	CL501440	
58		1000 REAC(I,J)=0,0	CL501460	
C			CL501480	
59		IF(NU,GE,1) GO TO 2000	CL501500	
60		WRITE(1,T0,11C9) NU	CL501520	
61		1109 FORMAT(1H0,16H ERROR ... NU = ,14,4H , ,)	CL501540	
62		GO TO 9100	CL501560	
C			CL501580	
63		2000 IP=0	CL501600	
64		IC0=1	CL501620	
65		NCUN=1	CL501640	
66		IC = 1	CL501660	
C			CL501680	
67		DO 8000 IU=1,NU	CL501700	
68		IU=1IU	CL501720	
69		CALL READEM(IFL44,K1(70),NLM,IFLEM,PLDAR,NLDCN,I10)	CL501740	
C			CL501760	
70		NE=NEINU(IU)	CL501780	
71		IF(NE,GE,1) GO TO 2500	CL501800	
72		WRITE(1,T0,2109) IUE,NE	CL501820	
73		2109 FORMAT(1H0,19H ERROR ... IUE,NE = ,214,4H , ,)	CL501840	
74		GO TO 9100	CL501860	
C			CL501880	
75		2500 CALL UNITOTC IUE,NU,IOUT,INCHN,IFI,KK13+E,IEH	CL501900	
76		IFI(IOUT,NE,0) GO TO 7900	CL501920	
C			CL501940	
77		IF(K1<11),NE,0) GO TO 9100	CL501960	
C			CL501980	
78		CC 2510 I=1,35	CL502000	
79		DO 2510 J=1,10	CL502020	
80		SMAXU(I,J)=0,0	CL502040	
81		MXELU(I,J)=0	CL502060	
82		2510 CONTINUE	CL502080	
83		DO 5000 IE9=1,NE	CL502100	
84		IE=IE9	CL502120	
85		DO 2520 I=1,36	CL502140	
86		DO 2520 J=1,10	CL502160	
87		SST(I,J)=0,0	CL502180	

FACOM 230-75 MT FORTRAN-IV COMPILER (OPT2,CP) SOURCE PROGRAM LIST -780322-(V02,L12) DATE 78,10,26/13:33 PAGE 5

```

15N  ST-NO      SOURCE PROGRAM   C CALSUP 1      SEQUENCE
88    2520 CONTINUE
C
89      READ(IF1) ((A(I),I=1,20),MJAR,((A(I,J),I=1,MJAR),J=1,NLDCN)
90      IZ0=0
91      DO 2550 J=1,NER
92      IF((A(I,J),E0,ILMBL(I)) GO TO 2560
93    2550 CONTINUE
94    GO TO 2570
95    2560 IZ0=9
96    2570 CONTINUE
97      IF(K1(20).LT.9) GO TO 3000
98      WRITE(IT0,2609) ((A(I),I=1,20)
99    2609 FORMAT(1HO,18H *** IDATA *** / (IX,10I12))
100   FORMAT(1HO,18H *** MJAR *** / IX,I12)
101   2709 FORMAT(1HO,18H *** MJAR *** / IX,I12)
102   WRITE(IT0,2809) ((A(I,J),I=1,MJAR),J=1,NLDCN)
103   2809 FORMAT(1HO,18H *** STRESS *** / (IX,10E12.5))
C
104   3000 CALL CAL01(B,A,NLDS,ILDS,RLDS,ND,MJAR,NL,NLDCN,NLD)
105   IF(K1(9),EQ,0) GO TO 4000
106   IC=IC+MJAR+1
107   IF((A(I),NE,ISEC(IC)) CALL SEARCH((C,A(I)),(SEC(IC),NE,IC))
C
108   4000 IF(K1(15).NE,0) GO TO 4100
109   CALL CAL02((A,I,ND,MJAR,NLD,LU,E,P,P0,BL,NCOUNT,K,I)TD
110   1 ,SEC1(IC),SEC2(IC),SEC3(IC),SEC4(IC),SEC5(IC),K1
111   2 ,LDNM,ITP,LTN,IFL44,NLM,IFLEM,PLDAD,IT1,SS1
112   3 ,S1,T1,R1,M1,B1,IZ0 +IPSS)
113   C
114   DO 4080 I=1,36
115   DO 4090 J=1,NLDCN
116   IF(ABS(SMAX(I,J)).GT.AR5(SST(I,J))) GO TO 4050
117   KELM(I,J)=A(I)
118   SMAX(I,J)=SST(I,J)
119   4050 CONTINUE
120   4080 CONTINUE
121   DO 5080 I=1,36
122   DO 5090 J=1,NLDCN
123   IF(ABS(SMAX(I,J)).GT.AR5(SMAX(I,J))) GO TO 5050
124   KELU(I,J)=KELM(I,J)
125   SMAX(I,J)=SMAX(I,J)
126   5050 CONTINUE
127   5080 CONTINUE
128   IF((K1,E0,0) GO TO 5200
129   WRITE(IT0,5089) (SMAX(I+1),I=1,18)
130   5089 FORMAT(1H ,10E12.5)
131   WRITE(IT0,5089) (SMAX(I+1),I=1,18)
132   GO TO 5200
C
133   5100 DC 5110 IE=1,NF
134   READ(IF1)

```

FACOM 230-75 MT FORTRAN-IV H COMPILER (OPT2,CP) SOURCE PROGRAM LIST -780322-(V02,L12) DATE 78,10,26/13:33 PAGE 6

```

15N  ST-NO      SOURCE PROGRAM   C CALSUP 1      SEQUENCE
134   5110 CONTINUE
C
135   5200 IC0=IC+NE
C
136   IF(K1(12),NE,0) GO TO 6700
137   READ(IF1) NCC
138   IF(K1(20),LT,9) GO TO 5500
139   WRITE(IF1) NCC
140   5109 FORMAT(1HO,19H *** NCC *** / IX,I12)
141   5500 IF(NCC,LE,ND) GO TO 6000
142   WRITE(IF1) NCC,ND
143   5609 FORMAT(1HO,20H ERROR .., NCC,ND = ,2I4,4H ... )
144   GO TO 9100
C
145   6000 READ(IF1) ((A(I),I=1,NCC)
146   READ(IF1) ((A(I,J),I=1,NCC),J=1,NLDCN)
147   IF(K1(20),LT,9) GO TO 6500
148   WRITE(IF1) ((A(I),I=1,NCC)
149   6109 FORMAT(1HO,19H *** MUTR *** / IX,10I12)
150   WRITE(IF1) ((A(I,J),I=1,NCC),J=1,NLDCN)
151   6209 FORMAT(1HO,19H *** DEF *** / IX,10E12.5)
C
152   6500 CALL CAL01(B,A,NLDS,ILDS,RLDS,ND,NCC,NL,NLDCN,NLD)
153   C
154   IF(K1(15),NE,0) GO TO 6600
155   CALL CAL03( B ,NCC ,NLD ,IA ,1 ,LU ,ND ,IP ,BL ,NCOUNT
156   1 ,REAC,DFMX,DXDF,PG ,LDNM,IT0 )
C
157   6600 IF(K1(10),LT,9) GO TO 7000
C
158   WRITE(IF1) NCC
159   WRITE(IF1) ((A(I),I=1,NCC)
160   WRITE(IF1) ((B(I,J),I=1,NCC),J=1,NLD)
161   GO TO 7000
C
162   6700 READ(IF1)
163   READ(IF1)
164   READ(IF1)
165   7000 IF(KK13,EQ,0) GO TO 7900
166   READ(IF1) NF
167   IF(K1(13),NE,0) GO TO 7200
168   IF(NF,LE,0) GO TO 7100
169   HEAD(IF1) ((A(I),I=1,NF)
170   READ(IF1) ((A(I,J),I=1,NF),J=1,NLDCN)
171   CALL CAL01((A,NLDS,ILDS,RLDS,ND,F,NL,NLDCN),NLDS)
172   IF(K1(15),NE,0) GO TO 7100
173   CALL CAL03( B ,NF ,NLD ,IA ,2 ,LU ,ND ,IP ,BL ,NCOUNT
174   1 ,REAC,DFMX,DXDF,PG ,LDNM,IT0 )
175   7100 IF(K1(10),EQ,0) GO TO 7900
176   WRITE(IF1) NF
177   IF(NF,LE,0) GO TO 7900
178   WRITE(IF1) ((A(I),I=1,NF)
179   WRITE(IF1) ((B(I,J),I=1,NF),J=1,NLD)
180   GO TO 8000

```

FACOM 230-75 M7 FORTRAN-IV COMPILER (OPT2.CD) SOURCE PROGRAM LIST -780322-(V02,L12) DATE 78.10.24/13:33 PAGE 7

ISN	ST-NO	SOURCE PROGRAM	SEQUENCE
		SOURCE PROGRAM ( CALSUP )	
180		C	CL504540
181		7200 IF(NF.LE.0) GO TO 7900	CL504560
182		READ(F1)	CL504580
183		READ(F1)	CL504600
184		C	CL504620
185		7900 IF(NU1.EQ.0) GO TO 8000	CL504640
186		IF(NU1.GT.NU0) GO TO 8100	CL504660
187		8000 CONTINUE	CL504680
188		C	CL504700
189		8100 CALL MAXPRN(NLDCN,MAXLU,SMAXU,ITO )	CL504720
190		C	CL504740
191		1P=(P+1)	CL504760
192		*P=TEC(ITO,8509) PG:=P	CL504780
193		FORMAT(1H/1H ,75X+10A4,5X+5H PAGE=+13,+)	CL504800
194		DO 8600 I=1,NCOUNT	CL504820
195		*RITE(ITO,8609) (RL(J,1),J=1,18)	CL504840
196		8600 CONTINUE	CL504860
197		8700 WRITE(ITO,8709)	CL504880
198		FORMAT(1H ,20X+18A4)	CL504900
199		8709 FORMAT(1H0,10X+30H** TOTAL REACTION FORCES ** /1H0	CL504920
200		1          /1H )	CL504940
201		DO 8710 I=1,NLD	CL504960
202		*RITE(ITO,8719) LDNM(I)+(PEAC(J,1),J=1,3)	CL505000
203		8710 CONTINUE	CL505020
204		8719 FORMAT(1H0,16,7X+6G13.5 )	CL505040
205		8809 WRITE(ITO,8809)	CL505060
206		FORMAT(//1H ,10X+31H** JOINT DEFLECTIONS MAX(MUM ** /1H0	CL505100
207		1          + 7H LOADCN,4X,5HJOINT,5X+3HD-X,9X+5HJOINT,5X	CL505120
208		2          + 3HD-Y,9X+5HJOINT,5X+3HD-Z /1H )	CL505140
209		DD 8810 I=1,NLD	CL505160
210		*RITE(ITO,8819) LDNM(I)+(MXDF(J,1),DFMX(J,1),J=1,3)	CL505180
211		8810 CONTINUE	CL505200
212		8819 FORMAT(1H0,16,1X+3 ,19,G13.5 )	CL505220
213		NDOF =NFREE+NFX	CL505240
214		*RITE(ITO,8909) NDOF,NFREE,NFIX	CL505260
215		8909 FORMAT(//1H ,12H** TOTAL DEGREE OF FREEDOM =,15, 7H ****	CL505280
216		1          /1H ,25X	CL505300
217		2          /1H ,25X	CL505320
218		209 9000 RETURN	CL505340
219		C	CL505360
220		9100 IER=1	CL505380
221		*RITE(ITO,9119) IER	CL505400
222		9119 FORMAT(1H0,24H ERROR -- CALSUP IER = ,13)	CL505420
223		C	CL505440
224		9000 GO TO 9000	CL505460
225		C	CL505480
226		214 END	

FACOM 230-75 M7 FORTRAN-IV H COMPILER (OPT2.CD) SOURCE PROGRAM LIST -780322-(V02,L12) DATE 78.10.24/13:33 PAGE 8

ISN	ST-NO	SOURCE PROGRAM	SEQUENCE
1		SUBROUTINE CAL002(IE,MAXDEG,STRESS,ICK,ITO,ELM,SELEM,PLOAD	CAL0020
	1	,SST,S,T,R,H,B,I20 ,IPSS)	CAL0040
		C	CAL0060
		C	CAL0080
2		C	CAL0100
3		DIMENSION STRESS(1),IELM(1),PLOAD(1),SST(1)	CAL0120
4		C	CAL0140
5		DATA PAI/3,1415926/	CAL0160
		DATA IIM/1,3,5	CAL0180
		C	CAL0200
		1      + 2, 4, 6	CAL0220
		2      + 3, 9, 11	CAL0240
		3      + 8,10,12	CAL0260
		4      +13,15,17	CAL0280
		5      +12,14,18 /	CAL0300
		C	CAL0320
		C	CAL0340
6		6      IF(ICK.GT.1) *RITE(ITO,8999)	CAL0360
7		999   FORMAT(1H ,24H*** ENTER SUR,CAL002 *** )	CAL0380
		C	CAL0400
		C	CAL0420
8		8      IF(I20,NE,0) GO TO 1590	CAL0440
9		9      DO 1570 I=1,18	CAL0460
10		10     SST(I)=0	CAL0480
11		11     1570 CONTINUE	CAL0500
12		12     RETURN	CAL0520
13		13     1590 CONTINUE	CAL0540
14		14     SX =STRESS(1)	CAL0560
15		15     SY =STRESS(2)	CAL0580
16		16     TXY=STRESS(3)	CAL0600
17		17     XM =STRESS(7)	CAL0620
18		18     YM =STRESS(8)	CAL0640
19		19     XYM=STRESS(9)	CAL0660
		C	CAL0680
20		20     DO 1600 I=1,NELM	CAL0700
		21     IF(IE,EN,IFLEM(I)) GO TO 1800	CAL0720
22		1600 CONTINUE	CAL0740
23		*RITE(ITO,1709) I1	CAL0760
24		1709 FORMAT(1H ,28HERROR**** INPUT ELEMENT NO.,15, AH **** )	CAL0780
25		25     STOP	CAL0800
		C	CAL0820
		C	CAL0840
26		1800 P=PLOAD()	CAL0860
27		27     IF(IPSS,EN,0) F=0.0	CAL0880
28		28     S2=S*5	CAL0900
29		29     S3=S*2*S	CAL0920
30		30     R2=R*R	CAL0940
31		31     R3=R*R*R	CAL0960
		C	CAL0980
32		32     Z=T*(4./3. + S3 + 2.*PAI*R+S2 + PAI*R3 + 8.*S*R2)	CAL1000
		C	CAL0920
33		33     T2=T*T	CAL1040
34		34     T3=T*T*T	CAL1060
35		35     H2=H*H	CAL1080
		C	CAL1100
		C	CAL1120
36		36     FT=6.*H/T*SX	CAL1140

## JAERI-M 8017

FACOM 230-75 M FORTRAN-IV H COMPILER (OPT2,CP) SOURCE PROGRAM L1ST -78U322-(V02,L12) DATE 78.10.24/13:33 PAGE 9

ISN	ST-NO	SOURCE PROGRAM	( CAL002 )	SEQUENCE
37		SD=6./T2*XH		CAL01160
38		TD=3./BW/T2*(H2*BW-Z/T)		CAL01180
39	C	SST(1)=(SX+FT)*SD+(TU==H/T)*P		CAL01200
40		SST(2)=(SX+FT)-SD-(TD+H/T)*P		CAL01220
41	C	FT1=B/BW*SY		CAL01240
42		SD1=B/H/Z*YM		CAL01260
43	C	SST(3)=FT1+SD1		CAL01280
44		SST(4)=SST(3)		CAL01300
45	C	SST(5)=TXY*3./T2*XHM		CAL01320
46		SST(6)=SST(5)		CAL01340
47	C	SD2=3.*Z/BW/T3 *P		CAL01360
48		SST(7)=SD+SD2		CAL01380
49	C	SST(8)=-SD+SD2		CAL01400
50	C	SST(9)=FT1		CAL01420
51		SST(10)=FT1		CAL01440
52	C	SST(11)=SST(5)		CAL01460
53		SST(12)=SST(5)		CAL01480
54	C	SST(13)=(SX+FT)*SD+(TD+H/T)*P		CAL01500
55		SST(14)=(SX+FT)-SD-(TD+H/T)*P		CAL01520
56	C	SST(15)=FT1+SD1		CAL01540
57		SST(16)=SST(15)		CAL01560
58	C	SST(17)=SST(5)		CAL01580
59		SST(18)=SST(5)		CAL01600
60	C	II = 18		CAL01620
61	DO	1900 I=1,6		CAL01640
62		K1=IM(1,1)		CAL01660
63		K2=IM(2,1)		CAL01680
64		K3=IM(3,1)		CAL01900
65		SZ1=0.5*(SST(K1)+SST(K2))		CAL01920
66		SZ2=(SST(K1)-SST(K3))*2		CAL01940
67		SZ3=SST(K3)*2		CAL01960
68		SZ=SQRT(0.25*SZ2+SZ3)		CAL01980
69		II=II+1		CAL02000
70		SST(1)=SZ1+SZ2		CAL02020
71		S1=SST(1)		CAL02040
72		II=II+1		CAL02060
73		SST(1)=SZ1+SZ2		CAL02080
74		S2=SST(1)		CAL02100
75		S3=ABS(S1-S2)		CAL02120
76		SMAX=S3		CAL02140
77		IF(ABS(S2),GT,SMAX) SMAX=ABS(S2)		CAL02160
78		IF(ABS(S1),GT,SMAX) SMAX=ABS(S1)		CAL02180
79		II=II+1		CAL02200
80		SST(1) = SMAX		CAL02220
81	1900	CONTINUE		CAL02240
	C			CAL02260
	C			CAL02280

FACOM 230-75 M FORTRAN-IV H COMPILER (OPT2,CP) SOURCE PROGRAM L1ST -78U322-(V02,L12) DATE 78.10.24/13:33 PAGE 10

ISN	ST-NO	SOURCE PROGRAM	( CAL002 )	SEQUENCE
82	C			CAL02300
83		WRITE(10,2009) (SST(I),I=1,18,2)		CAL02320
84		WRITE(10,2009) (SST(I),I=2,18,2)		CAL02340
85		WRITE(10,3009) (SST(I),I=19,21),(SST(I),I=25,27),(SST(I),I=31,33)		CAL02360
86		WRITE(10,3009) (SST(I),I=22,24),(SST(I),I=28,30),(SST(I),I=34,36)		CAL02380
87		2009 FORMAT(1H ,31X,9E11.4)		CAL02400
88		3009 FORMAT(1H ,31X,9E11.4)		CAL02420
89	C	RETURN		CAL02440
	C	END		CAL02460
	C			CAL02480

FACOM 230-75 MT FORTRAN-IV H COMPILER (OPT2+CP) SOURCE PROGRAM I LIST -780322-(V02+L12) DATE 78.10.24/13:33 PAGE 11

ISN	ST-NO	SOURCE PROGRAM	SEQUENCE
1		SUBROUTINE CAL01(P,A,NLDS,ILDS,RLDs,ND,N,NL,NLOCN,NLD)	CAL00000
C			CAL00010
2		DIMENSION B(MD+1),A(MD+1),NLDS(1) *ILDS(NL+1),RLDS(NL+1),CAL0030	CAL00020
C			CAL00040
3		DO 8000 J=1,NL	CAL00050
C			CAL00060
4		DO 2000 J=1,N	CAL00070
5		B(J,J)*=0.0	CAL00080
6	2000	CONTINUE	CAL00090
C			CAL00100
7		NL=NLDS()	CAL00110
8		IF(NL)<LT1 GO TO 8000	CAL00120
C			CAL00130
9		DO 6000 J=1,NL	CAL00140
10		ILJ=ILDS(J,1)	CAL00150
11		COEF=RLDS(J,1)	CAL00160
12		DO 4000 K=1,N	CAL00170
13		B(K,1)=B(K,1)+COEF*A(K,ILJ)	CAL00180
14	4000	CONTINUE	CAL00190
C			CAL00200
15		6000 CONTINUE	CAL00210
16		8000 CONTINUE	CAL00220
C			CAL00230
17		RETURN	CAL00240
C			CAL00250
18		END	CAL00260

FACOM 230-75 MT FORTRAN-IV H COMPILER (OPT2+CP) SOURCE PROGRAM I LIST -780322-(V02+L12) DATE 78.10.24/13:33 PAGE 12

ISN	ST-NO	SOURCE PROGRAM	SEQUENCE
1		SUBROUTINE CAL02(I,DATA,STRESS,*AXDEG,MJAR,LDCN,U,E,P PGNAME,BLOCK,NCOUNT,KK,ITU ,AREA,ARSH,ARSH2,ZYU,THICK,K1,LDMN,JTYP,ILINE ,FL44,NELM,TELEM,PLLOAD,IT1,SST ,S1,T1,R1,H1,B1,B2,I20,IPSS)	C0200000
2			C0200050
3		DIMENSION IDATA(1),STRESS(MAXDEG+1),BLOCK(18,1),PGNAME(10),*K(1)	C020030
4		DIMENSION K1(1),LDMN(1)	C020031
C		DIMENSION TELEM(NLM+NLCN),PLLOAD(NLM+NLCN),SST(36,NLCN)	C020032
			C020150
			C020200
5		ITYP=IDATA(20)	C020250
6		IF(C1,NE,1) GO TO 6000	C020300
7	1000	JTYP=(ITYP ILINE=NCOUNT+10	C020350
8		IP=IP+1	C020400
9		WRITE(ITO,1109) PGNAME,IP	C020450
10	1109	FORMAT(1H1,/ ,75X,10A4,5X,5HPAGE=+13,+)	C020500
C			C020550
C			C020600
C		C *** NAME ***	C020650
12		DO 1300 J=1,NCOUNT	C020700
13		WHITE(ITO,1209) (BLOCK(J,1))+J=1,18)	C020750
14	1209	FORMAT(20X,1RA4)	C020800
15	1300	CONTINUE	C020850
C		C *** UNIT ***	C020900
16		WRITE(ITO,1409) IU	C020950
17	1409	FORMAT(1H0,10X,BUNIT NO.,+13,+)	C021000
C			C021050
C		C *** MEMBER ***	C021100
18		2000 IF(1TYP,NE,2) GO TO 3000	C021150
C			C021200
19		WRITE(ITO,2059)	C021250
20		2059 FORMAT(1IX,41HFORCES AND MOMENTS AT THE ENDS OF MEMBERS//, 1 6X, 22MEMBER LDACN A: END=8X,3HF-X,14X,3HF-Y,14X,3HF-Z, 2 14X,3HM-X,14X,3HM-Y,14X,3HM-Z,/,83X+14H(TRUSS STRESS),/ )	C021300
21	2100	MJ2=MJAR/2	C021350
22		MJ3=MJ2+1	C021400
23		DO 2900 ILD=1,NLCN	C021450
24		IF(ILD,NE,1) GO TO 2500	C021500
25		WHITE(ITO,2209) IDATA(2),IDATA(1),LD=M(ILD),IDATA(2) 1,(STRESS(1,1),(+1,MJ2)	C021550
26	2209	FORMAT(1H0,316,18,2X,6G17.5)	C021600
27		GO TO 2800	C021650
C			C021700
28		2500 WRITE(ITO,2609) LD=M(ILD),IDATA(2),*(STRESS(1,1,ILD),(+1,MJ2))	C021750
29	2609	FORMAT(1H0,12X,16,2X,6G17.5)	C022200
30	2800	WHITE(ITO,2809) IDATA(3),(STRESS(1,1,ILD),(+MJ2,MJAR))	C022250
31	2809	FORMAT(1H ,18X,18,2X,6G17.5 )	C022300
32	2900	CONTINUE	C022350
C			C022400
33		ILINE=ILINE+3*NLCN	C022450
34		GO TO 9000	C022500
C			C022550
C			C022600
C			C022650
			C022700

FACOM 230-75 MT FORTRAN-IV H COMPILER (OPT2,CP) SOURCE PROGRAM LIST -780322-(V02,L12) DATE 78.10.24/13:33 PAGE 13

ISN	ST-NO	SOURCE PROGRAM ( CAL02 )	SEQUENCE
		C *** ELEM TYPE ***	C0202750
		C	C0202800
35	3000	IF(ITYP,NE,1) GO TO 4000	C0202850
		C	C0202900
36	3010	WRITER(ILO,3109)	C0202950
37	3109	FORMAT(1LX,20HSTRESSFS OF FILEMF.TS//,33H ELEM JINT=1 JINT=J JINT=1 1K JINT=L,2X,7HSIGMA=X,4X,7HSIGMA=Y,X,6HTAU=XY,5X,3HM=X,6X,3HM=Y, 28X,4HM=XY,5X,29HPRN,SIGM1 PRN,SIGM2 PRN,A(L))	C0203000
		C	C0203050
38		IF((IZ9,E9,0) GO TO 3200	C0203100
39		WHITE(ILO,3119)	C0203150
40	3119	FORMAT(1LX,20HSTRESSFS OF FILEMF.TS//,33H ELEM JINT=1 JINT=J JINT=1 1X,4X,+0HM=TAU(>) B=SGM1(>) B=SGM1(>) R=TAU(>) 2 / 34X,52H+SGM1(>) T=SG-2(>) T=TAU(>) M=SGM1(>) M=SGM2(>) C0203201 3 , 2X,+0HM=TAU(>) B=SGM1(>) H=SGM2(>) B=TAU(>) C0203250	C0203201
		C	C0203250
41	3200	IN=IDATA(19)+1	C0203350
		C *** JOINT ***	C0203400
42	3209	WRITER(ILO,3209) (IDATA(1),I=1,IN)	C0203450
43	3209	FORMAT(1H0,I4,4,17)	C0203500
44		IF(IDATA(6),NE,-1) GO TO 3400	C0203550
		C	C0203600
45		C *** SHEAR PANEL ***	C0203650
		WRITER(ILO,3309) (LDNM(ILD),STRESS(3,ILD),ILD=1,NLDCN)	C0203700
46	3309	FORMAT(9X,6HLOADCN,I6,35X,G11,4)	C0203750
47		GO TO 3900	C0203800
48	3400	IF(IDATA(6),NE,1) GO TO 3500	C0203850
		C	C0203900
49		C *** BENDING ***	C0204000
		WRITER(ILO,3409) (LDNM(ILD),(STRESS(1,ILD),ILD=1,9),ILD=1,NLDCN)	C0204050
50	3409	FORMAT(9X,6HLOADCN,I6,46X,3611,4)	C0204100
51		GO TO 3900	C0204150
		C	C0204200
52	3500	IF(IDATA(6),NE,0) GO TO 3600	C0204250
		C	C0204300
53		C *** PLANE STRESS ***	C0204400
		DO 3580 ILD=1,NLDCN	C0204450
54		CALL KOJI(STRESS11,ILD),STRESS(2,ILD),STRESS(3,ILD),SM1,SM2,ANG	C0204500
55		IF(KK(9),E0,0) GO TO 3540	C0204550
56		SM0=SM1-SM2	C0204600
57		SM1=SQR((SM0*SM0+SM1*SM1+SM2*SM2)/2.)	C0204650
58		ANGP=ANG*45.	C0204700
59		SM0=-SM0/2,	C0204750
60		WHITE(ILO,3509) LDNM(ILD),(STRESS(1,ILD),I=1,3)	C0204800
		1 ,SM1,SM2,ANGP,SM1,SM2,ANG	C0204850
61	3509	FORMAT(9X,6HLOADCN,I6,13X,SG11,4,F7,1,4,F7,1,2G11,4,F7,13)	C0204900
62		GO TO 3550	C0204950
63	3540	WHITE(ILO,3519) LDNM(ILD),(STRESS(1,ILD),I=1,3),SM1,SM2,ANG	C0205000
64	3519	FORMAT(9X,6HLOADCN,I6,13X,SG11,4,33X,2G11,4,F7,1)	C0205050
65	3550	STRESS(10,ILD)=SM1	C0205100
66		STRESS(11,ILD)=SM2	C0205150
67		STRESS(12,ILD)=ANG	C0205200
68	3580	CONTINUE	C0205250
69		MJAR=12	

FACOM 230-75 MT FORTRAN-IV H COMPILER (OPT2,CP) SOURCE PROGRAM LIST -780322-(V02,L12) DATE 78.10.24/13:33 PAGE 14

ISN	ST-NO	SOURCE PROGRAM ( CAL02 )	SEQUENCE
70		GO TO 3900	C0205300
71	3600	IF(IDATA(6),NE,2) GO TO 5000	C0205350
		C *** PLANE STRESS AND BENDING ***	C0205400
72		IF(KK(9),E0,0) GO TO 3601	C0205500
73		RATIO=6.0/THICK/THICK	C0205550
74		ILINE=ILINE+2*NLDCN	C0205600
		C	C0205700
75	3601	DO 3700 ILD=1,NLDCN	C0205750
		CALL KOJI(STRESS11,ILD),STRESS(2,ILD),STRESS(3,ILD),SM1,SM2,ANG	C0205800
76		WHITE(ILO,3609) LDNM(ILD),(STRESS(1,ILD),I=1,3),SM1,SM2,ANG	C0205850
77		1 ,SM1,SM2,ANG	C0205900
78	3609	FORMAT(9X, 6HLOADCN,I6,11X,BG11,4,2X,F3,1)	C0201200
79		CALL CAL002(IDATA(1),MAXDEG,STRESS(1,ILD),K1(70),IT0,NELM	
		1 ,IELEP(1,ILD),PLLOAD(1,ILD),SST(1,ILD)	C0201202
80		2 ,S1-T1,R1,M1,B1+R1,I0,IPSS)	C0201203
		IF((Z9,E9,0) GO TO 3611	
81		ILINE = ILINE+4	
82	3611	IJO = ITO	C0206000
83		STRESS(10,ILD)=SM1	C0206050
84		STRESS(11,ILD)=SM2	C0206100
85		STRESS(12,ILD)=ANG	C0206150
		C	C0206200
86	3620	IF(KK(9),E0,0) GO TO 3700	C0206250
87		SMX0 ==RATIO*STRESS(7,ILD)	C0206300
88		SMY0 ==RATIO*STRESS(8,ILD)	C0206350
89		SMXY0==RATIO*STRESS(9,ILD)	C0206400
		C	C0206450
90		DO 3690 I=1,2	C0206500
91		SMX0 ==SMX0	C0206550
92		SMY0 ==SMY0	C0206600
93		SMXY0==SMXY0	C0206650
94		SMX ==SMX0 +STRESS(1,ILD)	C0206700
95		SMY ==SMY0 +STRESS(2,ILD)	C0206750
96		SMXY ==SMXY0 +STRESS(3,ILD)	C0206800
97		CALL KOJI(SMX,SMY,SMXY,SM1,SM2,ANG)	C0206850
98		SM0=SM1-SM2	C0206900
99		SM1=SQR((SM0*SM0+SM1*SM1+SM2*SM2)/2.0)	C0206950
100		ANGP=ANG*45	C0207000
101		SM0=-SM0/2,0	C0207050
102		IF((I,NE,1) GO TO 3670	C0207100
103		WHITE(ILO,3669) SMX,SMY,SMXY,SM0,ANGP,S1,SM2,ANG	C0207150
104	3669	FORMAT(21X,13H F8B,STRS(+Z),SG11,4,F7,1,4X,F7,1,4,F7,1)	C0207160
105		IF(K1(8),E0,1) GO TO 3680	C0207200
106		GO TO 3690	C0207250
		C	C0207300
107	3670	WHITE(ILO,3679) SMX,SMY,SMXY,SM0,ANGP,SM1,SM2,ANG	C0207350
108	3679	FORMAT(21X,13H F8B,STRS(+Z),SG11,4,F7,1,4X,F7,1,4,F7,1)	C0207400
109		IF(K1(8),NE,2) GO TO 3690	C0207450
110	3680	STRESS(10,ILD)=SM1	T6/05/10
111		STRESS(11,ILD)=SM2	T6/05/10
112		STRESS(12,ILD)=ANG	T6/05/10
113	3690	CONTINUE	C0207400
114	3700	CONTINUE	C0207450
115		MJAR=12	C0207500

FACOM 230-75 MT FORTRAN-IV H COMPILER (OPT2,CP) SOURCE PROGRAM LIST -780322-(V02,L12) DATE 78.10.24/13:33 PAGE 15

ISN	ST-N0	SOURCE PROGRAM	CAL02	SEQUENCE
116	3900	ILINE=ILINE+2+NLCN		C0217600
117		GO TO 9000		C0217650
	C			C0217700
	C *** SOLID TYPE **			C0217750
	C			C0217800
118	4000	IF((ITYP,NE,3) GO TO 5000		C0217850
	C			C0217900
119		WRITE(1TO+4109) ((I,I=1,6)		C0217950
120	4109	FORMAT(1IX,26HSTRESSES OF SOLID ELEMENTS//,6H SOL1%,4((IX,2)JC0209050		C0218000
		1-11),4X,7HSIGMA-X,8X,7HSIGMA-Y,8X,7HSIGMA-Z+4X,6HTAU-XY,9X,6HTAU-ZC0209100		
		2Y1,9X,6HTAU-ZX)		C0218150
121		WRITE(1TO+4119)		C0218200
122	4119	FORMAT(4IX,9H(SIGMA=1),6X,9H(SIGMA=2)+6X,9H(SIGMA=3)+6X,7H(SIGMA))C0208250		C0208300
123	4200	IN=N+DATA(19)+1		C0208350
124		WRITE(1TO+4300) ((DATA(I),I=3,IN)		C0208400
125	4300	FORMAT(1HO,15, 8;4)		C0208450
	C			C0208500
126		DO 4500 ILD=1,NLCN		C0208550
127	4500	WRITE(1TO,4409) LDNM(ILD),(STRESS((ILD),I=1,6)		C0208600
128	4409	FORMAT(1IX,6HLOADCN,15,15X,6G15.5 )		C0208650
129		CALL SOLSTRKKK(35),ILD,SGMA1,SGMA2,SGMA3,SGMA,STRESS,MAXDEG,110) C0208700		
	C			C0208750
130		WRITE(1TO,4419) SGMA1, SGMA2, SGMA3, SGMA		C0208800
131	4419	FORMAT(37X, AG15.5 )		C0208850
132	4500	CONTINUE		C0208900
	C			C0208950
133		ILINE=ILINE+2+NLCN		C0209000
134		GO TO 9000		C0209050
	C *** ANOTHER TYPE **			C0209100
	C			C0209150
135	5000	IN=N+DATA(19)+1		C0209200
136		WRITE(1TO+5109) ((DATA(I),I=1,IN)		C0209250
137	5109	FORMAT(1HO ELEMENT#, 19, TH JINT=,18)C0209300		C0209350
	C			C0209400
138		DO 5300 ILD=1,NLCN		C0209450
139	5300	WRITE(1TO,5209) LDNM(ILD),(STRESS((ILD),I=1,MJAR)		C0209500
140	5209	FORMAT(1HO,10X+13,6F13.5, (1H ,13X+6F13.5) )		C0209550
141	5300	CONTINUE		C0209600
	C			C0209650
142		ILINE=ILINE+2+NLCN		C0209700
143		GO TO 9000		C0209750
	C			C0209800
	C			C0209850
	C			C0209900
144	6000	IF((ITYP,NE,JTYP) GO TO 1000		C0209950
	C			C0210000
145		IF((ILINE+2+NLCN),GT,35) GO TO 1000		C0210050
146	IF((ITYP,NE,2) GO TO 8000			C0210100
147	ILINE=ILINE+3+NLCN			C0210150
148	IF((ILINE,GT,35) GO TO 1000			C0210200
	C			C0210250
149	8000	GO TO (3200,2100,4200,5000+5000,5000,5000),ITYP		C0210300
	C			C0210350
150	9000	RETURN		C0210400

FACOM 230-75 MT FORTRAN-IV H COMPILER (OPT2,CP) SOURCE PROGRAM LIST -780322-(V02,L12) DATE 78.10.24/13:33 PAGE 16

ISN	ST-N0	SOURCE PROGRAM	CAL02	SEQUENCE
151	END			C0210450

FACOM 230-75 M7 FORTRAN-IV H COMPILER (OPT2,CP) SOURCE PROGRAM LIST -780322-(V02,L12) DATE 78.10.24/13:33 PAGE 17

ISN	ST-NO	SOURCE PROGRAM	SEQUENCE
1	SUBROUTINE CAL03 (PLD,NC,NLUCN,MJTR,IT,IU+MAXDEG,IP,BLOCK 1 +NCOUNT,REAC,NEFMAX,KDEFMX,PGNAME,LDNM,ITD )	J1000010 J1000020 J1000030 J1000080 J1000090 J1000100 J1000120 J1000130 J1000140 J1000170	
C	IT=1 ... JOINT DEFLECTIONS AND ROTATIONS 2 ... REACTION FORCES AND MOMENTS		
C	DIMENSION PLD(MAXDEG+1),MJTR(1),BLOCK(18,1),ANS(12) <PGNAME(1)> 1 ,NODA(200,2), NODB(200) 2 , REAC(3,1) > LDNM(1)	J1000180 J1000190 J1000200 J1000210 J1000220 J1000230 J1000290 J1000300 J1000320	
C	EQUIVALENCE (NODA,NODB) DIMENSION DEFMAX(3,1) <KDEFMX(3,1)		
C	DO 8000 ILD= 1,NLDCN INN=0 ILIN=0 1000 IP=IP+1 WRITE(ITD,1109) PGNAME,IP 1109 FORMAT(1H1,75X,10A4, 5X,5HPAGE+,13+)	75T-6519 J1000330 J1000340 J1000390 J1000410 J1000420 J1000430 J1000440 J1000450 J1000460 J1000470 J1000480 J1000490 J1000500 J1000510 J1000520 J1000530 J1000550 J1000560 J1000580 J1000590 J1000610 J1000620 J1000630 J1000640 J1000650 J1000660 J1000670 J1000680 J1000690 J1000710 J1000720 J1000730 J1000740 J1000750 J1000760 J1000780 J1000800 J1000820 J1000840 J1000850 J1000860 J1000870 J1000880	
C	*** NAME *** DO 1300 I=1,NCOUNT WRITE(ITD,1209) (BLOCK(J,I),J=1,18) 1209 FORMAT(20X,18A4) 1300 CONTINUE C *** UNIT *** 1500 WRITE(ITD,1409) IU,LDNM(ILD) 1409 FORMAT(1H0,10X,BHUNIT NO.,I3,5X,10HLOADEN NO.,+I3 +) C 17 GO TO (1500,2000) +) C *** JOINT DEF.*** 18 1500 WRITE(ITD,1509) 1509 FORMAT(11X,1MJOINT DEFLECTIONS AND ROTATIONS,/,6W JOINT*11X, 1 3HD-X,10X,3HD-Y,10X,3HD-Z,10X,3HR-X,10X,3HR-Y,10X,3HR-Z,/,) GO TO 2800 C *** REACTION *** 21 2000 WRITE(ITD,2009) 2009 FORMAT(11X,2TMREACTION FORCES AND MOMENTS,/,6W JOINT*11X, 1 3HF-X,10X,3HF-Y,10X,3HF-Z,10X,3HM-X,10X,3HM-Y,10X,3HM-Z,/,) C 23 2800 IF(ILD,NE,1) GO TO 5000 24 3000 INDMJTR(1)/100 NODA(1,1)=IND 25		

FACOM 230-75 M7 FORTRAN-IV H COMPILER (OPT2,CP) SOURCE PROGRAM LIST -780322-(V02,L12) DATE 78.10.24/13:33 PAGE 18

ISN	ST-NO	SOURCE PROGRAM ( CAL03 )	SEQUENCE
26	NODA(1,2)=1	J1000890	
27	IN=1	J1000900	
28	IF(NC,EG,1) GO TO 5000	J1000910	
29	DO 3500 IM=2,NC	J1000920	
30	JND=MJTR(IM)/100	J1000930	
31	IF((IND,EQ,JND) GO TO 3500	J1000940	
32	IN=IN+1	J1000950	
33	IN=IN+1	J1000960	
34	NODA(IN,1)=IND	J1000970	
35	NODA(IN,2)=IM	J1000980	
36	3500 CONTINUE	J1000990	
C	IF((IN,EG,1) GO TO 5000	J1001000	
37	DO 3600 I=2,IN	J1001010	
38	IF(NODB(I-1),GT,NODB(I)) GO TO 3650	J1001020	
39	3600 CONTINUE	J1001030	
40	GO TO 5000	J1001040	
C	3650 INI=IN-1	J1001050	
41	DO 3900 I=1,INI	J1001060	
42	IA=I +1	J1001070	
43	MIN=NODA(I,1)	J1001080	
44	IMIN=I	J1001090	
45	DO 3700 II=IA,IN	J1001100	
46	IF(MIN,LT,NODB(II)) GO TO 3700	J1001110	
47	MIN=NODB(II)	J1001120	
48	IMIN=II	J1001130	
49	DO 3700 II=IA,IN	J1001140	
50	IF(MIN,LT,NODB(II))	J1001150	
51	3700 CONTINUE	J1001160	
52	JUM1=NODA(I,1)	J1001170	
53	JUM2=NODA(I,2)	J1001180	
54	NODA(I,1)=NODA(IMIN+1)	J1001190	
55	NODA(I,2)=NODA(IMIN+2)	J1001200	
56	NODA(IMIN+1)=JUM1	J1001210	
57	NODA(IMIN+2)=JUM2	J1001220	
58	3900 CONTINUE	J1001230	
C		J1001240	
C		J1001250	
59	5000 INN=INN+1	J1001260	
60	IF((INN,GT,IN) GO TO 5000	J1001270	
61	ID5#0	J1001280	
62	DO 5100 I=1,12	J1001290	
63	ANS(I)=0.0	J1001300	
64	5100 CONTINUE	J1001310	
65	5050 JN=NODA(INN,1)	J1001320	
66	KN=NODA(INN,2)	J1001330	
67	KN2=KN+1	J1001340	
C	IF(KN2,GT,NC) KN2=NC	J1001350	
68	DO 5300 I=KN,KN2	J1001360	
69	IF((JN,NE,MJTR(I))/100) GO TO 5400	J1001370	
70	JMOD=(MJTR(I))/100	J1001380	
71	IF((J/10,LT,1) GO TO 5200	J1001390	
72	JMOD=(J/10)+6	J1001400	
73	DO 51	J1001410	
74	5200 ANS(J)=PLD(J,ILD)	J1001420	

FACOM 230-75 MT FORTRAN-IV H COMPILER (OPT2.CP) SOURCE PROGRAM LIST -780322-(V02,L12) DATE 78.10.24/13:33 PAGE 19

ISN	ST-NR	SOURCE PROGRAM	( CAL03 )	SENDFNC
76	3300	CONTINUE		J1001460
C				J1001470
77	5400	JNN:INN+1		J1001480
78		IF(JNN,ST,IND GO TO 5500		J1001490
79		IF(NCB(INN),NE,NCR(JNN)) GO TO 5500		J1001500
80		[INN=]INN+1		J1001510
81		GO TO 5050		J1001520
C				J1001530
C				J1001540
82	5500	[LIN=]LIN+1		J1001550
83		WRITE(1TO,5509) NDBC(INN), (ANS(I),I=1,6)		J1001560
84	5509	FORMAT(1H 15, TX,6G13,4)		J1001570
85		IF( IT,NE, 1 ) GO TO 5530		J1001580
C				J1001590
86		IF( ABS(ANS(1)) < LT, ABS(DEFMAX(1,ILD)) GO TO 5510		J1001600
87		DEFMAX(1,ILD) = ABS(1)		J1001610
88		KDEFMAX(1,ILD) = NDBC(INN)		J1001620
89	5510	IF( ABS(ANS(2)) < LT, ABS(DEFMAX(2,ILD)) GO TO 5520		J1001630
90		DEFMAX(2,ILD) = ABS(2)		J1001640
91		KDEFMAX(2,ILD) = NDBC(INN)		J1001650
92	5520	IF( ABS(ANS(3)) < LT, ABS(DEFMAX(3,ILD)) GO TO 5530		J1001660
93		DEFMAX(3,ILD) = ABS(3)		J1001670
94		KDEFMAX(3,ILD) = NDBC(INN)		J1001680
95	5530	A=A		J1001690
96		IF( IT,NE,2) GO TO 5600		J1001700
97		DO 5550 I=1,3		J1001710
98		REAC(1,ILD)=REAC(1,ILD)+ANS(1)		J1001720
99	5550	CONTINUE		J1001730
C				J1001740
100	5600	IF(ID5,E9,0) GO TO 6000		J1001750
101		WRITE(1TO,6069) (ANS(I),I=7,12)		J1001760
102	6000	FORMAT(13X,6G13,4)		J1001770
C				J1001780
103		IF(IT,NE,2) GO TO 5800		J1001790
104		DO 5700 I=1,3		J1001800
105		I!=I+6		J1001810
106		REAC(1,ILD)=REAC(1,ILD)+ANS(1)		J1001820
107	5700	CONTINUE		J1001830
108	5800	[LIN=]LIN+1		J1001840
109		ID5=0		J1001850
110	6000	IF(LIN,LT,50) GO TO 5000		J1001860
111		[LIN]=0		J1001870
112		GO TO 1000		J1001880
113	8000	CONTINUE		J1001890
114		RETURN		J1001900
115		END		J1001910
				J1001920

\* \* \* \* \* DIAGNOSTIC MESSAGE \* \* \* \* \*

ELEMENT NAME	C SUB PROGRAM	COMMENT
ISN	ERRNO	ERROR MESSAGE

FACOM 230-75 MT FORTRAN-IV H COMPILER (OPT2.CP) DIAGNOSTIC MESSAGE -780322-(V02,L12) DATE 78.10.24/13:33 PAGE 20

ISN	ERRNO	ERROR MESSAGE	COMMENT
		3 F7500W AN ARRAY ITEM WITH NO SUBSCRIPTS IN THE EQUIVALENCE STATEMENT.	NODA NODR

```
*** STATEMENT CARD NUMBER 161 EXECUTE( 93)
*** ERROR TOTAL NUMBER 2 LEVEL W( 2 ) X( 0 ) Y( 0 )
*** WARNING ERROR THIS ERROR IS POSSIBLE TO EXECUTE THAT OBJECT PROGRAM
CAN BE GUARANTEED.
```

FACOM 230-75 M FORTRAN-IV H COMPILER (OPT2,CP) SOURCE PROGRAM LIST -780322-(V02,L12) DATE 78.10.24/13:33 PAGE 21

ISN	ST-NO	SOURCE PROGRAM	SEQUENCE
1		SUBROUTINE CRTOLP (IT1,IT2,IFL,MXL)	CTL 1000
2	C	DIMENSION ICR(20,60)	CTL 1050
3	C	IED= 0	CTL 1100
4		LIN= 0	CTL 1150
5		IP = 0	CTL 1200
6		MXL1=MXL	CTL 1250
7		IP = IP+1	CTL 1260
8		DO 20 I=1,MXL	CTL 1300
9		READ(IT1,B1,END=40) (ICR(J,I),J=1,20)	CTL 1350
10	C	20 CONTINUE	CTL 1400
11	C	WRITE(IT0,91) IP	CTL 1450
12		WRITE(IT0,92) (J,J=1,R)	CTL 1500
13		DO 30 J=1,MXL	CTL 1550
14		LIN=LIN+1	CTL 1600
15		WRITE(IT0,93) LIN,(ICR(K,J),K=1,20)	CTL 1650
16		30 CONTINUE	CTL 1700
17		WRITE(IT0,92) (J,J=1,A)	CTL 1750
18	C	GU TO 55	CTL 1800
19		40 IED = 9	CTL 1850
20		MXL1=1	CTL 1900
21		WRITE(IT0,91) IP	CTL 1950
22		WRITE(IT0,92) (J,J=1,B)	CTL 2000
23		DO 50 J=1,MXL1	CTL 2050
24		LIN=LIN+1	CTL 2100
25		WRITE(IT0,93) LIN,(ICR(K,J),K=1,20)	CTL 2150
26		50 CONTINUE	CTL 2200
27	C	WRITE(IT0,92) (J,J=1,B)	CTL 2250
28	C	55 IF(IFL,LE,0) GO TO 80	CTL 2300
29		DO 60 J=1,MXL1	CTL 2350
30		WRITE(IFL,B1) (ICR(K,J),K=1,20)	CTL 2370
31	C	60 CONTINUE	CTL 2380
32	C	80 IF(IED) 90,10,90	CTL 2390
33	C	90 RETURN	CTL 2390
34	C	81 FORMAT(20A4)	CTL 2400
35		91 FORMAT(1H1//1H0,5X,'INPUT-DATA 1 1ST',80X,'PAGE',10)	CTL 2450
36		92 FORMAT(1H0,13X,B(9X,1)/1H +13X,'1...0...',0,...,0)	CTL 2500
37		93 FORMAT(1H .5X,T5,3X,20A4)	CTL 2550
38	C	END	CTL 2600
			CTL 2650
			CTL 2700
			CTL 2750

FACOM 230-75 M FORTRAN-IV H COMPILER (OPT2,CP) SOURCE PROGRAM LIST -780322-(V02,L12) DATE 78.10.24/13:33 PAGE 22

ISN	ST-NO	SOURCE PROGRAM	SEQUENCE
1		SUBROUTINE FLCOPY(KK,IT0,IF1,IF0,NCOUNT,BLOCK,NUNIT,NEINU,NLDCN)	FLC000000
1	C	NCOUNT : NUMBER OF TITLE CARDS	FLC00020
C		BLOCK : TITLE	FLC00030
C		NEINU : NUMBER OF ELEMENTS PER UNIT	FLC00040
C		NLDCN : NUMBER OF LOAD CONDITIONS	FLC00050
2		DIMENSION BLCK(18,13),NEINU(1),KK(1),IAREA(10000),RAREA(3,2000)	FLC00060
1	C	IAREA(1,2000),K1(1)	FLC00070
3	C	DIMENSION ISEC(1),SEC(5,1)	FLC00080
4	C	KK10=K1(20)	FLC00090
5	C	KK20=K1(20)	FLC00100
6	C	READ(IF1) (KK(1),I=1,72)	FLC00110
7		IF(KK10,NE,0) WRITE(IF0) (KK(1),I=1,72)	FLC00120
8		IF(KK20,NE,0) WRITE(IF0,9009) ((K(1)+I=1,72))	FLC00130
C		READ(IF1) NCOUNT	FLC00140
9		IF(KK10,NE,0) WRITE(IF0) NCOUNT	FLC00150
10	C	IF(KK20,NE,0) WRITE(IF0,9019) NCOUNT	FLC00160
11	C	READ(IF1) (BLOCK(1,1),I=1,18),J=1,NCOUNT)	FLC00170
12		IF(KK10,NE,0) WRITE(IF0) (BLOCK(1,1),I=1,18),J=1,NCOUNT	FLC00180
13		IF(KK20,NE,0) WRITE(IF0) ((BLOCK(1,1),I=1,18),J=1,NCOUNT)	FLC00190
14	C	IF(KK20,NE,0) WRITE(IF0,9029) ((BLOCK(1,1),I=1,18),J=1,NCOUNT)	FLC00200
15	C	READ(IF1) MUPBN	FLC00210
16		IF(KK10,NE,0) WRITE(IF0) MUPBN	FLC00220
17	C	IF(KK20,NE,0) WRITE(IF0,9039) MUPBN	FLC00230
18	C	READ(IF1) (IAREA(1),I=1,MUPBN)	FLC00240
19		IF(KK10,NE,0) WRITE(IF0) (IAREA(1),I=1,MUPBN)	FLC00250
20	C	IF(KK20,NE,0) WRITE(IF0,9049) ((IAREA(1),I=1,MUPBN))	FLC00260
21	C	READ(IF1) NJT	FLC00270
22		IF(KK10,NE,0) WRITE(IF0) NJT	FLC00280
23	C	IF(KK20,NE,0) WRITE(IF0,9059) NJT	FLC00290
24	C	READ(IF1) ((IAREA(1,J),I=1,3),J=1,NJT)	FLC00300
25		IF(KK10,NE,0) WRITE(IF0) ((IAREA(1,J),I=1,3),J=1,NJT)	FLC00310
26	C	IF(KK20,NE,0) WRITE(IF0,9069) ((IAREA(1,J),I=1,3),J=1,NJT)	FLC00320
27	C	READ(IF1) (IAREA(1),I=1,NJT)	FLC00330
28		IF(KK10,NE,0) WRITE(IF0) (IAREA(1),I=1,NJT)	FLC00340
29	C	IF(KK20,NE,0) WRITE(IF0,9074) (IAREA(1),I=1,NJT)	FLC00350
30	C	READ(IF1) (IAREA(1),I=1,NJT)	FLC00360
31		IF(KK10,NE,0) WRITE(IF0) (IAREA(1),I=1,NJT)	FLC00370
32	C	IF(KK20,NE,0) WRITE(IF0,9084) (IAREA(1),I=1,NJT)	FLC00380
33	C	READ(IF1) NJDB	FLC00390
34		IF(KK10,NE,0) WRITE(IF0) NJDB	FLC00400
35	C	IF(KK20,NE,0) WRITE(IF0,9094) NJDB	FLC00410
36	C	READ(IF1) ((IAREA(1,J),I=1,4),J=1,NJB)	FLC00420
37		IF(KK10,NE,0) WRITE(IF0) ((IAREA(1,J),I=1,4),J=1,NJB)	FLC00430
38	C	IF(KK20,NE,0) WRITE(IF0,9109) ((IAREA(1,J),I=1,4),J=1,NJB)	FLC00440

FACOM 230-75 M7 FORTRAN-IV H COMPILER (OPT2,CP) SOURCE PROGRAM LIST -780322-(VG2,L12) DATE 78.10.24/13:33 PAGE 23

LN	ST-NO	SOURCE PROGRAM	SEQUENCE
	C	READ(1FI) NUNIT	FLC00570
39		IF(KK10,NE,0) WRITE(1FO) NUNIT	FLC00580
40		IF(KK20,NE,0) WRITE(1TO,9119) NUNIT	FLC00590
41	C	READ(1FI) (NEINU(),I=1,NUNIT)	FLC00600
42		IF(KK10,NE,0) WRITE(1FO) (NEINU(),I=1,NUNIT)	FLC00610
43		IF(KK20,NE,0) WRITE(1TO,9129) (EINU(),I=1,NUNIT)	FLC00620
44	C	IF(KK20,NE,0) WRITE(1TO,9139)	FLC00630
45	I=0	DO 600 I=1,NUNIT	FLC00640
46		NEINU(I)=0	FLC00650
47		IF(KK20,NE,0) WRITE(1TO,9149) TU,NE	FLC00660
48		DO 500 JE=1,NE	FLC00670
49		READ(1FI) (AREA(I),I=1,20),(AREA(1,J),J=1,100)	FLC00680
50		IF(KK10,NE,0) WRITE(1TO,9149) (AREA(I),I=1,20)	FLC00690
51		IF(KK20,NE,0) WRITE(1TO,9149) (AREA(I),I=1,100)	FLC00700
52		IF(K10,EG,0) AND (L10,EG,0) GO TO 400	FLC00710
53	I=1,C=1	SEC(1,I)=AREA(1)	FLC00720
54		SEC(1,I)=RAREA(1,3)	FLC00730
55		SEC(1,I)=RAREA(1,46)	FLC00740
56		SEC(1,I)=RAREA(1,50)	FLC00750
57		SEC(1,I)=RAREA(1,49)	FLC00760
58		SEC(1,I)=RAREA(1,8)	FLC00770
59		SEC(1,I)=RAREA(1,18)	FLC00780
60	400	IF(KK10,NE,0) WRITE(1FO) (AREA(I),I=1,20),(AREA(1,J),J=1,100)	FLC00790
61		IF(KK20,NE,0) WRITE(1TO,9159) (AREA(I),I=1,20)	FLC00800
62	500	CONTINUE	FLC00810
63	600	CONTINUE	FLC00820
64	C	READ(1FI) NLDCN	FLC00830
65		IF(KK20,NE,0) WRITE(1TO,9169) NLDCN	FLC00840
66	C	RETURN	FLC00850
67	C	9009 FORMAT(1H1,22H *** DEBUG WRITE ***,//,10H0**_KK ** ,/,2X,72(1)	FLC00860
68		9019 FORMAT(1H0**_NCOUNT*,12*2H***)	FLC00870
69		9029 FORMAT(12H0**_BLOCK **,/,2X,1844)	FLC00880
70		9039 FORMAT(11H0**_MUPSN **,14*2H***)	FLC00890
71		9049 FORMAT(12H0**_IPJNT **,/,2X,20(5))	FLC00900
72		9059 FORMAT(10H0**_NJUT **,14,2H***)	FLC00910
73		9069 FORMAT(10H0**_XYZ **,/,4(2X,3F10,3))	FLC00920
74		9079 FORMAT(12H0**_IPDRL **,/,2X,20(5))	FLC00930
75		9089 FORMAT(12H0**_ICONJ **,/,2X,20(5))	FLC00940
76		9099 FORMAT(10H0**_NJOB **,14,2H***)	FLC00950
77		9109 FORMAT(10H0**_PH **,/,3(2X,4F10,3))	FLC00960
78		9119 FORMAT(12H0**_U **,14,2H***)	FLC00970
79		9129 FORMAT(12H0**_NEINU **,/,2X,20(5))	FLC00980
80		9139 FORMAT(10H0**_IDATA,RDATA **)	FLC00990
81		9149 FORMAT(6H UNIT*,13,6HNEINU=13)	FLC01000
82		9159 FORMAT(1H * IDATA *,/,3X,20(14,1X),/	FLC01010
83		1 ,1H * RDATA *,/,3X,10E12,5))	FLC01020
84		9169 FCRMAT(10H0**_NLDCN=13,2H***)	FLC01030
85	C	END	FLC01120

FACOM 230-75 M7 FORTRAN-IV H COMPILER (OPT2,CP) SOURCE PROGRAM LIST -780322-(VG2,L12) DATE 78.10.24/13:33 PAGE 24

LN	ST-NO	SOURCE PROGRAM	SEQUENCE
1	C	SUBROUTINE HEAD(1TO)	HEAD0000
2	C	DO 8000 I=1,2	HEAD0010
3	C	WRITE(1TO,1001)	HEAD0020
4	1001	FORMAT(1M1)	HEAD0030
5	C	WRITE(1TO,1002)	HEAD0040
6	1002	FORMAT(1M)	HEAD0050
7	C	DO 2000 J=1,8	HEAD0060
8		WRITE(1TO,1002)	HEAD0070
9	2000	CONTINUE	HEAD0080
10	C	WRITE(1TO,3001)	HEAD0090
11	3001	FORMAT(1H _18X,2HMM,6X,2HMM,5X+4HAAAA+5X+9(1HR),4X,9(1HS),14X	HEAD0100
12		1 ,2HMM,6X,2HMM,2X,10(1HE)+3X,9(1HS))	HEAD0110
13	C	WHITE(1TO,3002)	HEAD0120
14	3002	FORMAT(1H _18X,10HMMMM MMMMM,6X,6HAA AA+4X,2HRR+6X,2HRR,2X+2HSS	HEAD0130
15		1 ,2X,10HMMMM MMMMM,2X,2HEE+10X,2HSS)	HEAD0140
16	C	WHITE(1TO,3003)	HEAD0150
17	3003	FORMAT(1H _18X,2HMM MM MM AA AA,3X+9(1HR),4X,8(1HS),3X	HEAD0160
18		1 ,10(1H-1),14H MM MM MM ,B(1HE),5X,B(1HS))	HEAD0170
19	C	WHITE(1TO,3004)	HEAD0180
20	3004	FORMAT(1H _18X,2HMM,6X,6HMM ,1D(1HA),4H RR,3X,2HRR+13X+2HSS,14X	HEAD0190
21		1 ,2HMM,6X,6HMM EE+18X,2HSS)	HEAD0200
22	C	WHITE(1TO,3005)	HEAD0210
23	3005	FORMAT(1H _18X,2HMM,6X,6HNM AA,6X+6HAA RR,4X,2HRR+12X,2HSS,14X	HEAD0220
24		1 ,2HMM,6X,6HMM EE+18X,2HSS)	HEAD0230
25	C	WHITE(1TO,3006)	HEAD0240
26	3006	FORMAT(1H _18X,2HMM,6X,6HMP AA,6X+6HAA RR,5X,2HRR,3X,9(1HS),15)	HEAD0250
27		1 ,2HMM,6X,6HMP ,1D(1HE),2X,9(1HS))	HEAD0260
28	C	DO 4000 J=1,7	HEAD0270
29		WRITE(1TO,1002)	HEAD0280
30	4000	CONTINUE	HEAD0290
31	C	WHITE(1TO,5001)	HEAD0300
32	5001	FORMAT(1H _26X,7(1HS),7H UU ,4HUU ,7(1HR),2X,7(1HE),2X,T(1WR)	HEAD0310
		4 ,2X,(T(1P)-2X,7(1O)-2X,7(1HS),2X,T(1HE))/	HEAD0320
	H	1H _26X,27HSS SS UU PP PP ,2HEE,5X	HEAD0330
	C	,3BH RP RP PP OO OO SS SS ,2HFT/	HEAD0340
	D	1H _26X,2HSS,7X,20HUI UU PP PP EE,TX	HEAD0350
	E	,3BMR RK PP PP OO OO SS EF/	HEAD0360
	F	1H _26X,7(1HS),7H UU ,4HUU ,7(1HR),2X,6(1HE),3X,7(1HR)	HEAD0370

FACOM 230-75 MT FORTRAN-IV H COMPILER (OPT2,CP) SOURCE PROGRAM LIST -780322-(V02,L12) DATE 78.10.24/13:33 PAGE 25

ISN	ST-N0	SOURCE PROGRAM	SEQUENCE
	G	,2X+7(1HP),2X,7H03 DO,2X,7(1HS),2X,6(1HE)/	HEA00570
	H	1M ,31X+15HS UU UU PP,7X,2HEE+7X,11HRR RR PP,7X	HEA00580
	I	,7H0D DO,7X,6HS EF/	HEA00590
	J	1H ,26X,20HS SS UU UU PP,7X,2HEE,5X,11H RR RR	HEA00600
	K	,2HPP,7X,18HD DO SS SS +2(1HE)/	HEA00610
	L	1H ,26X,7(1HS),2X,7(1HU),4H PP,7X,7(1HE),13H RR RR PP	HEA00620
	M	>7X,7(1HD),2X,7(1HS),2X,7(1HE)	HEA00630
C			HEA00640
33	DO 6000 J=1,8		HEA00650
34	WRITE(1TO,1002)		HEA00660
35	6000 CONTINUE		HEA00670
C			HEA00680
36	*RITE(1TO,7001)		HEA00690
37	7001 FORMAT(1H ,48X,38HJAPAN ADVANCED NUMERICAL ANALYSIS INC.)		HEA00700
C			HEA00710
C			HEA00720
38	8000 CONTINUE		HEA00730
C			HEA00740
39	RETURN		HEA00750
40	END		HEA00770

FACOM 230-75 MT FORTRAN-IV H COMPILER (OPT2,CP) SOURCE PROGRAM LIST -780322-(V02,L12) DATE 78.10.24/13:33 PAGE 26

ISN	ST-N0	SOURCE PROGRAM	SEQUENCE
1		SUBROUTINE KDJ(SGMAX,SGMAY,TAUXY,PSGM1,PSGM2,ANGLE)	KOJ00000
C		SUBROUTINE FOR CALCULATION OF PRINCIPAL STRESS AND ITS ANGLE	KOJ00010
C			KOJ00020
2	HEN=.5*(SGMAX+SGMAY)		KOJ00030
3	DEF=.5*(SGMAX-SGMAY)		KOJ00040
4	CON=SQRT(DEF**2+TAUXY**2)		KOJ00050
C			KOJ00060
5	PSGM1=HEN+CON		KOJ00070
6	PSGM2=HEN-CON		KOJ00080
C			KOJ00090
7	IF(CON.LE.DEF) GO TO 10		KOJ00100
C			KOJ00110
8	CONDEF=ABS((CON+DEF)/(CON-DEF))		KOJ00120
9	ANG=57.29578*ATAN(SQRT(CONDEF))		KOJ00130
10	IF(TAUXY.LT.0.) ANGA=ANG		KOJ00140
11	ANGLE=90.-ANG		KOJ00150
C			KOJ00160
12	ANGLE=0.		KOJ00170
C			KOJ00180
13	10 ANGLE=0.		KOJ00190
14	RETURN		KOJ00200
C			KOJ00210
15	END		KOJ00220
			KOJ00230

FACOM 230-75 MT FORTRAN-IV H COMPILER (OPT2,CP) SOURCE PROGRAM LIST -780322-(V02,L12) DATE 78.10.24/13:33 PAGE 27

ISN	ST-N0	SOURCE PROGRAM	SEQUENCE
1		SUBROUTINE MAXPRN(NLDCN,MXELU,SMAXU,1TO)	MXP00020
C			MXP00040
C			MXP00060
2	DIMENSION MXELU(36,NLDCN),SMAXU(36,NLDCN),[A(3),1B(2),1C(4,3)]		MXP00080
3	DATA [A]1HT,1H4,1HB / ,1B/3H+/,3H+/, /		MXP00100
-4	DATA IC/ 19,21/20,22		MXP00120
1	1 : 23,25,24,26		MXP00140
2	2 : 27,29,28,30 /		MXP00160
C			MXP00180
5	WHITE(1TO,1009)		MXP00200
6	1009 FORMAT(1H1.6X,27H MAXIMUM VALUE OF STRESS // )		MXP00220
7	DO 9000 I=1,NLDCN		MXP00240
8	WRITE(1TO,2009) I		MXP00260
9	2009 FORMAT( 2X,BLOADCN +14, / )		MXP00280
C			MXP00300
10	I=12		MXP00320
11	DO 8000 J=1,3		MXP00340
12	I=I+6		MXP00360
C			MXP00380
13	WRITE(1TO,3009) JAC(J),[A(1),JAC(J),IR(1),[A(1)]		MXP00400
14	FORMAT(1H ,A1, 5H-SGM1,A3,4X,7HELEM ,A1, 5H-SGM2MXLU(1,1)		MXP00420
1	,A3,4X, 7HELEM ,A1, 4H-TAU,A3		MXP00440
2	+5X,4HELEM,3X,10HPRN,SIGMA1,3X,4HELEM,3X,10HPRN,SIGMA2		MXP00460
3	+3X,4HELEM,3X,8S,INTENS /)		MXP00480
C			MXP00500
15	WHITE(1TO,4009) IB(2),1H(2),IB(2)		MXP00520
16	4009 FORMAT(23X, A3, 17X, A3, 16X, A3, / )		MXP00540
C			MXP00560
17	K=(J-1)*6 + 1		MXP00580
18	WHITE(1TO,5009) MXELU(K,1),SMAXU(K+1,1)		MXP00600
1	+SMAXU(K+2,1),MXELU(K+4,1),SMAXU(K+4,1)		MXP00620
2	,MXELU(K+1,1),SMAXU(K+1,1),MXELU(K+2,1),SMAXU(K+2,1)		MXP00640
3	,MXELU(K+3,1),SMAXU(K+3,1)		MXP00660
19	5009 FORMAT(7X, 3(3X,14,2X,G11,4), 2(3X,14,2X,G11,4)		MXP00680
1	+ (3X,14,2X,G11,4) / )		MXP00700
C			MXP00720
20	WHITE(1TO,6009) MXELU(K+1,1),SMAXU(K+1,1)		MXP00740
1	+MXELU(K+2,1),SMAXU(K+2,1)		MXP00760
2	+MXELU(K+3,1),SMAXU(K+3,1)		MXP00780
3	+MXELU(K+4,1),SMAXU(K+4,1)+MXELU(K+5,1),SMAXU(K+5,1)		MXP00800
4	+MXELU(K+6,1),SMAXU(K+6,1)		MXP00920
21	6009 FORMAT(7X, 3(3X,14,2X,G11,4), 2(3X,14,2X,G11,4)		MXP00940
1	+ (3X,14,2X,G11,4) / )		MXP00960
C			MXP00980
22	8000 CONTINUE		MXP01000
23	9000 CONTINUE		MXP01020
C			MXP01040
24	RETURN		MXP01060
25	END		MXP01080
			MXP01100
			MXP01120

J A E R I - M 8 0 1 7

FACOM 230-75 MT FORTRAN-IV H COMPILER (OPT2+CD) SOURCE PROGRAM L1ST -780322-C(Y2,L12) DATE 78.12.24/13:33 PAGE 28

```

1      SUBROUTINE RDCOEF( ITI,ITD,NLDCN,NLD,NLDS,ILDS,RLDS,IER
2      1           ,NOU,IOU,LDM ,MLX,MLX1,MLX2 )
3      C      DIMENSION NLDS(MXL),ILDS(MXL1+MLX),RLDS(MXL1+MLX)+LDM(MXL)
4      1           ,LDM(MXL)
5      DATA    MUN, 1,MLX, 1,MLX1, 1,MLX2, 1,MRL
6      1           /4HUNIT+4HLDCLN+4HEND+4H /
7      C      DO 100 J=1,MLX
8      NLDS(J)=0
9      LDNS(J)=0
10     DO 100 J=1,MLX
11     ILDS(1,J)=0
12     RLDS(1,J)=0
13     100 CONTINUE
14     C      NLD=0
15     NOU=0
16     IER=0
17     C*** READ(1,208,END=670) KEY,N1,N2,N3,R1
18     208   IF(KEY,NE,MUN) GO TO 300          FORMAT( 44,1X,3I5,F10.0 )
19     IF(N1,LE, 0) GO TO 610
20     C*** UNIT DATA READ *****
21     218   READ(1,218) (IOU(I)+I=1,N1)      FORMAT( 10X,10I5 ) )
22     GO TO 200
23     C*** 300 IF(KEY,NE,MLD) GO TO 400
24     NLD=NLD+1
25     IF(NLD,GT,MLX) GO TO 620
26     C      LDN(NLD ) =N1
27     NLDS(NLD ) =N2
28     ILDS( 1,NLD)=N3
29     IF( ABS(R1).LT,1.0E-5) R1=1.0
30     RLDS( 1,NLD)=R1
31     IF(N2,GT,MLX1) GO TO 630
32     IF(N2,LE, 1) GO TO 200
33     C*** 310 I=2,N2
34     READ(1,208) KEY,K1,K2,N3,R1
35     IF(KEY,NE,MLD) GO TO 640
36     IF( ABS(R1).LT,1.0E-5) R1=1.0
37     ILDS( 1,NLD)=N3
38     RLDS( 1,NLD)=R1
39     310 CONTINUE
40     GO TO 200
41     C*** 400 IF(KEY,NE,MEND) GO TO 640
42     C*** 410 S1G( 1)=1,NLD
43     61  NLDS(1)

```

FACOM 230-75 M7 FORTRAN-IV H COMPILER (OPT2,CP) SOURCE PROGRAM LIST ~780322-(V02,L12) DATE 78.10.24/13:33 PAGE 29

```

ISN ST-NQ SOURCE PROGRAM ( RDCOEF )
43 IF(KL,GE,1) GO TO 500 RDC00580
44 NLDS(1)=1 RDC00590
45 KL =1 RDC00600
46 500 DO 510 J=1,KL RDC00610
47 IF( ILDS(J,1),LE,NLDCN ) GO TO 510 RDC00620
C RDC00630
48 WRITE((TO,509) ILDS(J,1),NLDCN RDC00640
49 509 FORMAT(1H0,5DH*** ERROR ** THE SUPERPOSING LOADCONDITN NO. IS N RDC00650
      1 35HOT DEFINED IN INPUT FILE (*13). RDC00660
50 IER=9 RDC00670
C RDC00680
51 510 CONTINUE RDC00690
***** RDCOEF NORMAL TERMINATION *****
52 GO TO 900 RDC00700
C RDC00710
C*** INPUT DATA HAD ILLEGAL ** RDC00730
C RDC00740
53 610 *WRITE((TO,619) KEY,*2,M3,R1 RDC00750
54 619 FORMAT(1H0,5DH*** ERROR ** THE SUPERPOSED LOADING CONDITN NUMBE RDC00760
      1 2HPTM IS NOT DEFINED. /1H *4,1X*5H***+215,F10.5 > RDC00775
55 GO TO 550 RDC00780
56 620 *WHITE((TO,629) MXL RDC00790
57 629 FORMAT(1H0,5DH*** ERROR ** THE NUMBER OF GENERATING LOADING COND RDC00800
      1 3DHMXL IS EXCEEDED LIMIT VALUE,(+13,2H) > RDC00810
58 GO TO 550 RDC00820
59 630 *WHITE((TO,639) MXL1 RDC00830
60 639 FORMAT(1H0,5DH*** ERROR ** THE NUMBER OF LOADING CONDITION FOR S RDC00840
      1 29HUPERPCS EXCEEDS LIMIT VALUE,( +13,2H) > RDC00850
61 GO TO 650 RDC00860
62 640 *WHITE((TO,649) RDC00870
63 649 FORMAT(1H0,5DH*** ERROR ** KEY-WARD IS ILLEGAL, THIS CARD IS IGN RDC00880
      1 2HORED BY THIS PROGRAM. > RDC00890
64 650 *WHITE((TO,659) KEY,*4,N2,N3 RDC00900
65 659 FORMAT(1H *4,1X*3,I5,F10.0) RDC00910
C**** NEXT CARD READ RDC00920
66 IER=9 RDC00930
67 GO TO 200 RDC00940
C RDC00950
68 670 *WHITE((TO,679) RDC00960
69 679 FORMAT(1H0,5DH*** ERROR ** END OF FILE READING. > RDC00970
C RDC00980
70 680 IER=9 RDC00990
C RDC1000
C RDC1010
71 900 RETURN RDC1015
END RDC1020
C RDC1030

```

## JAERI-M 8017

FACOM 230-75 MT FORTRAN-IV H COMPILER (OPT2,CP) SOURCE PROGRAM LIST -780322-(V02,L12) DATE 78.10.24/13:33 PAGE 30

ISN	ST-NO	SOURCE PROGRAM	SEQUENCE
1		SUBROUTINE READEM(IFL44,ICK,NELM,IELEM,PLOAD,NLDCN,IIO )	REAO1000
2	C	C	REAO1050
3	C	DIMENSION (IELEM(1+NLDCN),PLOAD(1+NLDCN))	REAO1100
4	C	DATA ILOAD/4HLOAD + JUNIT/4HUNIT + ICN/2HCN + IE/2HE /	REAO1200
5	C	DO 800 I=1,NLDCN	REAO1250
6	C	NELM=0	REAO1400
7	C	10 READ(IFL44,19) IA,IB,IME	REAO1450
8	C	19 FORMAT(A4,A2,I4)	REAO1500
9	C	IF((IA,NE,JUNIT)) GO TO 10	REAO1550
10	C	30 READ(IFL44,19) IA,IB,IME	REAO1600
11	C	IF((IA,EQ,ILLOAD) AND, (IB,EG,ICN)) GO TO 40	REAO1650
12	C	GC TO 30	REAO1700
13	C	40 READ(IFL44,59) IA,IB,IME,P	REAO1750
14	C	59 FORMAT(A4,A2,I4,16X,F6.3)	REAO1800
15	C	IF((IA,EQ,ILLOAD) AND, (IB,EG,IE)) GO TO 100	REAO1850
16	C	GO TO 800	REAO1900
17	C	100 NELM=NELM+1	REAO1950
18	C	IELEM(NELM)=IME	REAO2000
19	C	PLOAD(NELM,I)=P	REAO2050
20	C	GO TO 40	REAO2100
21	C	800 CONTINUE	REAO2150
22	C	IF((ICK,EG,0)) GO TO 999	REAO2200
23	C	WRITE(IIO,809) NELM	REAO2250
24	C	809 FORMAT(IH, 3HNELM'',I4 )	REAO2300
25	C	DO 850 I=1,NELM	REAO2350
26	C	WRITE(IIO,829) I,(IELEM(I,J),PLOAD(I,J),J=1,NLDCN)	REAO2400
27	C	829 FORMAT(IH , 14.5X,I5,5X,F12.5 )	REAO2450
28	C	850 CONTINUE	REAO2500
29	C	999 RETURN	REAO2600
		END	REAO2650
			REAO2700
			REAO2750
			REAO2800
			REAO2900
			REAO2950

FACOM 230-75 MT FORTRAN-IV H COMPILER (OPT2,CP) SOURCE PROGRAM LIST -780322-(V02,L12) DATE 78.10.24/13:33 PAGE 31

ISN	ST-NO	SOURCE PROGRAM	SEQUENCE
1		SUBROUTINE RW(N1,N2,N3)	RW(00000
2		READ(N1) N3	RW(00010
3		WRITE(N2) N3	RW(00020
4		RETURN	RW(00030
5		END	RW(00040

FACOM 230-75 MT FORTRAN-IV H COMPILER (OPT2,CP) SOURCE PROGRAM LIST -780322-(V02,L12) DATE 78.10.24/13:33 PAGE 32

ISN	ST-NO	SOURCE PROGRAM	SEQUENCE
1		SUBROUTINE RW1(N1,N2,N3,N4)	RW100000
2		DIMENSION N3(N4)	RW100010
3		READ(N1) (N3(I),I=1,N4)	RW100020
4		WHITE(N2)(N3(I),I=1,N4)	RW100030
5		RETURN	RW100040
6		END	RW100050

FACOM 230-75 MT FORTRAN-IV H COMPILER (OPT2,CP) SOURCE PROGRAM LIST -780322-(V02,L12) DATE 78.10.24/13:33 PAGE 33

ISN	ST-NO	SOURCE PROGRAM	SEQUENCE
1		SUBROUTINE RW2(N1,N2,N3,N4,N5)	RW200000
2		DIMENSION N3(N4,N5)	RW200010
3		READ(N1) ((N3(I,J),I=1,NA),J=1,NA)	RW200020
4		WHITE(N2) ((N3(I,J),I=1,NA),J=1,NA)	RW200030
5		RETURN	RW200040
6		END	RW200050

FACOM 230-75 MT FORTRAN-IV H COMPILER (OPT2,CP) SOURCE PROGRAM LIST -780322-(V02,L12) DATE 78.10.24/13:33 PAGE 34

ISN	ST-NO	SOURCE PROGRAM	SEQUENCE
1		SUBROUTINE SEARCH(IN,IP,IDX,NDX,ND0)	SEA00000
2		DIMENSION IDA(1)	SEA00010
3		IF(NDX,LT,1) GO TO 9000	SEA00020
4		DO 5000 I=1,IDX	SEA00030
5		5000 IF(I,GT,NDX) GO TO 6000	SEA00040
6		5000 CONTINUE	SEA00050
7		6000 IN=ND0+I-1	SEA00060
8		9000 RETURN	SEA00070
9		END	SEA00080

FACOM 230-75 M7 FORTHAY-IV H COMPILER (OPT2+CP) SOURCE PROGRAM : 1ST -780322-(V02,L12) DATE 78.10.24/13:33 PAGE 35

```

1SN ST-NO      SOURCE PROGRAM          SEQUENCE
1      SUBROUTINE SOLSTR(ICK,L,SGMA1,SGMA2,SGMA3,SUMA,STRESS,17,MAXDEG) SOL00000
C      SOLID STRESS
C
C
C
C
C
C
2      REAL IP(3)
3      DIMENSION A(4),RP(3),STRESS(MAXDEG,1)
C
4      A(1)= 1.0
5      A(2)= (STRESS(1,L) + STRESS(2,L) + STRESS(3,L))
6      A(3)= STRESS(2,L)*STRESS(3,L) + STRESS(3,L)*STRESS(1,L)
1      STRESS(1,L)*STRESS(2,L) - STRESS(4,L)**2 - STRESS(5,L)**2 -
2      STRESS(6,L)**2
7      A(4)= STRESS(1,L)*STRESS(2,L)*STRESS(3,L) + STRESS(1,L)*
3      STRESS(5,L)**2 + STRESS(2,L)*STRESS(6,L)**2 + STRESS(3,L)*
4      STRESS(4,L)**2 - 2.0*STRESS(4,L)*STRESS(5,L)*STRESS(6,L)
C
C
8      A(2) =A(2)
C      *** CARDN METHOD *** SGMA1,SGMA2,SGMA3 = RP(3)
C
9      CALL CARDNS( A, RP, IP, ILL)
C
10     IF(ILL,NE,0) GO TO 1000
11    IF(ICK,NE,0) GO TO 1510
12    WRITE(CTL,909) (PC(j),IP(j),J=1,3)
13    909 FORMAT(1.6H ** R0 + IP,I **,3Y,E15.5)
C
14    GO TO 1500
C
15    1000 WRITE(CTL,1009) ILL
16    1009 FORMAT(1.6H **** CARDN METHD *** ILL CONDITION ****,3X,T5) SOL00230
C
17    1500 WRITE(CTL,1509) (A(JK),JK=1,41)
18    1509 FORMAT(1.0H *** A ***, 4F15.5)
C
C
C
C
C
C
19    1510 SGMA = SQRT(0.5)*( (RP(1)-RP(2))**2 + (RP(2)-RP(3))**2 + (RP(3)-
5      RP(1))**2 )**0.5
20    SGMA1 = RP(1)
21    SGMA2 = RP(2)
22    SGMA3 = RP(3)
23    IF(ICK,NE,0) GO TO 3000
24    WRITE(CTL,1519) RP(1),RP(2),RP(3),SGMA
25    1519 FORMAT(1.8H RP(1,2,3) SGMA **,3X,4E15.5)
C
C
26    3000 RETURN
27    END
SOL00240
SOL00250
SOL00260
SOL00270
SOL00280
SOL00290
SOL00300
SOL00310
SOL00320
SOL00330
SOL00340
SOL00350
SOL00360
SOL00370
SOL00380
SOL00390
SOL00400
SOL00410
SOL00420
SOL00430
SOL00440
SOL00450
SOL00460
SOL00470
SOL00480
SOL00490
SOL00500
SOL00510
SOL00520

```

FACOM 230-75 M7 FORTRAN-IV H COMPILER (OPT2+CP) SOURCE PROGRAM : 1ST -780322-(V02,L12) DATE 78.10.24/13:33 PAGE 36

```

1SN ST-NO      SOURCE PROGRAM          SEQUENCE
C      MARS-MES SUPERPOSE PROGRAM
C
C
1      DIMENSION KK(72),BLOCK(18,5),NFINU(200),KL(72)
1      ,NLDS(20),LD5(20,20),RLDS(20,20)
1      ,LAREA(16000),RAREA(16000)
2      ,PNAME(10),LDNM(20)
3      ,IOU(400)
4      ,ISEC(2000),SEC(5,2000)
3      DATA PNAME/ 4HJANA4H MAR,4HS-ME,4HS SU,4HPERP,4HSE
1      ,4H(V=1:4H 8/2,4H3/19,4H74) /
C
C
4      IT1=5
5      ITD=6
6      ICF = 9
7      MXL = 20
8      MXL1= 20
9      MXU =200
10     ND=400
11     IT1=10
12     IFO=11
13     IFW=11
14     JFW=12
15     JF13=13
16     JFL4=44
17     CALL HEAD(IT0)
18     REWIND ICF
19     CALL CTDLP ( IT1,ITD,ICF,50)
20     REWIND ICF
21     IT1=ICF
C
C
22     READ( IT1,9009) ((K1(i),i=1,72)
23     REWIND IF13
24     READ(IF13) (KK(i),i=1,13)
25     REWIND IF13
C
26     IF(K1(14),EQ,0) GO TO 100
27     IF1=IF13
28     GO TO 200
C
29     100 CALL MERGE(IF1,IF13,ITD,IFW+1-1,IAREA,RAREA,NFINU,KX13)
30     200 REWIND IF1
31     REWIND IFO
C
32     CALL FLCOPY(KK,ITU,IF1,IFO,NCOUNT,BLOCK,NUNIT,NFINU,NLOC%,K1
1      ,IAREA,RAREA,RAREA,ISEC,SEC)
33     CALL RDCEDEF(IT1,ITD,LDCEM,NLD,NLD5+TLD5,RLD5+TFLG,NDU,IOU,LDM
1      ,MXL+XL1+MXU)
C
34     1000 IF(IERFLG,NE,0) GO TO 8000
35     IF(K1(10),NE,0) WRITE(1FO) NLD, VLDNA((IT1+1)+NLD)
C
36     CALL CALSUP(PNAME,4HLOCK+NCOUNT,ITK+1,ITU,IT+1,NLD+1,LD5+RLD5)
SOL00000
SOL00050
SOL00100
SOL00150
SOL00200
SOL00250
SOL00300
SOL00350
SOL00400
SOL00450
SOL00500
SOL00550
SOL00600
SOL00650
SOL00700
SOL00750
SOL00800
SOL00850
76/05/10
SOL00900
SOL00950
SOL01000
SOL01050
SOL01100
SOL01150
SOL01200
SOL01250
SOL01300
SOL01350
SOL01400
SOL01450
SOL01500
SOL01550
SOL01600
SOL01650
SOL01700
SOL01750
SOL01800
SOL01850
SOL01900
SOL01950
SOL02000
SOL02050
SOL02100
SOL02150
SOL02200
SOL02250
SOL02300
SOL02350
SOL02400
SOL02450
SOL02500
SOL02550

```

FACOM 230-75 MT FORTRAN-IV H COMPILER (OPT2,CP) SOURCE PROGRAM LIST -780322-(V02,L12) DATE 78.10.24/13:33 PAGE 37

ISN	ST-N0	SOURCE PROGRAM	SEQUENCE
		SOURCE PROGRAM ( FMAIN )	
	1	*IAREA=RAREA,RAREA(8001),ND,MXL,NLDCN,NLD,(IFI),IFO,I TO	M4102600
	2	*IERRG,(ISEC,SEC,LCM,KK13+NOU,IOU,FL44,ITI)	M4102500
37		(IF(IERFLG,EN,1) GO TO 8000	M4102700
38		REWIND (IFI)	M4102800
39		REWIND (IFO)	M4102850
	C		M4102900
40		8000 STOP	M4102950
	C		M4103000
41		9009 FORMAT(T211)	M4103050
	C		M4103100
42		END	

FACOM 230-75 MT FORTRAN-IV H COMPILER (OPT2,CP) SOURCE PROGRAM LIST -780322-(V02,L12) DATE 78.10.24/13:33 PAGE 38

ISN	ST-N0	SOURCE PROGRAM	SEQUENCE
	1	SUBROUTINE UNITOT ( IU,NOU,IOU,IOUT,NCUN,IFI,KK13,NE,IER )	UOT 1000
	C	C	UOT 1050
	2	DIMENSION IOU(1)	UOT 1100
	C	C	UOT 1150
	3	IOUT=0	UOT 1200
	C	IF(NOU) 810,700,100	UOT 1250
	4		UOT 1300
	C	100 JU=IOU(NCUN)	UOT 1350
	5	IF(JU-IU) 820,600,200	UOT 1400
	C		UOT 1450
	7	200 IOUT=9	UOT 1500
	C		UOT 1550
	8	DO 300 IER=1,NE	UOT 1600
	C	READ(IF1)	UOT 1650
	9	300 CONTINUE	UOT 1700
	C	READ(IF1)	UOT 1750
10		HEAD(IF1)	UOT 1800
	C	HEAD(IF1)	UOT 1850
	11	READ(IF1)	UOT 1900
	C	READ(IF1)	UOT 1950
	12	IF(KK13) 830+700+400	UOT 2000
	C	400 READ(IF1) NF	UOT 2050
	13	IF(NF) 840+700+500	UOT 2100
	C	500 HEAD(IF1)	UOT 2150
	14	READ(IF1)	UOT 2200
	C	READ(IF1)	UOT 2250
	15	GO TO 700	UOT 2300
	C		UOT 2350
	20	600 NCUN=NCUN+1	UOT 2400
	C		UOT 2450
	21	700 RETURN	UOT 2500
	C		UOT 2550
	22	810 IER=1	UOT 2600
	C	GO TO 700	UOT 2650
	23	820 IER=2	UOT 2700
	C	GO TO 700	UOT 2750
	24	830 IER=3	UOT 2800
	C	GO TO 700	UOT 2850
	25	840 IER=4	UOT 2900
	C	GO TO 700	UOT 2950
	29	END	

FACOM 230-75 M7 FORTRAN-IV H COMPILER (OPT2,CP) SOURCE PROGRAM LIST -780322-(V02,L12) DATE 78.10.24/13:33 PAGE 39

ISN	ST-NO	SOURCE PROGRAM	SEQUENCE
1		SUBROUTINE *MERGE(IF1,(IF13,ITD),IF1,IFW2,IAREA,RAHE4,NE),U,KK13)	*ME00000
C		CHAGE      #3 HAGE    LARGE MODE AT HAFV FRONT	*ME00010
C			*ME00020
2		DIMENSION IAE4(1),PAREA(1),NE(MU(1),IAREA(20),MUTR(250), 1           ,RODATA(100),STRESS(12,20),DEF(250,10),LDNAME(20))	*ME00030
C			*ME00040
C			*ME00050
C			*ME00060
C			*ME00070
C			*ME00080
C			*ME00090
3		REWIND IF13	*ME00100
4		REWIND IF1	*ME00110
C	(1)	DEFISION TABLE	*ME00120
5		CALL RW1(IF13,IF1,IAREA,72)	*ME00130
6		KK13=IAREA(13)	*ME00140
C	(2)	NUMBER OF TITLE CARDS	*ME00150
7		CALL RW1(IF13,IF1,NCOUNT)	*ME00160
C			*ME00170
8		IF(NCOUNT,EG,D) GO TO 200	*ME00180
-C			*ME00190
C	(3)	TITLE CARDS	*ME00200
9		CALL RW1(IF13,IF1,NCOUNT)	*ME00210
C			*ME00220
C	(4)	MAX(MAM NODE-NUMBER	*ME00230
10		200 CALL RW1(IF13,IF1,MUPBN)	*ME00240
C			*ME00250
C	(5)	POINTER OF NODE-COORDINATE TABLE	*ME00260
11		CALL RW1(IF13,IF1,IAREA,MUPBN)	*ME00270
C			*ME00280
C	(6)	NUMBER OF NODES	*ME00290
12		CALL RW1(IF13,IF1,NJT)	*ME00300
13		IF(NJT,GT,200) GO TO 8000	*ME00310
C			*ME00320
C	(7)	COORDINATES OD NODES	*ME00330
14		CALL RW1(IF13,IF1,NJT)	*ME00340
C			*ME00350
C	(8)	POINTER OF OBLIQUE-DATA TABLE	*ME00360
15		CALL RW1(IF13,IF1,IAREA,NJT)	*ME00370
C			*ME00380
C	(9)	SUPPORT INDEX OD NODES	*ME00390
16		CALL RW1(IF13,IF1,IAREA,NJT)	*ME00400
C			*ME00410
C	(10)	NUMBER OF OBLIQUE NODES	*ME00420
17		CALL RW1(IF13,IF1,NJOB)	*ME00430
C			*ME00440
C	(11)	OBLIQUE DATA TABLE	*ME00450
18		CALL RW1(IF13,IF1,IAREA,4,NJOB)	*ME00460
C			*ME00470
C	(12)	NUMBER OF UNITS	*ME00480
19		450 CALL RW1(IF13,IF1,UNIT)	*ME00490
C			*ME00500
C	(13)	NUMBER OF ELEMENTS IN UNIT	*ME00510
20		CALL RW1(IF13,IF1,NE(UNIT,NUIT))	*ME00520
C			*ME00530
C		IF(UNIT,GT,200) GO TO 8000	*ME00540
21			*ME00550
22		DO 600 I=1,NUIT	*ME00560

FACOM 230-75 M7 FORTRAN-IV H COMPILER (OPT2,CP) SOURCE PROGRAM LIST -780322-(V02,L12) DATE 78.10.24/13:33 PAGE 40

ISN	ST-NO	SOURCE PROGRAM	SEQUENCE
23		NE=NE(NU(1))	*ME00570
24		DO 500 J=1,NE	*ME00580
C	(14)	ELEMENT DATA = IDATA,RDATA	*ME00590
C			*ME00600
25		READ(IF13) IDATA,RDATA	*ME00610
26		WRITE(IFW1) IDATA,RDATA	*ME00620
27	500	CONTINUE	*ME00630
28	600	CONTINUE	*ME00640
C			*ME00650
C			*ME00660
29	1000	REWIND IFW2	*ME00670
30		REWIND IFW2	*ME00680
C			*ME00690
C	(15)	NUMBER OF LOADCNS	*ME00700
C			*ME00710
31		READ(IF13) MEE	*ME00720
32		WRITE(IFW1) MEE	*ME00730
33		IF(MEE,GT,20) GO TO 8000	*ME00740
34		DO 1200 I=1,NUIT	*ME00750
35		NE=NE(NU(IU))	*ME00760
36		DO 1100 I=1,NE	*ME00770
C			*ME00780
C	(16)	[DATA,MJAR,STRESS	*ME00790
C			*ME00800
37		READ(IF13) IDATA,MJAR,((STRESS(I,J),I=1,MJAR),J=1,MEE)	*ME00810
38		WRITE(IFW1) IDATA,MJAR,((STRESS(I,J),I=1,MJAR),J=1,MEE)	*ME00820
39	1100	CONTINUE	*ME00830
C			*ME00840
C	(17)	TOTAL DEF. IN UNIT	*ME00850
C			*ME00860
40		READ(IF13) NCC	*ME00870
C			*ME00880
C	(18)	DEF. TABLE	*ME00890
41		READ(IF13) (MJTR(I),I=1,MCC)	*ME00900
C			*ME00910
C	(19)	JOINT DEFLECTIONS AND ROTATIONS	*ME00920
C			*ME00930
42		READ(IF13) ((DEF(I,J),I=1,NCC),J=1,MEE)	*ME00940
C			*ME00950
43		WRITE(IFW1) NCC	*ME00960
44		WRITE(IFW1) (MJTR(I),I=1,NCC)	*ME00970
45		WRITE(IFW1) ((DEF(I,J),I=1,NCC),J=1,MEE)	*ME00980
C			*ME00990
46		IF(KK13,EG,D) GO TO 1200	*ME01000
47		READ(IF13) NF	*ME01010
48		WRITE(IFW1) NF	*ME01020
49		IF(NF,LE,0) GO TO 1200	*ME01030
50		READ(IF13) (MJTR(I),I=1,NF)	*ME01040
51		READ(IF13)((DEF(I,J),I=1,NF),J=1,MEE)	*ME01050
52		WRITE(IFW1) (MJTR(I),I=1,NF)	*ME01060
53		WRITE(IFW1)((DEF(I,J),I=1,NF),J=1,MEE)	*ME01070
54	1200	CONTINUE	*ME01080
C			*ME01090
C		REWIND IFW1	*ME01100
C			*ME01110
55			*ME01120
C			*ME01130

FACOM 230-75 MT FORTRAN-IV H COMPILER (OPT2,CP) SOURCE PROGRAM LIST -780322-(V02,L12) DATE 78.10.24/13:33 PAGE 41

ISN	ST-NO	SOURCE PROGRAM ( *MERGE )	SEQUENCE
C			wME01140
C			wME01150
C (15)	NUMBER OF LOADCNS	(2)	wME01160
C			wME01170
56	1500 READ(IFW1,END=2500) MEEP		wME01180
57	READ(IFW1)		wME01190
58	WRITE(IFW2) MEEP		wME01200
59	IS=MEE+1		wME01210
60	DO 2000 IU=1,NUNIT		wME01220
61	NE=NNUC(IU)		wME01230
62	DO 1800 IE=1,NE		wME01240
C			wME01250
C (16)	IDATA,MJAR,STRESS	(2)	wME01260
C			wME01270
63	READ(IFW1) IDATA,MJAR,((STRESS(I,J),I=1,MJAR),J=1,MEEP)		wME01280
64	READ(IFW1) IDATA,MJAR,((STRESS(I,J),I=1,MJAR),J=1,MEEP)		wME01290
65	WRITE(IFW2) IDATA,MJAR,((STRESS(I,J),I=1,MJAR),J=1,MEEP)		wME01300
66	1800 CONTINUE		wME01310
C			wME01320
C (17)	TOTAL DEF. IN UNIT	(2)	wME01330
C			wME01340
67	READ(IFW1) NCC		wME01350
C (18)	DEF. TABLE	(2)	wME01360
C			wME01370
68	READ(IFW1) (MJTR(I),I=1,NCC)		wME01380
C			wME01390
C (19)	JOINT DEFLECTIONS AND ROTATIONS	(2)	wME01400
69	READ(IFW1) ((DEF(I,J),I=1,NCC),J=1,MEEP)		wME01410
C			wME01420
70	READ(IFW1)		wME01430
71	READ(IFW1)		wME01440
72	READ(IFW1) ((DEF(I,J),I=1,NCC),J=1,MEEP)		wME01450
73	WRITE(IFW2) NCC		wME01460
74	WRITE(IFW2) (MJTR(I),I=1,NCC)		wME01470
75	WRITE(IFW2) ((DEF(I,J),I=1,NCC),J=1,MEEP)		wME01480
76	IF(KK13,E0,0) GO TO 2000		wME01490
77	READ(IFW1) NF		wME01500
78	READ(IFW1)		wME01510
79	WRITE(IFW2) NF		wME01520
80	IF(NF,LE,0) GO TO 2000		wME01530
81	READ(IFW1) (MJTR(I),I=1,NF)		wME01540
82	READ(IFW1) ((DEF(I,J),I=1,NF),J=1,MEEP)		wME01550
83	READ(IFW1)		wME01560
84	READ(IFW1) ((DEF(I,J),I=1,NF),J=1,MEEP)		wME01570
85	WRITE(IFW2) (MJTR(I),I=1,NF)		wME01580
86	WRITE(IFW2) ((DEF(I,J),I=1,NF),J=1,MEEP)		wME01590
87	2000 CONTINUE		wME01600
88	IF(KK13,E0,0) GO TO 1		wME01610
89	IF#1=IF#2		wME01620
90	IF#2=IWORK		wME01630
91	MEE=MEEP		wME01640
92	REWIND IF#1		wME01650
93	REWIND IF#2		wME01660
94	GO TO 1500		wME01670
C			wME01680
C			wME01690
C			wME01700

FACOM 230-75 MT FORTRAN-IV H COMPILER (OPT2,CP) SOURCE PROGRAM LIST -780322-(V02,L12) DATE 78.10.24/13:33 PAGE 42

ISN	ST-NO	SOURCE PROGRAM ( *MERGE )	SEQUENCE
C			wME01710
C (15)	NUMBER OF LOADCNS	(3)	wME01720
C			wME01730
95	2500 READ(IFW1) MEE		wME01740
96	DO 2501 IL001=1,MEE		wME01750
97	LDNAME(IL001)=IL001		wME01760
98	2501 CONTINUE		wME01770
99	WRITE(IF1) MEE,(LDNAME(I),I=1,MEE)		wME01780
100	DO 3000 IU=1,NUNIT		wME01790
101	NE=NNUC(IU)		wME01800
102	DO 2800 IE=1,NE		wME01810
C			wME01820
C (16)	IDATA,MJAR,STRESS	(3)	wME01830
C			wME01840
103	READ(IFW1) IDATA,MJAR,((STRESS(I,J),I=1,MJAR),J=1,MEEP)		wME01850
104	WRITE(IF1) IDATA,MJAR,((STRESS(I,J),I=1,MJAR),J=1,MEEP)		wME01860
105	2800 CONTINUE		wME01870
C			wME01880
C (17)	TOTAL DEF. IN UNIT	(3)	wME01890
C			wME01900
106	READ(IFW1) NCC		wME01910
107	WRITE(IF1) NCC		wME01920
C			wME01930
C (18)	DEF. TABLE	(3)	wME01940
C			wME01950
108	READ(IFW1) (MJTR(I),I=1,NCC)		wME01960
109	WRITE(IF1) (MJTR(I),I=1,NCC)		wME01970
C			wME01980
C (19)	JOINT DEFLECTIONS AND ROTATIONS	(3)	wME01990
C			wME02000
110	READ(IFW1) ((DEF(I,J),I=1,NCC),J=1,MEEP)		wME02010
111	WRITE(IF1) ((DEF(I,J),I=1,NCC),J=1,MEEP)		wME02020
C			wME02030
112	IF(KK13,E0,0) GO TO 3000		wME02040
113	READ(IFW1) NF		wME02050
114	WRITE(IF1) NF		wME02060
115	IF(NF,LE,0) GO TO 3000		wME02070
116	READ(IFW1) (MJTR(I),I=1,NF)		wME02080
117	WRITE(IF1) (MJTR(I),I=1,NF)		wME02090
118	READ(IFW1) ((DEF(I,J),I=1,NF),J=1,MEEP)		wME02100
119	WRITE(IF1) ((DEF(I,J),I=1,NF),J=1,MEEP)		wME02110
120	3000 CONTINUE		wME02120
121	REWIND IF1		wME02130
C			wME02140
122	8000 RETURN		wME02150
C			wME02160
C			wME02170
C			wME02180
123	END		wME02190

## (2) I/G のソース・リスト

FACOM 230-75 M7 FORTRAN-H COMPILER (OPTO+CP) SOURCE PROGRAM LIST -7AU322-(VU2,L12) DATE 78.10.24/14:50 PAGE 1

ISN	ST-N0	SOURCE PROGRAM	SEQUENCE
C		* BELOW IS I/G PROGRAM *	
C			
1		DIMENSION JZN(50),XCJ(3,50),JK(50),ZCN(3,50)	IG-01000
	1	,PLCP(6,50),JK(2,50),IA(16),IA(20)	IG-01050
C			IG-01100
2		DATA INODE/4HNODE/, [ELM/4HELEM/, TUNIT/4HUNIT/	IG-01150
	1	,ILLOAD/4HLOAD/, LEND/4HEND/	IG-01200
C			IG-01250
3		IFR,,,READ FILE IF#,,,,RITE FILE	IG-01300
4	ITI = 5		IG-01350
5	ITO = 6		IG-01400
6	IPR 44		IG-01450
7	IPR ==5		IG-01500
8	REWIND IFR		IG-01550
9	MAX = 50		IG-01600
10	DO 100 I=1,MAX		IG-01650
11	ZZN(I)=0		IG-01700
12	JK(I)=0		IG-01750
13	DO 70 JK(J,I)=0		IG-01800
14	70 JK(J,I)=0		IG-01850
15	DO 80 J=1,3		IG-01900
16	XCJ(J,I)=0.0		IG-01950
17	80 ZZN(J,I)=0		IG-02000
18	DO 90 J=1,6		IG-02050
19	90 PLCP(J,I)=0.0		IG-02100
20	100 CONTINUE		IG-02150
C			IG-02200
21	200 READ(IOT,209+END=308) NAME,JZ		IG-02250
22	209 FORMAT(A4,A4,12)		IG-02300
23	IF(NAME,NE,INCDE) GO TO 200		IG-02350
24	GO TO 400		IG-02400
25	300 WRITE(IOT,309)		IG-02450
26	309 FORMAT(1H0,22H* ERROR CARD MISSING *)		IG-02500
27	STOP		IG-02550
C			IG-02600
28	400 WRITE(IOT,409) NAME,JZ		IG-02650
29	409 FORMAT(1H0, A4+4A,12)		IG-02700
C			IG-02750
30	DO 600 I=1,JZ		IG-02800
31	READ(IOT,509) JZN(I),(XCJ(J,I),J=1,3),JK(I)		IG-02850
32	509 FORMAT( 14 ,6X,3F10.4,26A16)		IG-02900
33	WRITE(IOT,559) JZN(I),(XCJ(J,I),J=1,3),JK(I)		IG-02950
34	559 FORMAT(1H , 14 ,6X,3F10.4 ,26A16 )		IG-03000
35	600 CONTINUE		IG-03050
C			IG-03100
36	READ(IOT,609) JELZ		IG-03150
37	609 FORMAT( 14 )		IG-03200
38	WRITE(IOT,709) JELZ		IG-03250
39	709 FORMAT(1H0, 14 )		IG-03300
C			IG-03350
40	DO 800 I=1,JELZ		IG-03400
41	READ(IOT,759) (KZN(J,I)),J=1,3,(PLCP(J,I),J=1,6)		IG-03450

FACOM 230-75 M7 FORTRAN-H COMPILER (OPTO+CP) SOURCE PROGRAM LIST -7AU322-(VU2,L12) DATE 78.10.24/14:50 PAGE 2

ISN	ST-N0	SOURCE PROGRAM	SEQUENCE
C		MAIN	
1		*(JK(J,I),J=1,2)	IG-04100
2	759 FORMAT( 6X,214,12,10A4FE,1,2E5,1,216 )		IG-04150
3	WRITE(IOT,769) (KZN(J,I)),J=1,3,(PLCP(J,I),J=1,6)		IG-04200
4	1	*(JK(J,I),J=1,2)	IG-04250
5	769 FORMAT(1H ,214,12,6E12.5,5X,216 )		IG-04300
6	800 CONTINUE		IG-04350
C			IG-04400
7	1000 READ(IFR,1009) (IA(I),I=1,20)		IG-04450
8	1009 FORMAT( 2D4)		IG-04500
9	IF(IA(1),E6,IELM) GO TO 1200		IG-04550
10	WRITE(IF#,1009) (IA(I),I=1,20)		IG-04600
11	GO TO 1000		IG-04650
12	1200 BACKSPACE IFR		IG-04700
C			IG-04750
13	DO 1300 I=1,JZ		IG-04800
14	WHITE(IF#,1229) JZN(I),(XCJ(J,I),J=1,3),JK(I)		IG-04850
15	1229 FORMAT( *NONE*,2A+14+27L,3F9.4 ,2X,16 )		IG-04900
16	1300 CONTINUE		IG-04950
C			IG-05000
17	K=0		IG-05050
18	809 READ(IF#,8099) KA,KB,JA,(WC(J),J=1,16),KC,KD		IG-05100
19	809 FORMAT( A4,A2+14,16A4,A4,A2)		IG-05150
20	WHITE(IF#,8099) KA,KB,JA,(WC(J),J=1,16),KC,KD		IG-05200
21	IF(KA,E6,1001),AND,JA,E6,KZN(3,KD)) GO TO 8100		IG-05250
22	IF(KA,E6,ILLOAD) GO TO 8800		IG-05300
23	GO TO 8090		IG-05350
24	8100 DO 8600 I=8,JEZ		IG-05400
25	IF(KZN(3,I),E6,JA) GO TO 8200		IG-05450
26	GO TO 8700		IG-05500
C			IG-05550
27	8200 WRITE(IF#,8209) (KZN(J,I),J=1,2), (PLCP(J,I),J=1,6)		IG-05600
28	8209 FORMAT(1MEMBER*,2(4+12A,6E-1,3F6.1,2F5.1)+216 )		IG-05650
29	8600 CONTINUE		IG-05700
30	GO TO 8800		IG-05750
C			IG-05800
31	8700 K=1		IG-05850
32	GO TO 8090		IG-05900
C			IG-05950
33	8800 READ(IFR,1009) (IA(J),J=1,20)		IG-06000
34	WHITE(IF#,1009) (IA(J),J=1,20)		IG-06050
35	IF(IA(1),E6,IELM) GO TO 9000		IG-06100
C			IG-06150
36	GO TO 8800		IG-06200
37	9000 REWIND IFR		IG-06250
38	CALL CARD2(IF#,ITO,1PAGE)		IG-06300
39	STOP		IG-06350
40	END		IG-06400

FACOM 230-75 MT FORTRAN-IV H COMPILEK (OPTG+CP) SOURCE PROGRAM LIST -7E0322-(V02,L12) DATE 78.10.24/14:50 PAGE 3

ISN	ST-NO	SOURCE PROGRAM	SEQUENCE
1		SUBROUTINE CARDZ(ITU,I PAGE)	CAD01100
2	C	DIMENSION ICARD(20)	CAI01050
3	C	DATA KEND/4HEND /	CAD01150
4	C	ISEW=0	CAD01200
5	C	I PAGE=0	CAD01250
6	1000	I PAGE=I PAGE+1	CAD01300
7		WRITE(ITU,609) I PAGE	CAD01350
8		609 FORMAT(1H// 40X,30H N P U T DATA L I S T+51X,6H PAGE *,1H)	CAD01400
9		619 FORMAT(1H/13X+4HCARD,12X,8(1X,9X)/ 14X,3HNO,,3X,8(10H,...+...,0)/)	CAD01450
10	C	619 FORMAT(1H/13X+4HCARD,12X,8(1X,9X)/ 14X,3HNO,,3X,8(10H,...+...,0)/)	CAD01500
11		DO 2000 I=1,50	CAD01550
12		READ(ITU,509,END=500) ICARD	CAD01600
13	509	FORMAT(20A8)	CAD01650
14		ISEW=1	CAD01700
15		WHITE(ITU+629) ISEW=ICARD	CAD01750
16		629 FORMAT(13X+14,3X,20A4)	CAI01800
17		IF((ICARD(1).EW,KEND) GO TO 5000	CAD01850
18		2000 CONTINUE	CAD01900
19		WHITE(ITU+639) (I,I=1,8)	CAD01950
20		639 FORMAT(129X,8(1X,9X)/ 20X,8(10H,...+...,0)/)	CAD02000
21		GO TO 1000	CAD02050
22	C	5000 WRITE(ITU+639) (I+I=1,8)	CAD02100
23		RETURN	CAD02150
24		END	CAD02200
			CAD02250
			CAD02300
			CAD02350
			CAD02400
			CAD02450
			CAD02500
			CAD02550
			CAD02600
			CAD02650
			CAD02700
			CAD02750